

HISTORIA NATURAL

Tercera Serie | Volumen 9 (2) | 2019/107-181

MAMÍFEROS ARGENTINOS: DESCRIPCIÓN DE NUEVAS ESPECIES DE LAS COLECCIONES DE ELIO MASSOIA Y JULIO R. CONTRERAS (RODENTIA, CHIROPTERA, CARNIVORA)

Argentine mammals: Description of new species from the Collections of Elio Massoia and Julio Contreras (Rodentia, Chiroptera, Carnivora)

Federico L. Agnolin^{1,2}, María R. Derguy³, Ianina N. Godoy¹,
y Nicolás R. Chimento¹

¹Laboratorio de Anatomía Comparada y Evolución de los Vertebrados, Museo Argentino de Ciencias Naturales "Bernardino Rivadavia", Av. Ángel Gallardo 470 (C1405DJR), Buenos Aires, Argentina. fedeagnolin@yahoo.com.ar; nicochimento@hotmail.com

²Fundación de Historia Natural "Félix de Azara", Departamento de Ciencias Naturales y Antropología, Universidad Maimónides, Hidalgo 775, 1405BDB, Buenos Aires, Argentina.

³Laboratorio de Investigación de Sistemas Ecológicos y Ambientales, Universidad Nacional de La Plata, Diagonal 113 N° 469, B1900, La Plata, Buenos Aires, Argentina.

AZARA
FUNDACIÓN DE HISTORIA NATURAL

umai Universidad
Maimónides

Resumen. La presente contribución es el resultado de la revisión pormenorizada de las colecciones mastozoológicas formadas por los mastozoólogos Elio Massoia y Julio R. Contreras. La revisión de miles de pieles de mamíferos, la mayor parte de ellas provenientes de localidades dentro del territorio argentino resultaron en el hallazgo de varias especies de mamíferos que son consideradas aquí como nuevas para la ciencia. Adicionalmente, proponemos varios arreglos taxonómicos a nivel supraespecífico. Estos últimos incluyen: Tribu Holochilini nov., Subtribu Akodontina nov., *Albakodon* gen. nov. (para la especie *Akodon albiventer*), *Miniakodon* gen. nov. (para el grupo de especies “*Akodon azarae*”), y *Macroakodon* gen. nov. (para el grupo de especies “*Akodon varius*”). *Hypsomys* es considerado un género válido incluyendo a *H. budini* y *H. siberiae*, y el género *Akodon* se restringe a las especies previamente incluidas dentro del grupo “*Akodon boliviensis*”. Las nuevas especies de Oryzomyini *Euryoryzomys australis* sp. nov. (de las selvas de Misiones), *Oligoryzomys noa* sp. nov. (de Salta y Tucumán), *Oligoryzomys lanosus* sp. nov. (de Tucumán), son descriptas, y *Oligoryzomys antoniae* Massoia, 1983 nov. comb. es elevado al rango de especie plena. Nuevas especies de akodontinos son descriptas: *Miniakodon rumbolli* sp. nov. (del sur de la provincia de Buenos Aires), *Miniakodon chebezi* sp. nov. (de la provincia de La Pampa), *Miniakodon azarae pautassoi* ssp. nov. (de la provincia de Santa Fe), *Macroakodon naranja* sp. nov. (de la provincia de Córdoba), *Macroakodon calel* sp. nov. (de la provincia de La Pampa), *Macroakodon calilegua* sp. nov. (de las Yungas de la provincia de Jujuy), *Oxymycterus contrerasi* nov. sp. (de la costa marítima de la provincia de Buenos Aires), y *Oxymycterus massoiai* nov. sp. (de los Campos de Misiones). Nosotros reportamos nuevos especímenes y consideramos válidas las especies *Brucepattersonius paradisis*, *B. misionensis*, *B. guarani*, y excluimos *B. iheringi* de la fauna misionera. *Oxymycterus akodontius* Thomas, 1921, y *O. platensis* Thomas, 1914 son consideradas especies válidas. *Necomys elioi* Contreras, 1982 comb. nov. y *Akodon bibianae* Massoia, 1971 son elevadas al estatus de especies plenas. Los nuevos filotinos *Calomys apostoli* nov. sp. (del sur de la provincia de Buenos Aires), y *Calomys yunganus* nov. sp. (de las Yungas de Tucumán y Jujuy) son también descriptos. El nuevo quiróptero Vespertilionidae *Myotis yoli* nov. (de los bosques de Neuquén y Río Negro), y el nuevo zorrino *Conepatus carloschebezi* nov. (de Formosa y Santiago del Estero, del Chaco Oriental) son descriptos. Las siguientes especies del género *Conepatus* son consideradas válidas: *C. chinga* (Molina, 1782), *C. rex* Thomas 1898, *Conepatus feuillei* Eyndoux y Souleyet 1841, y *C. humboldtii* (Gray, 1837). En suma, se describen 15 especies nuevas, previamente desconocidas para la ciencia. La presente contribución indica que las faunas mastozoológicas de la región aún distan de estar bien conocidas, y que un gran número de especies aún esperan ser descriptas y conocidas a lo largo de Argentina.

Palabras clave. Oryzomyini, Akodontini, Phyllotini, Holochilini, *Myotis*, *Conepatus*, Argentina.

Abstract. Present contribution is the result of the detailed review of the Mastozoological Collections pertaining to the late mastozoologists Elio Massoia and Julio R. Contreras. The overview of thousands of mammalian skins, most of them coming from several Argentine localities, resulted in the finding of several mammal species that are here considered as new to science. Further, we also recognize several new generic and higher-level taxa of rodents, and we revalidate and synonymize several taxa, mostly based on the first-hand examination of type materials. The new supraspecific taxa: Tribe Holochilini nov., Subtribe Akodontina nov., *Albakodon* nov. gen. (for the species *Akodon albiventer*), *Miniakodon* nov. gen. (for the “*Akodon azarae*” species group), *Macroakodon* nov. gen. (for the “*Akodon varius*” species group), are coined. *Hypsimys* is considered a valid akodontine genus including the species *H. budini* and *H. siberiae*, and the genus *Akodon* is restricted to the species previously included within the “*Akodon boliviensis*” size-class. The new oryzomyine species *Euryoryzomys australis* nov. sp. (from Misiones forests), *Oligoryzomys noa* nov. sp. (from Salta and Tucumán), *Oligoryzomys lanosus* nov. sp. (from Tucumán), are described, and *Oligoryzomys antoniae* Massoia, 1983 nov. comb. is elevated to full species status. New akodontine species are described: *Miniakodon rumbolli* nov. sp. (from southern Buenos Aires province), *Miniakodon chebezi* nov. sp. (from La Pampa province), *Miniakodon azarae pautassoi* nov. ssp. (from Santa Fe province), *Macroakodon naranja* nov. sp. (from Córdoba province), *Macroakodon cael* nov. sp. (from La Pampa province), *Macroakodon calilegua* nov. (from Yungas of Jujuy province), *Oxymycterus contrerasi* nov. sp. (from Buenos Aires coast), and *Oxymycterus massoiai* nov. sp. (from the Campos of Misiones). We report new specimens and consider valid the species *Brucepattersonius paradisus*, *B. misionensis*, *B. guarani*, and also exclude *B. iheringi* from the Misiones faunas. *Oxymycterus akodontius* Thomas, 1921, and *O. platensis* Thomas, 1914 are revalidated. *Necromys elioi* Contreras, 1982 nov. comb., *Akodon bibianae* Massoia, 1971 are elevated to full-status species. The new phyllotines *Calomys apostoli* nov. sp. (from southern Buenos Aires), and *Calomys yunganus* nov. sp. (from Yungas of Tucumán and Jujuy) are also described. The new vesperilionid chiropteran *Myotis yoli* nov. (from woodlands of Neuquén and Río Negro), and the skunk *Conepatus carloschebezi* nov. (from Formosa and Santiago del Estero western Chaco) are described. The skunk species *C. chinga* (Molina, 1782), *C. rex* Thomas 1898, *Conepatus feuillei* Eydoux y Souleyet 1841, and *C. humboldtii* (Gray, 1837) are considered as full status species. In sum, we describe 15 new mammalian species, previously unknown to science. Present contribution indicates that mammal faunas from Argentina are far from being well-known, and that several new species are still waiting to being discovered along the entire country.

Key words. Oryzomyini, Akodontini, Phyllotini, Holochilini, *Myotis*, *Conepatus*, Argentina.

INTRODUCCIÓN

El estudio sistemático de los mamíferos en Argentina posiblemente se deba a la contribución pionera del naturalista H. Burmeister, quien en 1879 esbozó el primer catálogo mastofaunístico argentino. Desde entonces, las contribuciones de numerosos naturalistas y mastozoólogos incluyendo E. Holmberg, O. Thomas, G. Allen, F. Lahille y otros han resultado en un cúmulo de información importante en lo que a la mastofauna argentina se refiere. Sin embargo, es en 1958-1961, mediante el Catálogo de los Mamíferos de América del Sur de Ángel Cabrera, que la mastozoología argentina cobra verdadero impulso. Esto da paso a una segunda generación de mastozoólogos, encabezados por O. Reig, E. Massoia y J. Contreras, que ejercieron una gran actividad entre las décadas de 1960 y 1980. Desde entonces, el interés por la mastozoología se ha incrementado exponencialmente en nuestro país, resultando en sendos catálogos mastofaunísticos (Galliari *et al.*, 1996; Bárquez *et al.*, 2006; Teta *et al.*, 2018).

En la Colección de Mastozoología de la Fundación de Historia Natural “Félix de Azara” se encuentran alojadas las cuantiosas colectas realizadas durante varias décadas por los pioneros de la mastozoología Elio Massoia y Julio R. Contreras Roqué, y que superan los 13.500 ejemplares (Giacchino y Bogan, 2012). Gran parte de estos consisten en mamíferos pequeños, especialmente roedores y murciélagos, muchos de los cuales fueron originalmente publicados en más de 100 artículos científicos, por Elio Massoia y por Julio R. Contreras.

Durante la revisión de dichas colecciones, realizada entre los años 2009 y 2018 por los presentes autores, se registraron numerosos materiales tipo que serán la base de un trabajo actualmente en preparación (Agnolin *et al.*, en prep.). En adición al hallazgo de dichos materiales, la

revisión resultó en una gran cantidad de novedades taxonómicas, incluyendo géneros, especies y subespecies previamente no reconocidas, y distribuidas a lo largo de Argentina (Figura 1) cuya descripción constituye el objetivo de la presente contribución.

MATERIALES Y MÉTODOS

En lo que respecta a la taxonomía y sistemática, se sigue la propuesta de Teta *et al.* (2018). En Rodentia se sigue la nomenclatura dentaria establecida por Reig (1977) y la nomenclatura de los distintos elementos craneanos y forámenes establecida por Voss (1988) con las modificaciones de Musser *et al.* (1998) y Abdala y Díaz (2000).

En Chiroptera se sigue la nomenclatura de Bárquez *et al.* (1999), mientras que para el género *Conepatus* se sigue aquella utilizada por Forasiepi (2003).

La nomenclatura y concepto de Ecorregiones sigue la contribución de Morello *et al.* (2012).

Las medidas craneanas de los ejemplares descriptos son brindadas en la Tabla 1.

Abreviaturas institucionales. CEM, Colección “Elio Massoia” (actualmente alojada en Fundación de Historia Natural “Félix de Azara”), Buenos Aires, Argentina; **CFA-MA**, Colección de Mastozoología, Fundación de Historia Natural “Félix de Azara”, Buenos Aires, Argentina; **IML**, Colección de Mastozoología, Fundación e Instituto “Miguel Lillo”, San Miguel de Tucumán, Argentina; **MLP**, Colección Mastozoología, Museo de La Plata, La Plata, Argentina. **MACN-Ma**, Colección Mastozoología, Museo Argentino de Ciencias Naturales, Buenos Aires, Argentina.

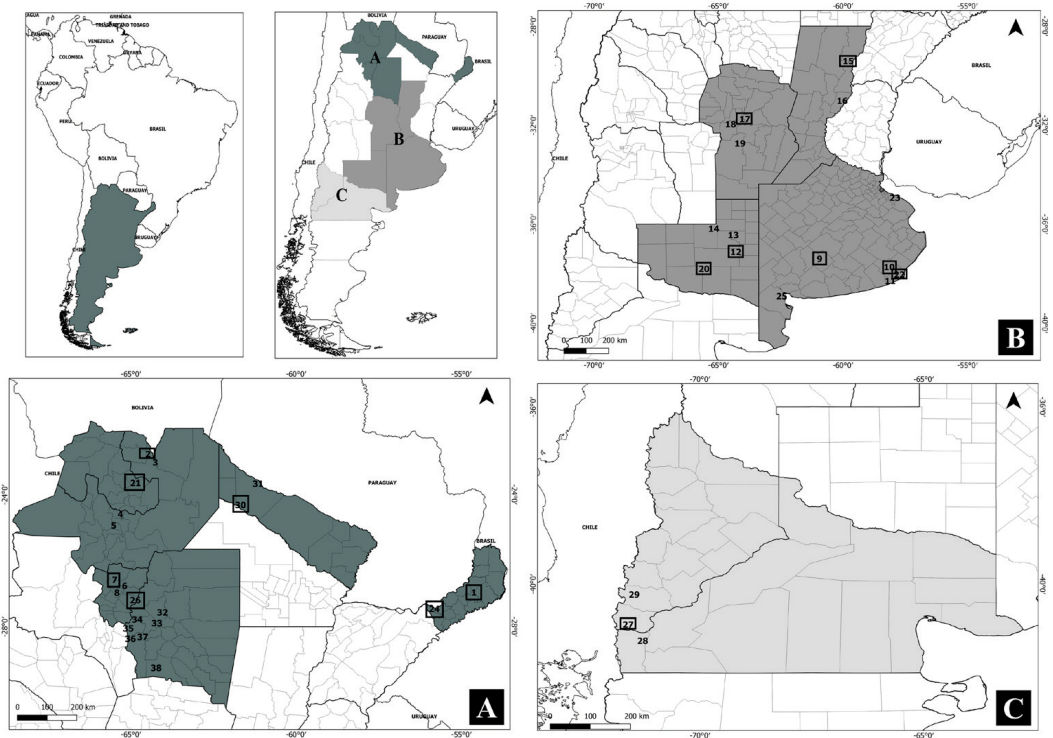


Figura 1 - Mapa indicando las localidades mencionadas en el texto (sólo localidades tipo y de los paratipos). **1**, 2 de Mayo, departamento Cainguás, Misiones, Argentina. **2**, Río Pescado (YPF), departamento Orán, Salta, Argentina. **3**, Ingenio Tabacal, departamento Orán, Salta, Argentina. **4**, Yacones, departamento La Caldera, Salta, Argentina. **5**, Campo Quijano, departamento Rosario de Lerma, Salta, Argentina. **6**, Villa Marcos Paz, departamento Yerba Buena, provincia de Tucumán, Argentina. **7**, San Javier, departamento Yerba Buena, Tucumán, Argentina. **8**, Famailá (INTA), departamento Famailá, Tucumán, Argentina. **9**, Estancia “La Juanita”, partido de Laprida, Buenos Aires, Argentina. **10**, Balcarce, partido de Balcarce, Buenos Aires, Argentina. **11**, Arroyo Las Brusquitas, Partido de General Alvarado, Buenos Aires, Argentina. **12**, Padre Buodo, departamento Utracán, La Pampa, Argentina. **13**, campus de la Universidad de La Pampa, Santa Rosa, departamento Capital, La Pampa, Argentina. **14**, Estancia “La Florida”, Luán Toro, departamento Loventué, La Pampa, Argentina. **15**, Las Palmas, departamento General Obligado, Santa Fe, Argentina. **16**, Ruinas de Santa Fe La Vieja, Cayastá, departamento Garay, Santa Fe, Argentina. **17**, Laguna Larga, departamento Río Segundo, Córdoba, Argentina. **18**, Espinillo, departamento Río Cuarto, Córdoba, Argentina. **19**, Río Grande, departamento Calamuchita, Córdoba, Argentina. **20**, Lihuel Calel, departamento Lihuel Calel, La Pampa, Argentina. **21**, Calilegua, departamento. Ledesma, Jujuy, Argentina. **22**, Arroyo Las Brusquitas, partido de General Pueyrredón, Buenos Aires, Argentina. **23**, Camino Rivadavia y Reserva Natural “Punta Lara”, partido Ensenada, Buenos Aires, Argentina. **24**, Villa Lanús (INTA), departamento Capital, Misiones, Argentina. **25**, Hilario Ascasubi, partido de Villarino, Buenos Aires, Argentina. **26**, Depto. Leales, Tucumán, Argentina. **27**, Puerto Radal, Isla Victoria, Dpto. Los Lagos, Neuquen, Argentina. **28**, Bariloche, departamento Bariloche, Río Negro, Argentina. **29**, Estancia “Fortín Chacabuco”, Lago Lácar, Departamento Lácar, Neuquén, Argentina. **30**, Paso de las Niñas, Río Teuco, Formosa, Argentina. **31**, Fortín Nuevo, Pilcomayo, departamento Bermejo, Formosa, Argentina. **32**, Clodomira, Colonia Gamara, departamento Banda, Santiago del Estero, Argentina. **33**, Cercanías Capital, departamento Capital, Santiago del Estero, Argentina. **34**, Tres Cerros, departamento Guasayán, Santiago del Estero, Argentina. **35**, Estancia Guampacha, departamento Guasayán, Santiago del Estero, Argentina. **36**, “Monte Pampa” de Villa La Punta, departamento Choya, Santiago del Estero, Argentina. **37**, El Retiro, departamento Choya, Santiago del Estero, Argentina. **38**, Santa Rosa, departamento Ojo de Agua, Santiago del Estero, Argentina. Los números en recuadro representan las localidades tipo.

Tabla 1 - Medidas craneanas de los ejemplares holotipos de los Cricetidae descritos en el texto. Abreviaturas craneanas tomadas de Teta et al. (2013): CIL, longitud condilobasal; DL, longitud del diastema; PB, ancho palatal; IFL, longitud de los forámenes incisivos; BZP, Ancho de la placa cigomática; ZB, Ancho bicigomático; BB, ancho del basicráneo; IOB, constricción interorbitaria; RW2, ancho medio rostral; NL, longitud de los nasales; BOC, ancho bicondilar.

	CIL	DL	PB	IFL	BZP	ZB	BB	IOB	RW2	NL	BOC
<i>Euryoryzomys australis</i>											
CFA-MA-2399	33,25	8,04	3,21	6,24	4,88	18,59	13,98	5,63	6	13,73	7,47
<i>Oligoryzomys noa</i>											
CFA-MA-3999	19,41	4,64	2,24	3,73	2,25	10,85	9,37	3,72	3,86	7,90	5,25
<i>Oligoryzomys lanosus</i>											
CFA-MA-5856	20,90	5,07	1,83	4,01	3,37	12,02	10,13	3,73	4,11	9,33	5,62
<i>Miniakodon rumbolli</i>											
CFA-MA-3339	23,72	6,13	2,22	6,68	2,72	12,10	10,52	4,09	4,04	9,14	6,32
<i>Miniakodon chebezi</i>											
CFA-MA-12251	22,76	5,87	1,97	5,23	2,12	11,51	10,42	4,42	4,44	8,97	5,72
<i>Miniakodon azarae pautassoi</i>											
CFA-MA-12261	22,16	4,45	2,17	4,61	2,36	10,46	10,44	4,41	4,22	8,44	5,45
<i>Macroakodon naranja</i>											
CFA-MA-2867	29,41	7,41	2,65	7,15	4,15	16,02	12,63	5,26	5,83	10,08	6,88
<i>Macroakodon calel</i>											
CFA-MA-12266	26,17	6,46	2,95	6,46	3,17	14,02	12,25	4,94	4,45	10,07	6,58
<i>Macroakodon calilegua</i>											
CFA-MA-4881	28,86	7,08	2,69	7,20	2,90	14,85	12,50	5,10	5,59	11,99	7,05
<i>Oxymycterus contrerasi</i>											
CFA-MA-13392	31,65	6,86	3,49	6,58	2,37	16,25	12,00	6,25	5,56	13,52	8,20
<i>Oxymycterus massoi</i>											
CFA-MA-3551	32,55	8,03	4,19	7,04	2,75	15,95	14,07	6,47	7,23	13,04	7,62
<i>Calomys apostoli</i>											
CFA-MA-3509	21,04	5,62	2,38	4,32	2,72	12,31	10,80	3,74	3,58	9,04	5,65
<i>Calomys yunganus</i>											
CFA-MA-52	27,00	7,10	3,15	5,53	3,35	14,76	10,13	4,41	5,13	11,35	6,56

SISTEMÁTICA

Rodentia Bowdich, 1821
 Sigmodontinae (Wagner, 1843)
 Tribu Holochilini nueva tribu
 urn:lsid:zoobank.org:act:C2B02E52-322F-4179-9619-0873FDF4FF6C

Diagnosis. Roedores sigmodontinos semiacuáticos que presentan la siguiente combinación única de caracteres: 1) tamaño nunca menor a los 15 centímetros de longitud cabeza+cuerpo, 2) cola más larga que la longitud de la cabeza+cuerpo (con la única excepción de *Holochilus sciureus*), 3) patas posteriores de gran tamaño y largas, con rebordes de pelos duros a lo largo del margen plantar, 4) patas posteriores con membrana interdigital muy desarrollada en los dedos II, III, IV, 5) cola con escasos pelos y anillos de escamas conspicuos, 6) uñas de las patas posteriores libres de mechones de pelos, 7) ancha placa zigomática con borde libre formando una espina y delimitando profundas muescas zigomáticas (ausente en *Noronhomys*), 8) hueso yugal reducido, 9) región interorbitaria estrecha y con fuertes crestas supraorbitales, 10) paladar estrecho con fuertes forámenes posterolaterales (ausente en *Noronhomys*), 11) molares complicados, lofodontes, de tipo *Sigmodon*, con coronas relativamente altas, 12) estómago de tipo unilocular-hemiglandular (Carleton, 1973) y con ausencia de vesícula biliar (Voss y Carleton, 1993) (Figura 2).

Géneros incluidos. Dentro de Holochilini incluimos los géneros *Holochilus* (como género tipo), *Lundomys*, y los extintos *Carletonomys* (Pardiñas, 2008) y *Noronhomys* (Carleton y Olson, 1999). Posiblemente en este mismo grupo se incluya el género *Pseudoryzomys*.

Definición. Todos los roedores sigmodontinos ubicados dentro del grupo que incluye a *H. brasiliensis* y *Lundomys molitor*, su

ancestro común más cercano y todos sus descendientes.

Comentarios. Hershkovitz (1955) fundamentó la cercanía filogenética de *Holochilus* con *Sigmodon*, *Neotomys* y *Reithrodon*, principalmente sobre la base principal de similitudes en la dentición y osteología, e incluyó a todos estos géneros dentro de la tribu Sigmodontini, un arreglo seguido por numerosos especialistas. Hoy en día, *Neotomys* y *Reithrodon* son considerados por la gran mayoría de los autores como solo lejanamente emparentados a los dos primeros (véase D'Elía *et al.*, 2006). Más aún, tal como fuera indicado por Voss y Carleton (1993) las similitudes anatómicas entre *Holochilus* y *Sigmodon* parecen basarse especialmente en la forma de los molares. Como estos autores resaltan, ambos comparten molares lofodontes complicados, con superficies masticatorias lisas, un diseño común a todos los mamíferos especializados en alimentarse de tejidos vegetales. De este modo es posible que las similitudes entre ambos géneros puedan deberse a fenómenos de paralelismo o convergencia (véase discusión en Carleton y Olson, 1999).

Hooper y Musser (1964) indican que la morfología peneana de *Sigmodon* y *Holochilus* es muy divergente, y que *Holochilus* se asemeja en este aspecto a los Oryzomyini. Por otro lado, Voss (1991) ha sugerido que la ausencia de una vesícula biliar sería otra característica que acerca a *Holochilus* con los Oryzomyini. Finalmente, algunos datos cromosómicos apoyan esta última hipótesis (Baker *et al.*, 1983). Sobre la base principal de la anatomía esquelética Voss y Carleton (1993) y Carleton y Olson (1993) sugieren la cercanía de *Holochilus* a los Oryzomyini.

De esta manera, consideramos apropiado establecer la tribu Holochilini para incluir a todos los roedores semiacuáticos cercanamente relacionados a *Holochilus*, cuya posi-

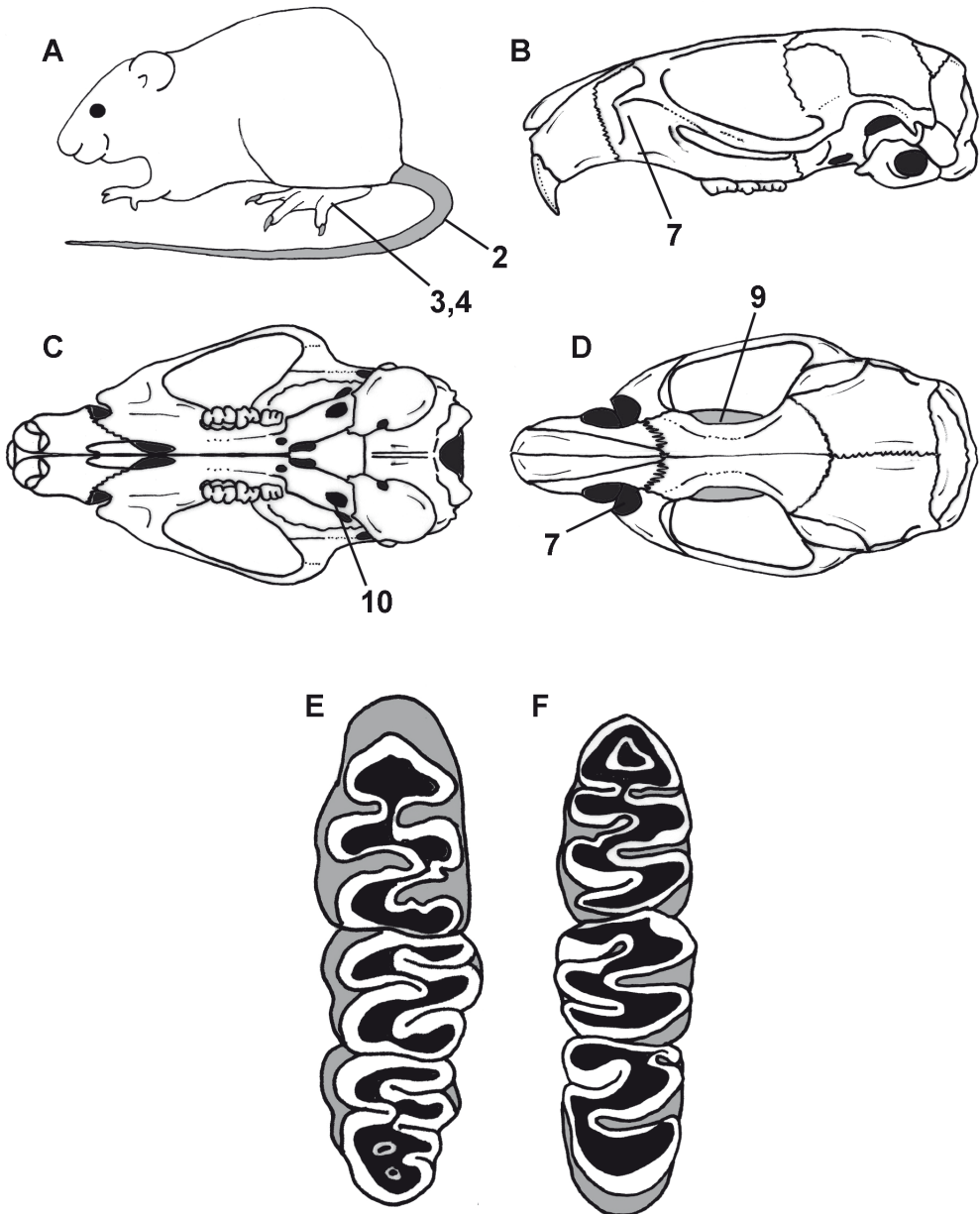


Figura 2 - Figura explicativa indicando algunas características de la Tribu Holochilini en la especie *Holochilus brasiliensis*. Los números corresponden a las características citadas en la diagnosis dada en el texto. **A**, silueta del cuerpo; **B**, cráneo en vista lateral izquierda; **C**, cráneo en vista ventral; **D**, cráneo en vista dorsal; **E**, serie izquierda superior de molares; **F**, serie izquierda inferior de los molares.

ción taxonómica dentro de Sigmodontinae no se encuentra aún resuelta.

Todos los holochilinos son roedores de hábitos semiacuáticos, se los encuentra en ambientes inundables, incluyendo sabanas, bosques, selvas en galería y pastizales (Massoia, 1976). Otra característica compartida consiste en sus hábitos nocturnos y en que construyen dormitorios a orillas de ambientes acuáticos, fijados a la vegetación circundante a una altura que puede alcanzar los tres metros (Sierra de Soriano, 1969; Massoia, 1971). Son exclusivamente herbívoros, buenos nadadores y excelentes trepadores (Massoia, 1971).

Tribu Oryzomyini Vorontzov, 1959
Euryoryzomys Weksler, Percequillo y Voss, 2006
Euryoryzomys australis nov. sp.
 urn:lsid:zoobank.org:act:8939919C-D1D3-4101-B7AD-BC65E6D7B451

Holotipo. CFA-MA-2399. Piel rellena y cráneo. Argentina. Provincia de Misiones, Depto. Cainguás. 2 de Mayo. Col: Juan Foerster (Figuras 3-5). LT: 349; Co: 182; O: 24; P: 35; Peso: 95 grs.

Paratipos. CFA-MA-2396. Piel rellena y cráneo. Argentina. Provincia de Misiones, Depto. Cainguás. 2 de Mayo. Col: Juan Foerster. LT: 340 mm; Co: 185 mm; O: 23 mm; P: 34; Peso: 90 gr. CFA-MA-2398. Piel rellena y cráneo. Argentina. Provincia de Misiones, Depto. Cainguás. 2 de Mayo. Col: Juan Foerster.

Localidad tipo. República Argentina. Depto. Cainguás. 2 de Mayo (27° 02' S; 54° 38' O) (Massoia, 1993). Altitud media: 555 metros sobre el nivel del mar. Corresponde a la Ecorregión de la Selva Paranaense.

Diagnosis. Especie del género *Euryoryzomys* diagnosticable sobre la base de la siguiente combinación de caracteres (autapomorfías marcadas con un asterisco): 1) placa zigo-

mática anteriormente cóncava con margen libre anteroposteriormente corto; 2) margen posterior de los forámenes incisivos agudo y alcanzando el nivel del M2*; 3) crestas supraorbitarias ausentes*; 4) vientre con un fuerte tono ocráceo, especialmente en la base de la cola; y 5) cola pardo unicolor.

Etimología. australis, del latín, cuyo significado es sureño o meridional. Esto es debido a que se trata de la especie más sureña conocida para el género.

Descripción. Tamaño mediano. Pelaje corto y duro. Cola algo más larga o subigual a cabeza y cuerpo. Escamas de la cola de tamaño normal. Garras de manos y pies cortas y fuertemente recurvadas, de color amarillento y cubiertas por mechones de pelos amarillentos. Patas posteriores largas y delgadas al igual que sus dedos. Orejas grandes y redondeadas. Vibrisas mistaciales extremadamente largas que sobrepasan las orejas cuando son estiradas para atrás (un rasgo compartido con especies del género *Sooretamys*). Es una especie muy homogénea en coloración y aspecto. La coloración dorsal es de un pardo castaño homogéneo, entremezclado con pelos más rojizos (levemente agutí). Presenta una línea media mejor definida que en *E. russatus*. Los pelos son tricolores o bicolores: la base es negruzca, el medio es castaño rojizo y la punta puede ser de este mismo color o negruzca. Flancos algo más rojizos que el dorso. El límite entre los flancos y el vientre es muy abrupto. El vientre es de color amarillento con un leve lavado de pelos grises. Los pelos del vientre son bicolores con base gris y el resto amarillento. Los pelos que recubren manos y pies son amarillentos. Cola unicolor parda. Los pelos del interior de las orejas son ocre.

Cráneo relativamente estrecho y alargado, con rostro alargado, arcos zigomáticos levemente expandidos y caja craneana poco globosa. Nasales bien desarrollados, divergentes anteriormente y en su extremo posterior sobrepasan el borde posterior de

los premaxilares. Muesca cigomática profunda. Región interorbitaria ancha y levemente divergente hacia atrás, con bordes redondeados en su porción anterior y algo más rectos en la posterior, sin formar márgenes filosos. Ausencia de crestas supraorbitarias pronunciadas. Sutura fronto-parietal con forma de U; interparietal de gran tamaño, de contorno subtriangular que alcanza a contactar las crestas mastoideas. Crestas temporales y mastoideas escasamente desarrolladas. En vista lateral el cráneo es apenas curvado. Nasales que sobrepasan el extremo anterior de los premaxilares. Placa cigomática con borde anterior cóncavo y margen libre dorsal anteriormente proyectado. Fosa mesopterigoidea de tamaño intermedio, con margen anterior subtriangular, con bordes suavemente cóncavos. Vacuidades esfeno-palatinas grandes, de contorno subtriangular. Fosas parapterigoideas relativamente excavadas, divergentes posteriormente y anchas en comparación a la mesopterigoidea. Bullas de tamaño promedio para el género con tubos de Eustaquio cortos y anchos. Patrón de circulación carotídeo del tipo presente en grupo "capito" de Musser *et al.* (1998). Incisivos superiores ortodontes, con la cara anterior de color amarillo-anaranjado.

Comentarios. La nueva especie *E. australis* se distingue de *Sooretamys* por presentar hocico notablemente corto y robusto, cráneo corto y ancho, con un basioccipital transversalmente muy amplio, placa zigomática notablemente más ancha y con margen libre extenso, y nasales de contorno subtriangular levemente divergentes hacia el margen anterior (véase Weksler *et al.*, 2006).

Dentro de este género *E. australis* nov. se asemeja al grupo de especies que contiene *E. russatus* (ver Musser *et al.*, 1998) en que el margen posterior de los forámenes incisivos alcanza al M1 y en poseer un M2 complejo, con diversas fosetas (Musser *et al.*, 1998). Sin embargo, *E. australis* difiere de todas las especies del género (especialmente

de *E. russatus* y *E. legatus*, las únicas citadas previamente para la provincia de Misiones; Massoia, 1974; Teta *et al.*, 2007) en la placa zigomática anteriormente cóncava con un margen dorsal libre (recta y sin margen libre en *E. russatus*), margen posterior de los forámenes incisivos agudo (redondeados y amplios en *E. russatus* y *E. legatus*) y en las crestas supraorbitarias ausentes (presentes y bien desarrolladas en otras especies).

En coloración, *E. australis* nov. difiere de *Sooretamys* y *E. russatus* por poseer el vientre con un fuerte tono ocráceo, especialmente en la base de la cola (esto último a semejanza de *E. legatus* y *E. russatus*, mientras que en *Sooretamys* es gris). En contraste con *E. russatus* la coloración ventral es mucho menos grisácea, y la cola es pardo unicolor (marcadamente bicolor en *E. russatus*). *E. legatus* difiere en coloración a primera vista, siendo *E. australis* nov. más pálida y menos rojiza y con la línea media dorsal mejor definida.

Los forámenes incisivos extendidos posteriormente y agudos, así como la ausencia de crestas supraorbitarias permiten distinguir *E. australis* de las restantes especies del género.

Vale la pena remarcar que todos los ejemplares conocidos de *E. australis* proceden de la localidad 2 de Mayo, ubicada en la provincia de Misiones (véase Chebez, 1994, 1996; Massoia *et al.*, 2012). Sin embargo, es probable que varios ejemplares, previamente citados como *E. russatus* o *E. legatus* puedan ser referidos a esta especie luego de una revisión en mayor detalle, incluyendo las citas previas de "*Oryzomys megacephalus intermedius*" para la localidad 2 de Mayo (Massoia, 1974, 1993; Massoia *et al.*, 2012). En este sentido, es posible que algunos ejemplares citados por Teta *et al.* (2007) como pertenecientes al género *Sooretamys*, procedentes de la provincia de Misiones (MACN 15588; véase Massoia, 1993) puedan ser también referidos a esta nueva entidad (véase también Teta *et al.*, 2014).



Figura 3 - *Euryoryzomys australis* nov. (Holotipo, CFA-MA-2399), cráneo en vistas **A**, dorsal; **B**, ventral; **C**, lateral izquierda. Escala: 2 cm.



Figura 4 - *Euryoryzomys australis* nov. (Holotipo, CFA-MA-2399), vista oclusal de serie molar **A**, superior izquierda; **B** inferior derecha.



Figura 5 - *Euryoryzomys australis* nov. (Holotipo, CFA-MA-2399), piel en vistas **A**, dorsal; **B**, ventral; **C**, lateral izquierda. Escala: 2 cm.

Oligoryzomys Bangs, 1900

Comentarios. La taxonomía del género *Oligoryzomys* es posiblemente una de las más complejas y aún quedan numerosos taxones nuevos por describir. En este sentido, las revisiones clásicas de Myers y Carleton (1981) y Olds y Anderson (1987), junto a los esfuerzos pioneros de Massoia (1973) y a trabajos más recientes (Weksler y Bonvicino, 2005; Palma *et al.*, 2010; Teta *et al.*, 2013) son un importante punto de partida para esclarecer la complicada composición específica de este género. En Argentina, al día de la fecha se listan unas 7 especies pertenecientes a este género (Teta *et al.*, 2018) y una octava fue reconocida como especie plena recientemente (Agnolin *et al.*, 2017). Todas las especies argentinas, pueden agruparse en diferentes conglomerados según su tamaño y caracteres externos, especialmente coloración del pelaje dorsal, ventral y ore-

jas (véase Massoia, 1973; Olds y Anderson, 1987).

Massoia (1983) describió para la provincia de Misiones la subespecie *Oligoryzomys flavescens antoniae* (basado en los ejemplares CFA-MA-6045, 6046; Figuras 6 y 7). Sin embargo, este autor no cita rasgos específicos por los cuales esta forma deba ser incluida dentro de *Oligoryzomys flavescens*. De hecho, las diferencias entre ambas formas son notables: *O. f. antoniae* es de tamaño mucho menor, comparable a *O. fornesi* (Massoia, 1973), paladar marcadamente más estrecho, hocico agudo y nasales anteriormente proyectados (Massoia, 1983). Las diferencias en coloración son también muy marcadas: en la forma *O. f. antoniae* el dorso es marcadamente más amarillento y orejas cubiertas por pelitos ocreos (Massoia, 1983). Adicionalmente, la forma *O. f. antoniae* se distingue del simpátrico *O. eliurus* por presentar orejas claras (oscuras en *O. eliurus*),

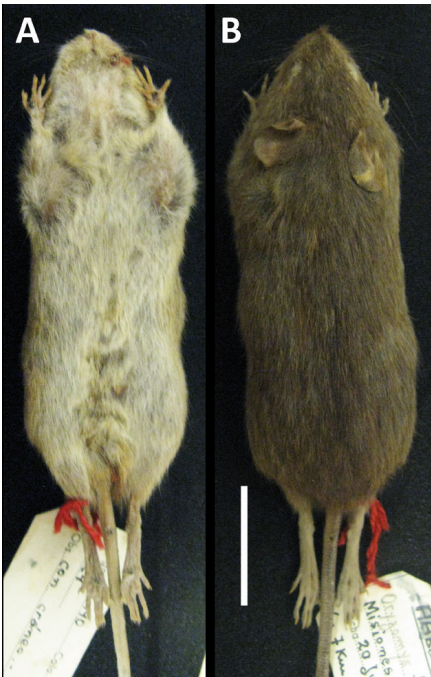


Figura 6 - *Oligoryzomys antoniae* (Massoia, 1983) nov. comb. (Holotipo, CFA-MA-6045) piel en vistas **A**, dorsal; **B**, ventral. Escala: 2 cm.

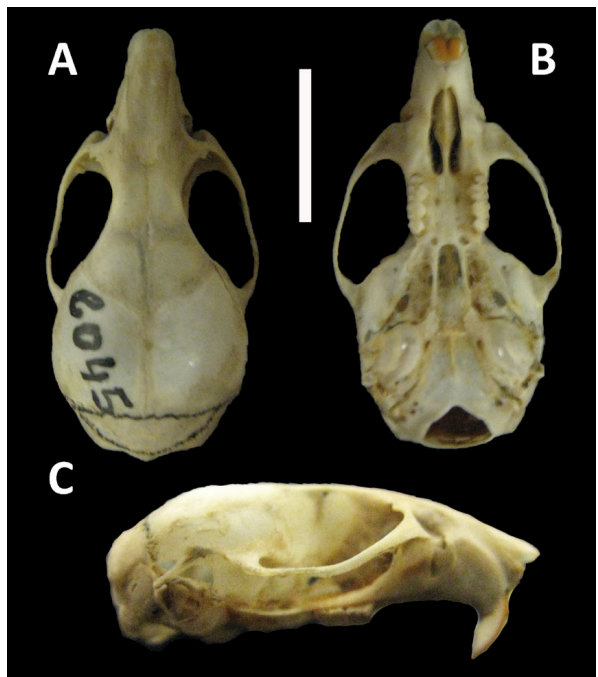


Figura 7 - *Oligoryzomys antoniae* (Massoia, 1983) nov. comb. (Holotipo, CFA-MA-6045), cráneo en vistas **A**, dorsal; **B**, ventral; **C**, lateral derecha. Escala: 1 cm.

hocico corto con vacuidades palatales más cortas y anchas, paladar corto y ancho (más largo en *O. eliurus*), forámenes incisivos no alcanzan el M1 (usualmente lo alcanzan en *O. flavescens*; Weksler y Bonvicino, 2005), bóveda craneana muy redondeada y basioccipital con márgenes divergentes. Esta combinación de rasgos permite reconocer a *O. antoniae* como una especie válida, claramente diferenciable de otras dentro del género.

En este sentido, *O. flavescens* parece encontrar su distribución mayormente restringida a la Región Pampeana (incluyendo las provincias de Buenos Aires, La Pampa y su localidad típica en Montevideo, Uruguay; Contreras y Rossi, 1980) y Litoral (incluyendo provincias de Corrientes y Entre Ríos; Bárcquez *et al.*, 2006), mientras que las citas extra-pampeanas, incluyendo los registros Chaqueños y Nortños son dudosas, y de posición taxonómica incierta (Contreras y Berry, 1983; véase más abajo).

Oligoryzomys noa nov. sp.

urn:lsid:zoobank.org:act:AD17CA1C-692C-488E-A9E2-F3128D7AFF91

Holotipo. CFA-MA-3999. Piel rellena y cráneo. Argentina, provincia de Salta, departamento Orán, Río Pescado (YPF). Julio 1972. Col: Elio Massoia. LT: 177 mm; Co: 101 mm; O: 13 mm; P: 23; Peso: 15 gr (Figuras 8-10).

Localidad tipo. República Argentina. Provincia de Salta. Depto. Orán. Río Pescado (YPF). Altitud media: 580 metros sobre el nivel del mar. Corresponde a la Eco-Región de las Yungas.

Paratipos. CFA-MA-5875. Piel rellena y cráneo. Río Pescado (YPF), Departamento Orán, provincia de Salta, Argentina. Col: Elio Massoia. LT: 197 mm; Co: 118 mm; O: 14 mm; P: 23; Peso: 18 gr. CFA-MA-5874. Piel rellena. Yacones, departamento La Caldera, provincia de Salta, Argentina. Col:

Torres. LT: 187 mm; Co: 105; O: 12; P: 22; Peso: 16 gr. CFA-MA-5875. Piel rellena. Campo Quijano, Departamento Rosario de Lerma, provincia de Salta, Argentina. 6 de Septiembre de 1969. Col: Abel Fornes. LT: 187 mm; Co: 130 mm; O: 13 mm; P: 25 mm. CFA-MA-5884. Piel rellena y cráneo. Ingenio Tabacal, departamento Orán, provincia de Salta, Argentina. 19 de Julio de 1971. Col: Abel Fornes. LT: 203 mm; Co: 116 mm; O: 12 mm; P: 22 mm; Peso: 18 gr. CEM5873. Villa Marcos Paz, departamento Yerba Buena, provincia de Tucumán, Argentina. 2 de Agosto de 1959. Col: E. Massoia. LT: 162 mm; Co: 113 mm; O: 12 mm; P: 22 mm. Macho adulto, piel rellena y cráneo. CEM485, Villa Marcos Paz, departamento Yerba Buena, Tucumán, Argentina. 18 de Julio de 1963. Col: N. Fornes. LT: 207 mm; Co: 121 mm; O: 13 mm; P: 23 mm. Hembra adulta, piel rellena y cráneo. CFA-MA-03089, Famaillá (INTA), Departamento Famaillá, Tucumán, Argentina. Col: E. Massoia. LT: 209 mm; Co: 120 mm.; O: 14 mm; P: 23 mm. Peso: 18 g. Hembra adulta, piel rellena y cráneo. CEM3109, Famaillá (INTA), departamento Famaillá, Tucumán, Argentina. Col: E. Massoia. LT: 205 mm; Co: 121 mm; O: 14 mm; P: 24 mm; Peso: 25 g. Hembra adulta grávida, con 3 fetos. Piel y cráneo. CFA-MA-00484, Villa Marcos Paz, departamento Yerba Buena, Tucumán, Argentina. 18 de Julio de 1963. Col: N. Fornes. LT: 202 mm; Co: 122 mm; O: 14 mm; P: 25 mm. Macho adulto, piel rellena y cráneo. CFA-MA-00455, Co. San Javier, departamento Yerba Buena, Tucumán, Argentina. 2 de Junio de 1960. Col: N. Fornes. LT: 169 mm; Co 103,0 mm; O: 14 mm; P: 22 mm. Macho adulto, piel rellena. CFA-MA-00486, Villa Marcos Paz, departamento Yerba Buena, Tucumán, Argentina. 18 de Julio de 1963. Col: N. Fornes. LT: 184; Co: 108; O: 15; P: 25. Macho adulto, piel rellena.

Diagnosis. Especies de pequeño tamaño del género *Oligoryzomys* diagnosticable

sobre la base de la siguiente combinación única de caracteres: 1) cráneo robusto corto y con el margen dorsal fuertemente abovedado (semejante a *O. chacoensis*), 2) crestas supraorbitarias ausentes (semejante a *O. chacoensis*), 3) frontales de márgenes subparalelos, 4) abrupta banda ocre a lo largo de los flancos resultando en un abrupto cambio de coloración con el vientre (semejante a *O. chacoensis*), y 5) vientre oscuro con un fuerte lavado de gris (semejante a *O. longicaudatus*).

Etimología. NOA, lo que equivale a las iniciales que significan "Noroeste Argentino". Debido a la procedencia geográfica de los ejemplares descritos de la especie.

Descripción. Tamaño pequeño, algo mayor que *O. fornesi*. La coloración dorsal es de un pardo anaranjado homogéneo, entremezclado con pelos más pálidos y algunos más oscuros (levemente agutí). Presenta una línea media bien definida. Orejas pardo claras. Los pelos del dorso son tricolores o bicolores: la base es gris, el medio es anaranjado y la punta oscura. Flancos marcadamente más ocres que el dorso. El límite entre los flancos y el vientre es muy abrupto y se encuentra demarcado por una banda ocrácea. El vientre es de color blanco sucio, con un fuerte lavado de gris o negro, que a veces conforma manchones oscuros de pelo. Los pelos del vientre son bicolores, con base gris y el resto blanco o amarillento. Los pelos de la garganta son bicolores, de base gris y resto blancuzco. Los pelos que recubren manos y pies son blancuzcos. Cola bicolor, parda arriba más pálida abajo. Los pelos del interior de las orejas son ocres. No presenta manchas ocres delante de las orejas.

El cráneo es relativamente robusto y corto, con el margen dorsal fuertemente convexo. El rostro es ancho y corto. Los arcos zigomáticos están bien expandidos y el basicráneo es globoso y bien inflado. Los nasales se encuentran expandidos en su tercio distal. La constricción interorbitaria es estrecha,

y los frontales se expanden marcadamente en su mitad posterior. Crestas supraorbitarias apenas marcadas. Crestas mastoideas y temporales pobremente definidas y poco desarrolladas. Muecscas zigomáticas amplias y poco profundas. Bóveda craneana muy inflada y profundamente convexa. En vista lateral el cráneo es de un perfil dorsal bien convexo. La placa zigomática es estrecha, con el margen anterior recto y de orientación oblícua, divergiendo hacia la base.

Forámenes incisivos sobrepasan el margen anterior del procíngulo del M1. Fosa mesopterigoidea relativamente estrecha con márgenes laterales subparalelos y con el margen anterior bien por detrás del nivel del M3. Fosas parapterigoideas relativamente estrechas y poco profundas con márgenes externos suavemente convexos. Bullas relativamente pequeñas y poco infladas, con los tubos de eustaquio cortos.

Comentarios. Los distintos ejemplares aquí incluidos dentro de *O. noa* nov. sp. figuraban clasificados por E. Massoia como *O. nigripes*, *O. flavescens* y *O. longicaudatus*, lo que demuestra el estatus taxonómico incierto que reinaba sobre esta nueva especie.

Oligoryzomys noa nov. sp., es una especie que muestra una combinación de caracteres única que la distingue de otras especies del género citadas para el Noroeste Argentino.

En tamaño y coloración general recuerda especialmente a las especies *O. fornesi* y *O. chacoensis*. Difiere *O. fornesi* en su tamaño mucho mayor y cráneo más corto, ancho y abovedado, sin crestas supraorbitales desarrolladas (Massoia, 1973). Se asemeja en la coloración ventral, pero difiere en los flancos de un ocre subido y el tono general anaranjado que recuerda más a *O. chacoensis*. A pesar de la gran cantidad de rasgos compartidos con *O. chacoensis*, es claramente distinguible de éste en presentar la placa zigomática mucho más angosta, los frontales estrechos y posteriormente no divergentes, y el vientre oscuro con un fuerte lavado de

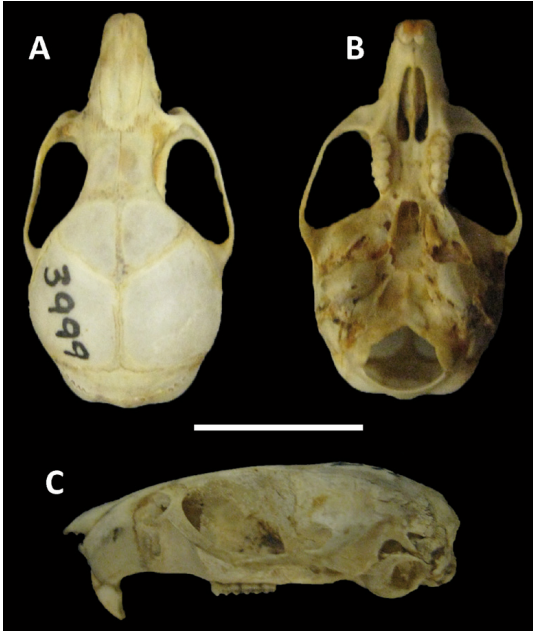


Figura 8 - *Oligoryzomys noa* nov. (Holotipo, CFA-MA-3999), cráneo en vistas **A**, dorsal; **B**, ventral; **C**, lateral izquierda. Escala: 1 cm.



Figura 9 - *Oligoryzomys noa* nov. (Holotipo, CFA-MA-3999), piel en vistas **A**, dorsal; **B**, ventral. Escala: 2 cm.



Figura 10 - *Oligoryzomys noa* nov. (Holotipo, CFA-MA-3999), vista oclusal de serie molar **A**, superior derecha; **B** inferior derecha.

gris (*O. chacoensis* es única en tener el vientre blancuzco, enteramente blanco en mentón y barbilla; Myers y Carleton, 1981; Weksler y Bonvicino, 2005). Asimismo, difiere de *O. flavescens* por su coloración ventral muy oscura y lavada de gris, y de *O. longicaudatus* por tamaño menor, los nasales poco sobresalientes, y el cráneo de proporciones marcadamente más robustas (Masseto, 1973; Weksler y Bonvicino, 2005).

Vale la pena remarcar que los ejemplares procedentes de Tucumán presentan el cráneo algo más estrecho, especialmente en la región interorbitaria, y el hocico más corto y estrecho que en los ejemplares de Salta y Jujuy. Si bien estas diferencias son menores, no es improbable que dentro de lo que reconocemos como *O. noa* nov., se puedan diferenciar, luego de un análisis en mayor detalle, especies crípticas que aún permanecen desconocidas.

Dentro de *Oligoryzomys noa* nov. se inclu-

yen ejemplares previamente asignados a las especies *O. longicaudatus*, *O. flavescens* y *O. chacoensis* procedentes del Noroeste argentino (e.g., Bárquez *et al.*, 1991; Díaz *et al.*, 1997; Díaz, 2000; Weksler y Bonvicino, 2005), y es posible de manera provisoria, que estas especies puedan ser excluidas de las faunas del Noroeste Argentino.

Oligoryzomys lanosus nov. sp.

urn:lsid:zoobank.org:act:14232622-B0EF-43B9-8B59-D4599719F8ED

Holotipo. CFA-MA 5856. Piel rellena y cráneo. San Javier, 1400 metros sobre el nivel del mar, Departamento Yerba Buena, Tucumán, Argentina. Diciembre 1969. Col: Elio Massoia y Antonia De Simone. LT: 197 mm; Co: 120 mm; O: 18 mm; P: 24 mm (Figuras 11-13).

Paratipo. CFA-MA-5857. Piel rellena y cráneo. Argentina. Provincia de Tucumán. Depto. Yerba Buena. San Javier, 1400 metros sobre el nivel del mar. Diciembre 1969. Col: Elio Massoia y Antonia De Simone. LT: 201 mm; Co: 121 mm; P: 17 mm; O: 23 mm.

Localidad tipo. Argentina. Provincia de Tucumán. Depto. Yerba Buena. San Javier, 1400 metros sobre el nivel del mar.

Diagnosis. Especies de pequeño tamaño del género *Oligoryzomys* diagnosticable sobre la base de la siguiente combinación única de caracteres (autapomorfías marcadas con un asterisco): 1) rostro ancho y robusto; 2) espacio interorbitario muy estrecho y con márgenes frontales fuertemente cóncavos*; 3) crestas supraorbitarias bien desarrolladas y expandidas*; 4) forámenes incisivos cortos y anchos; y 5) coloración de dorso y flancos con un fuerte tinte anaranjado, más pronunciado en los flancos.

Etimología. *lanosus*, del latín, que significa "con lana". En alusión al pelaje de aspecto lanoso de la nueva especie.

Descripción. Se trata de un *Oligoryzomys* de

pequeño tamaño, comparable a *O. fornesi*. Pelaje largo, tupido y lanoso. La coloración dorsal es de un pardo ocráceo homogéneo, entremezclado con pelos rojizos y negruzcos (levemente agutí). No presenta una línea media bien definida. Orejas pardas. Los pelos del dorso son tricolores o bicolors: la base es gris, el medio es ocre fuerte y la punta ocasionalmente negruzca. Los laterales de la cabeza con bastantes pelos ocre. Flancos marcadamente más ocre que el dorso, con más amarillo. El límite entre los flancos y el vientre es relativamente abrupto y se encuentra demarcado por una notable banda ocrácea. El vientre es de color amarillento con un fuerte lavado de pelos negruzcos. Los pelos del vientre son bicolors, con base gris y el resto amarillento. Los pelos que recubren manos y pies son blancuzcos. Cola bicolor, parda arriba más pálida abajo. Los pelos del interior de las orejas son ocre.

El cráneo es relativamente robusto y corto, con el margen dorsal fuertemente convexo. El rostro es ancho y corto. Los arcos zigomáticos están bien expandidos y el basicráneo es globoso. Los nasales se encuentran levemente expandidos en su tercio distal. La constricción interorbitaria es muy estrecha, y los frontales se expanden marcadamente en su mitad posterior. Crestas supraorbitarias muy bien desarrolladas, formando láminas agudas. Crestas mastoideas y temporales bien definidas y desarrolladas. Muecas zigomáticas estrechas y profundas, en forma de "U". En vista lateral el cráneo es de perfil dorsal convexo. La placa zigomática es estrecha, con el margen anterior recto, con una suave concavidad anterior.

Forámenes incisivos cortos alcanzan el margen anterior del procíngulo del M1. Fosa mesopterigoidea relativamente estrecha con márgenes laterales subparalelos y con el margen anterior convexo, cercano al nivel del M3. Fosas parapterigoideas relati-

vamente amplias y profundas con márgenes externos bien convexos. Bullas relativamente pequeñas y poco infladas, con los tubos de eustaquio cortos.

Comentarios. Lamentablemente, *O. lanosus* nov. se conoce solo por dos ejemplares. A pesar de contar con tal escaso material, esta nueva forma es claramente distinguible de las restantes especies que habitan el norte argentino, especialmente por su pelaje tupido y lanoso con una fuerte tonalidad anaranjada.

En su coloración general ocrácea y el interior de las orejas pardas, recuerdan a la especie *O. chacoensis* (Myers y Carleton, 1981). Sin embargo, en *O. lanosus* nov. la coloración general muy ocre o anaranjada, es aún más pronunciada que la exhibida por *O. chacoensis*, especialmente hacia los flancos. Adicionalmente, el vientre de *O. lanosus* nov. es amarillento como en *O. flavescens*, pero con un mayor lavado de negro

a semejanza de *O. longicaudatus* (Massoia, 1973).

O. lanosus nov. sp. difiere de las restantes especies del género por su hocico extremadamente ancho y robusto y por su espacio interorbitario muy estrecho, rasgos que lo acercan a la especie *O. brendae*, procedente de la misma localidad (Massoia, 1998; Teta *et al.*, 2013). Sin embargo, difiere de esta última en el pelaje tupido, la coloración dorsal marcadamente más ocrácea y el vientre amarillento. Adicionalmente, *O. lanosus* nov. exhibe crestas supraorbitarias bien desarrolladas y expandidas y forámenes incisivos cortos, rasgos que la distinguen de todas las especies que se encuentran en la región, incluyendo *O. brendae* y *O. noa* nov.

Vale la pena remarcar que ambos ejemplares figuraban determinados por E. Massoia como *Oligoryzomys longicaudatus*, especie claramente diferenciable por numerosos caracteres craneanos y de coloración.



Figura 11 - *Oligoryzomys lanosus* nov. (Holotipo, CFA-MA-5856) piel en vistas **A**, dorsal; **B**, ventral; **C**, lateral izquierdo. Escala: 2 cm.

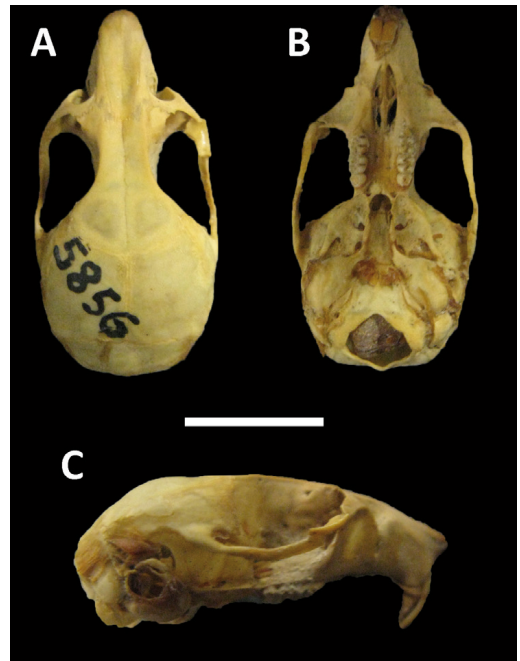


Figura 12 - *Oligoryzomys lanosus* nov. (Holotipo, CFA-MA-5856), cráneo en vistas **A**, dorsal; **B**, ventral; **C**, lateral derecha. Escala: 1 cm.



Figura 13 - *Oligoryzomys lanosus* nov., vista oclusal de serie molar superior izquierda de **A**, holotipo (CFA-MA-5856); **B**, paratipo (CFA-MA-5857).

Tribu Akodontini Vorontzov, 1959

Comentarios. La Tribu Akodontini es sin lugar a dudas la más compleja y especiosa dentro de los Sigmodontinae (Reig, 1980; 1987; Hershkovitz, 1990; Patton *et al.*, 2015; Pardiñas *et al.*, 2015). Dentro de los Akodontini se diferencian dos sendos clados, representados por los linajes *Akodon* y *Oxymycterus*, respectivamente (Hershkovitz, 1966, 1994; Hinojosa *et al.*, 1987; Reig, 1987). Con la finalidad de simplificar descripciones y comparaciones, en la presente contribución proponemos un arreglo tribal de acuerdo con información publicada y observaciones propias.

Subtribu Akodontina nov.

urn:lsid:zoobank.org:act:B32BB459-4C71-4933-A1AE-F261A1A24471

Diagnosis. Grupo de pequeños sigmodontinos diagnosticable sobre la base de los siguientes caracteres derivados: 1) interparietal reducido; 2) M1 superior con el flexo anteromediano profundo (reducido en *Thaptomys*, *Castoria*, *Hypsimys* y algunas especies de *Necromys*); 3) M3 superior sin pliegues y cilindrico; 4) próstata pequeña y de posición medial; 5) región interorbital ancha con los márgenes filosos, conformando una cresta posteriormente, pero sin crestas supraorbitarias (Hooper y Musser, 1964; Massoia y Fornes, 1967; Reig, 1987; Pardiñas *et al.*, 2016; Figura 14).

Géneros incluidos. *Akodon* Meyen, 1833, *Deltamys* Thomas, 1917, *Hypsimys* Thomas, 1918, *Necromys* Ameghino, 1889, *Castoria* Pardiñas *et al.*, 2016, *Thaptomys* Thomas, 1916, *Thalpomys* Thomas, 1916, *Podoxymys* Anthony, 1919, *Miniakodon* nov., *Albakodon* nov., *Macroakodon* nov. Retenemos a *Deltamys* dentro de Akodontini, de acuerdo a la visión tradicional sumariada por Reig (1987; Massoia, 1980; Bianchini y Delupi, 1994; González y Massoia, 1995). Sin embargo, análisis moleculares (D'Elia *et al.*, 2003) sustentan la exclusión de este género.

Comentarios. La subtribu Akodontina nov. ha sido reconocida de manera informal por diversos autores (Thomas, 1916; Massoia, 1963, 1981; 1983; Hershkovitz, 1966; Reig, 1987; Pardiñas *et al.*, 2016), y recientemente reconocida como "División *Akodon*" por D'Elia (2003). Esta agrupación contiene una enorme cantidad de especies y linajes que han sido históricamente incluidos como subgéneros o subdivisiones dentro del género *Akodon* (Reig, 1987). De hecho, dentro de *Akodon* han sido anidados taxones hoy en día solo lejanamente emparentados, como ser miembros de la Tribu

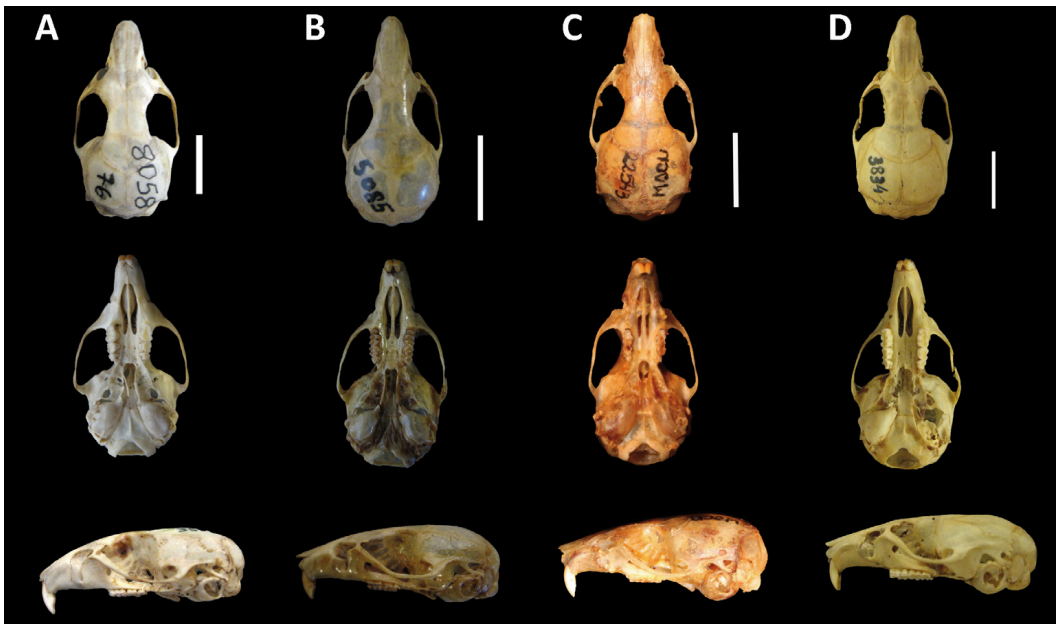


Figura 14 - Cráneo de los diferentes géneros de la subtribu Akodontina. Fila superior, vista dorsal; fila media, vista ventral; fila inferior, vista lateral izquierda. **A**, *Macroakodon dolores* (CFA-MA-8058); **B**, *Miniakodon azarae* (CFA-MA-5085); **C**, *Albakodon albiventer* (MACN-Ma 22543); **D**, *Hypsimys budini* (CFA-MA-3834). Escala: 1 cm.

Abrotrichini, y posiblemente *Microxus* y *Neomicroxus* (Voss, 2003; D’Elia *et al.*, 2008).

Sin embargo, tal como fuera indicado por Pardiñas *et al.* (2016) esta situación de un género no solo extremadamente abarcativo, sino también profundamente politípico y de límites difusos como fuera reconocido por la inmensa mayoría de los autores (Hershkovitz, 1990), posiblemente persista por inercia. En este sentido, a partir de la década de 1990, dentro de *Akodon* fueron incluidos diversos grupos de especies reconocidos como “grupo *boliviensis*”, “grupo *varius*”, “grupo *fumeus*”, “grupo *cursor*” etc. que posiblemente ameriten una distinción genérica (Myers, 1989; 1990; Myers y Patton, 1989; Hershkovitz, 1990; Braun *et al.*, 2008; Jayat *et al.*, 2010; Coyner *et al.*, 2013). En la presente contribución algunos de estos “grupos de especies” son nominados y brevemente caracterizados, con la finalidad de simplificar, al menos provisoriamente, el tratamiento de la subtribu Akodontina.

Aquí restringimos el género *Akodon* Meyen, 1833 *sensu stricto* a aquellas especies incluidas en el “grupo *boliviensis*” (“*Akodon boliviensis* size class” de Hershkovitz, 1990 y “*Akodon boliviensis* species group” de Myers *et al.*, 1990; Smith y Patton, 2007; Jayat *et al.*, 2010), debido a que la especie *Akodon boliviensis* es la genotípica (Gyldenstolpe, 1932). *Akodon* incluye especies pequeñas y morfológicamente homogéneas, habitantes de pastizales y regiones ecotonales, especialmente abiertas (Jayat *et al.*, 2010). En Argentina, sobre la base de la detallada revisión de Jayat *et al.* (2010) *Akodon* cuenta con las especies *A. boliviensis* Meyen, 1833, *A. caenosus* Thomas, 1918, *A. spegazzinii* Thomas, 1897, *A. sylvanus* Thomas, 1921, y *A. polopi* Jayat *et al.*, 2010. Posiblemente deban ser incluidos dentro de este género *A. tucumanensis*, *A. alterus* y *A. leucolimnaeus* (Myers *et al.*, 1990; Jayat *et al.*, 2010).

Hypsimys fue establecido por Thomas en 1918 para incluir a la especie *H. budini*

de la provincia de Jujuy, Argentina. Posteriormente, en 1921 nominó la especie *H. deceptor*, cercanamente emparentada, y considerada como un sinónimo subjetivo de la primera por la mayor parte de los autores (Cabrera, 1961). Más recientemente, Myers y Patton (1989) describieron la especie *Akodon siberiae* e indicaron numerosos rasgos compartidos con *H. budini* y Coyner *et al.* (2013) consideraron ambas especies como estrechamente relacionadas. Ellerman (1941) consideró a *Hypsimys* dentro de *Akodon*, apenas como un subgénero, criterio que fue seguido por la casi totalidad de los autores desde entonces. En este sentido, Pardiñas *et al.* (2016) indican que la sumisión de *Hypsimys* dentro de *Akodon* posiblemente sea un caso más de inercia taxonómica. Sobre la base de la combinación única de caracteres que muestra una importante divergencia morfológica de *H. budini* con otros akodontinos es posible sustentar que este taxón merece un estatus de género pleno. En efecto, *Hypsimys* se diferencia de otros akodontinos, especialmente *Akodon* por el pelaje de flancos y dorso muy oscuro, casi sin diferencias de color, mentón blanco puro, cola unicolor negruzca y peluda, cráneo dorsalmente recto, caja craneana inflada y expandida (su ancho transversal equivale a la mitad de la longitud craneana cóndilobasal), sin crestas bien desarrolladas, placa zigomática muy estrecha y muy orientada posteriormente, fosa mesopterigoidea transversalmente ancha, incisivos fuertes, molares de gran tamaño, elongados, simples e hipsodontes, sin flexo anteromediano en el M1, M3 mesiodistalmente elongado y en forma de "8" (Thomas, 1918, 1921; Reig, 1987; Myers y Patton, 1989; Figura 14D). Esta combinación de rasgos permite considerar a *Hypsimys*, con sus especies *H. budini* y *H. siberiae* como un género pleno de Akodontina, morfológicamente distintivo y de relaciones filogenéticas inciertas dentro de la subtribu.

Bolomys fue establecido por Thomas en 1916 para incluir en él a la especie "*Akodon*" *amoenus* Thomas, 1900. Sin embargo, tal como fuera indicado por Massoia y Pardiñas (1993), "*A.*" *amoenus* es claramente incluíble dentro del género *Necromys* Ameghino, 1889, el cual tiene prioridad nomenclatorial. Reig (1987) describió en detalle los rasgos morfológicos que distinguen a las especies de *Necromys* de aquellas de *Akodon* y desde entonces se lo ha considerado una entidad genérica plena. *Necromys* es claramente distinguible de *Akodon* por numerosos rasgos, incluyendo garras elongadas, región interorbitaria muy ancha y con frontales más largos que los nasales, e incisivos marcadamente proodontes (Massoia y Fornes, 1967; Reig, 1987; Anderson y Olds, 1989). En Argentina, Teta *et al.* (2018) mencionan las siguientes especies: *N. amoenus* (Thomas, 1900), *N. lactens* (Thomas, 1918), *N. lasiurus* (Lund, 1840), *N. lenguarum* (Thomas, 1898), *N. lilloi* Jayat *et al.*, 2016 y *N. obscurus* (Waterhouse, 1837). Sobre la base del ejemplar tipo de la subespecie *Necromys temchuki elioi* Contreras, 1982, hemos podido constatar que se trata de una forma claramente diferenciable de las restantes especies del género. *N. t. elioi* fue originalmente nominada por Contreras (1982) sobre la base de numerosos ejemplares de la provincia de Chaco. Si bien *Necromys temchuki* Massoia 1982 hoy en día es considerado como sinónimo de *N. lasiurus* (véase Jayat *et al.*, 2016), la forma *N. t. elioi* es distintiva. La revisión de los numerosos ejemplares disponibles de las provincias de Chaco, Formosa y Corrientes (CFA-MA-04396, CEM5133, El Colorado, Formosa, Argentina, 14 de Febrero de 1976; CFA-MA-04180, macho adulto, Puente Libertad, Gral. San Martín, Chaco, Argentina; CFA-MA-12553, hembra adulta, Estancia Las Rosas, Las Palmas, Departamento Bermejo, Chaco, Argentina, 22/10/1982; CFA-MA-08055, hembra adulta, Cañada del Pirayuí, Capital Corrientes,



Figura 15 - *Necromys elioi* (Contreras, 1982) nov. comb. (CFA-MA-12553) piel en vistas **A**, dorsal; **B**, ventral. Escala: 2 cm.

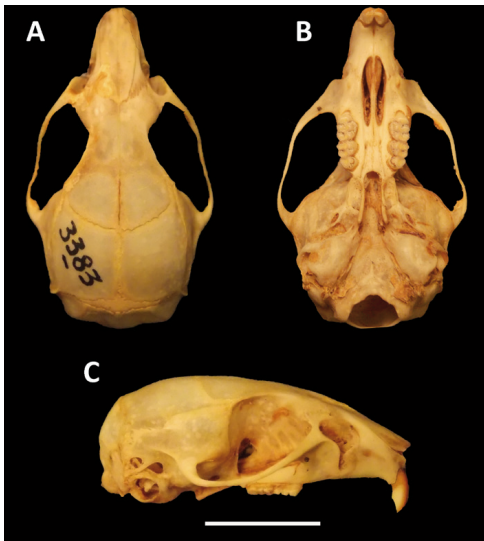


Figura 16 - *Necromys elioi* (Contreras, 1982) nov. comb. (CFA-MA-12553) cráneo en vistas **A**, dorsal; **B**, ventral; **C**, lateral derecha. Escala: 2 cm.

Argentina) permite distinguirla de las restantes especies, especialmente *N. lasiurus* sobre la base de una combinación única de caracteres, incluyendo tamaño proporcionalmente más pequeño, cráneo más corto y ancho, hocico muy corto, crestas basioccipitales laterales agudas y salientes, coloración lateral y vientre marcadamente más grisáceos (ver Contreras, 1982; Figuras 15-16). De esta manera, consideramos a *N. elioi* una especie válida.

En adición a los géneros discutidos más arriba, establecemos tres nuevas entidades genéricas para incluir a diversos grupos de especies anteriormente anidados dentro de *Akodon*.

Albakodon nov. gen.

urn:lsid:zoobank.org:act:C1F04E67-7600-40BB-B8BB-8C7DC0DD0C03

Diagnosis. Roedores akodontinos diagnosticables sobre la base de las siguientes sinapomorfías: 1) vientre enteramente blanco; 2) hocico corto y ancho con los nasales anteriormente prolongados, sobrepasando en gran medida el nivel de los incisivos opistodontes; 3) premaxilar participa menos del 50% en la constitución de la barra media de los forámenes incisivos; 4) muescas zigomáticas superficiales, poco profundas y transversalmente estrechas; 5) márgenes supraorbitarios lisos, sin crestas; 6) bóveda craneana transversalmente ancha; 7) bullas timpánicas muy amplias e infladas; 8) tubo de eustaquio corto; y 9) mandíbula con proyección capsular del incisivo incipiente (Massoia, 1983; Reig, 1987; Abdala y Díaz, 2000; Figura 14C).

Etimología. Alba, del latín, cuyo significado es "blanco". En alusión al vientre blanco apomórfico del género. *Akodon*, género tipo de la Tribu Akodontini.

Especie tipo. *Akodon albiventer* Thomas, 1897.

Contenido. Se incluye dentro de *Albakodon* a las especies *A. albiventer* Thomas, 1897 y *A. berlepschii* Thomas, 1898. Esta última es considerada por varios autores como un sinónimo júnior de la primera.

Comentarios. Massoia (1983; in Massoia y Pardiñas, 1993) lo consideró a *Akodon albiventer* como el único representante del género *Bolomys*. Sin embargo, como fuera indicado más arriba, *Bolomys* fue declarado como género inválido por Massoia y Pardiñas (1993) debido a que *Necromys* Ameghino, 1889 tiene prioridad nomenclatorial. Adicionalmente, como bien fundamentó Reig (1972, 1987), *A. albiventer* no se relaciona estrechamente a las especies de *Necromys/Bolomys*, mientras que Coyner *et al.* (2013) la incluyen dentro del “grupo *aerosus*” de especies de *Akodon* (Coyner *et al.*, 2013). Debido a que *A. albiventer* no se asemeja especialmente a ninguno de los *Akodon* conocidos, aquí proponemos establecer el género monotípico *Albakodon* nov.

Miniakodon nov.

urn:lsid:zoobank.org:act:2F104DBB-DFEB-43CF-B7C5-9ABDE6641FD3

Diagnosis: Grupo de akodontinos de tamaño pequeño y morfológicamente homogéneos diagnosticables sobre la base de la siguiente combinación de sianpomorfías: 1) rostro estrecho y puntiagudo, 2) placa zigomática ancha, 3) arcos zigomáticos muy gráciles, poco proyectados lateralmente, nunca más allá del ancho transversal del basicráneo, 4) región interorbitaria en forma de reloj de arena, con los márgenes redondeados y total ausencia de crestas o rebordes filosos, 5) proyección capsular de la mandíbula incipiente, casi ausente, 6) mandíbula muy elongada y de sínfisis poco orientada dorsalmente (Reig, 1972; Myers, 1989; Myers *et al.*, 1990; Pardiñas *et al.*, 2005; Figura 14B). Especies

de *Miniakodon* retienen una dentición aún compleja, con molares mostrando frecuentemente ectolofidos, ectostilidos, mesolofidos y mesostilidos (Reig, 1972).

Etimología. Mini, prefijo latín, cuyo significado es “pequeño”. En alusión al tamaño pequeño de las especies que componen el nuevo género. *Akodon*, género tipo de la Tribu Akodontini.

Taxones incluidos. *M. azarae azarae* (Fischer, 1829), *M. a. pautassoi* nov., *M. bibianae* (Massoia, 1983), *M. chebezi* nov., *M. rumbolli* nov. y posiblemente *A. phillipmyersi* Pardiñas *et al.*, 2005 y *A. iniscatus* Thomas, 1919. La forma *A. a. hunteri* (Thomas, 1917) fue considerada como posiblemente válida por Massoia (1983). Sin embargo, la revisión de numerosos ejemplares de la zona del delta bonaerense, Corrientes y Entre Ríos, no permite distinguirla de la forma típica.

A. a. bibianae fue descrita por Massoia como una subespecie de *A. azarae*, procedente de pastizales y pajonales húmedos, así como ambientes modificados de la Región Chaqueña (Massoia, 1971). Considerada como sinónimo de la forma nominotípica por Vitullo *et al.* (1986), presenta una combinación de rasgos particular que impide considerarla como una mera forma de *A. azarae*. *Miniakodon bibianae* presenta una coloración dorsal castaño oscura con pelos ocreos entremezclados y una línea media longitudinal negruzca; cranealmente presenta importantes diferencias con *M. azarae*, especialmente en los nasales largos que superan la cara anterior de los incisivos, placa zigomática estrecha y con el margen anterior muy cóncavo, paladar estrecho y corto y forámenes incisivos elongados, que alcanzan la mitad de la longitud del M1 (Massoia, 1971; Figuras 17-18). Debido a la profunda distinción morfológica entre *M. azarae* y *M. bibianae*, junto con la distribución disyunta entre ambos, se permite considerar a ambas como especies plenas.



Figura 17 - *Miniakodon bibianae* (Massoia, 1971) nov. comb. (CFA-MA-3444, paratipo) piel en vistas **A**, dorsal; **B**, ventral. Escala: 2 cm.

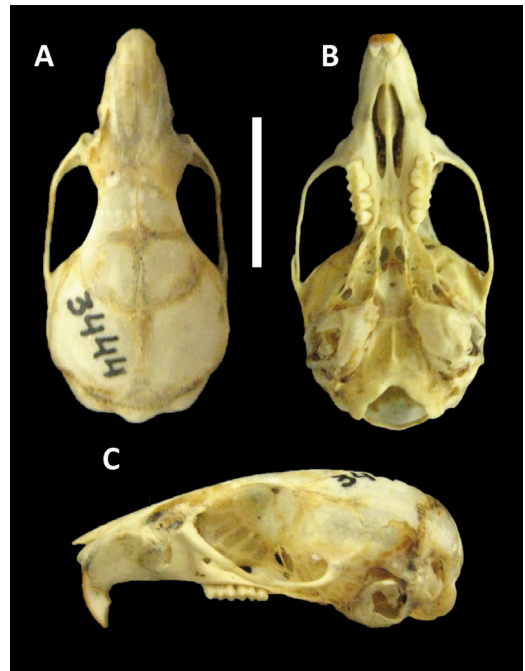


Figura 18 - *Miniakodon bibianae* (Massoia, 1971) nov. comb. (CFA-MA-3444, paratipo) cráneo en vistas **A**, dorsal; **B**, ventral; **C**, lateral izquierda. Escala: 2 cm.

Asimismo, incluimos en el presente género a la especie *A. iniscatus* Thomas, 1919, debido a que comparte todos los caracteres craneanos diagnósticos del género (Pardiñas y Galliari, 1999; Pardiñas, 2009).

Comentarios. *M. azarae* es una de las especies de sigmodontinos mejor conocidas en lo que a su historia natural se refiere (Pardiñas *et al.*, 2003). Sin embargo, en lo que respecta a su taxonomía, *M. azarae* y especies relacionadas aún permanecen pobremente conocidas (Reig, 1964; Massoia, 1990; Pardiñas *et al.*, 2003, 2004).

Miniakodon rumbolli nov. sp.

urn:lsid:zoobank.org:act:7FC62D31-B57D-4695-B885-D3A5031DA00B

Holotipo. CFA-MA-3339. Piel rellena y cráneo. Argentina. Provincia de Buenos Aires. Partido de Balcarce. Balcarce. 24 de

Junio de 1970. LT: 182 mm; Co: 84 mm; O: 13 mm; P: 21 mm. CFA-MA-1068. Piel rellena y cráneo. Argentina. Provincia de Buenos Aires. Partido de Laprida. Estancia "La Juanita". Col: Capri, Emilio Maury y Elio Massoia. LT: 177 mm; Co: 79 mm; O: 14 mm; P: 20 mm; Peso: 33 gr.

Localidad tipo. Argentina. Provincia de Buenos Aires. Partido de Balcarce. Balcarce.

Paratipos. CFA-MA-1063. Piel rellena y cráneo. Argentina. Provincia de Buenos Aires. Partido de Laprida. Estancia "La Juanita". Col: Capri, Emilio Maury y Elio Massoia. LT: 177 mm; Co: 80 mm; O: 15 mm; P: 19 mm; Peso: 25 gr. CFA-MA-1065. Piel rellena y cráneo. Argentina. Provincia de Buenos Aires. Partido de Laprida. Estancia "La Juanita". Col: Capri, Emilio Maury y Elio Massoia. LT: 168; Co: 77 mm; O: 14 mm; P: 20 mm; Peso: 29 gr. CFA-MA-1066. Piel rellena y cráneo. Argentina. Provincia de Buenos Aires. Partido de

Laprida. Estancia "La Juanita". Col: Capri, Emilio Maury y Elio Massoia. LT: 164 mm; Co: 76 mm; O: 14 mm; P: 20 mm; Peso: 22 gr. CFA-MA-1069. Piel rellena y cráneo. Argentina. Provincia de Buenos Aires. Partido de Laprida. Estancia "La Juanita". Col: Capri, Emilio Maury y Elio Massoia. LT: 182 mm; Co: 79 mm; O: 14 mm; P: 20; Peso: 31 gr.

Especímenes asignados. Sin Número (A-21). Piel rellena y cráneo. Argentina. Provincia de Buenos Aires. Partido de Laprida. 8 de Marzo de 1966. CC: 113 mm; O: 17 mm; P: 21 mm. CFA-MA-3340. Piel rellena. Argentina. Provincia de Buenos Aires. Partido de Balcarce. Balcarce. 24 de Junio de 1970. LT: 165 mm; Co: 70 mm; O: 14 mm; P: 19 mm. CFA-MA-927. Piel rellena. Argentina. Provincia de Buenos Aires. Partido de General Alvarado. Miramar, Arroyo Las Brusquitas. 18 de Agosto de 1963. Col: Elio Massoia y Abel Fornes. LT: 150 mm; Co: 72 mm; O: 13 mm; P: 19 mm. CFA-MA-2698. Piel rellena. Argentina. Provincia de Buenos Aires. Partido de General Alvarado. Miramar, Arroyo Las Brusquitas. Col: Massoia, Wainberg y Landoni. 5 de Octubre de 1968. LT: 186 mm; Co: 86 mm; O: 14 mm; P: 21 mm; Peso: 25 gr.

Diagnosis. Especie pequeña de akodontino distinguible sobre la base de la siguiente combinación única de caracteres: 1) pelaje muy tupido y lanoso, con línea media dorsal bien definida; 2) espacio interorbital muy estrecho y de márgenes muy cóncavos; 3) vientre con fuerte lavado de blancuzco; 4) crestas supraorbitarias notables; y 5) crestas sagitales, parietales y nucales bien desarrolladas.

Etimología. En honor a Mauricio E. Rumboll, naturalista de campo y ornitólogo, formador de generaciones de observadores y conservadores de la naturaleza. Descubridor y descriptor del Macá Tobiano (*Podiceps gallardoi*).

Descripción. Tamaño pequeño. Cola más

corta que cabeza y cuerpo. Orejas medianas y redondeadas. Pelaje largo y suave. La coloración dorsal es de un pardo castaño, entremezclado con pelos grisáceos, amarillentos y negruzcos que le dan un aspecto agutí. Presenta una línea media negruzca notable. Orejas muy claras, con tonalidad ocrácea. Los pelos del dorso son bi o tricolores: la base es gris y el resto amarillento o con punta negruzca. Flancos más amarillentos que el dorso. El límite entre los flancos y el vientre es relativamente abrupto. El vientre es de color gris ceniza o blancuzco con lavado de negro. Los pelos del vientre son bicolors, con base gris oscura y la punta blancuzca. Sin mancha mentoniana blanca. Cola bicolor, oscura por arriba (formando una línea longitudinal parda), blancuzca debajo. Pelos que recubren los pies y manos blancuzcos. Ocasionalmente el vientre presenta un lavado amarillento.

Cráneo relativamente estrecho y alargado, con rostro alargado, arcos cigomáticos levemente expandidos y caja craneana globosa. Nasales bien desarrollados, bien divergentes anteriormente y en su extremo posterior sobrepasan el borde posterior de los premaxilares. Muesca cigomática profunda y transversalmente estrecha. Región interorbitaria estrecha, con los márgenes fuertemente cóncavos y suavemente divergentes hacia atrás. Crestas supraorbitarias presentes pero poco desarrolladas. Sutura frontoparietal con forma de "U"; interparietal relativamente bien desarrollado. Crestas temporales y mastoideas bien desarrolladas. En vista lateral el cráneo está bien curvado. Nasales que sobrepasan el extremo anterior de premaxilares. Placa cigomática con borde anterior casi recto, algo cóncavo y margen dorsal bien desarrollado. Fosa mesopterigoidea estrecha, con margen anterior en forma de lira, con bordes suavemente cóncavos. Fosas parapterigoideas bien excavadas, divergentes posteriormente y estrechas. Bullas infladas, de tamaño grande, con tubo

de Eustaquio saliente. Incisivos superiores algo opistodontes.

Comentarios. *M. rumbolli* es referible a *Miniakodon* por su tamaño relativamente pequeño y el cráneo con bóveda craneana amplia y transversalmente ancha. Recuerda a la especie *M. iniscatus* en coloración general y el pelaje tupido (Thomas, 1919), sin embargo difiere marcadamente en caracteres craneanos, incluyendo el espacio interorbital muy estrecho y de márgenes muy cóncavos y las crestas supraorbitarias presentes (Pardiñas y Galiari, 1999).

Por otro lado, *M. rumbolli* nov. sp., se distingue de *M. azarae*, por la bóveda craneana más estrecha y con crestas sagitales, parietales y nucales marcadas, frontales poco divergentes posteriormente (muy divergentes en el tercio posterior en *M. azarae*, en relación a su amplia bóveda craneana), el pelaje suave y acolchado de coloración muy agutí (más homogénea en *M. azarae*), en la presencia de una línea media longitudinal dorsal pardo oscura bien definida, el vientre con notable lavado blancuzco (amarillento u ocre en *M.*

azarae), y patas con pelos blancuzcos (grises en *M. azarae*). Vale la pena resaltar que Massoia (1990) indicó que los ejemplares del sur bonaerense presentaban medidas distintas de los típicamente referibles a *M. azarae*. Es posible que Massoia basara su observación en los ejemplares que ahora constituyen aquellos sobre los que se basa la nueva especie aquí descripta.

Reig (1964) ha citado un ejemplar semejante a *M. azarae* en la zona de "Arroyo El Pescado", incluido dentro de la zona de distribución de *M. rumbolli*. Este ejemplar, sobre la base de la breve descripción de Reig (1964) posiblemente sea referible a esta nueva especie. De la misma manera, los ejemplares citados por Contreras (1972) para Chasicó como referibles a *M. azarae* es posible que puedan ser asignables a esta especie.

La descripción de una nueva especie de *Miniakodon* para la costa sur bonaerense, es un hecho remarcable, debido a que la zona se encuentra bien prospectada desde el punto de vista mastozoológico (véase Pardiñas *et al.*, 2004).

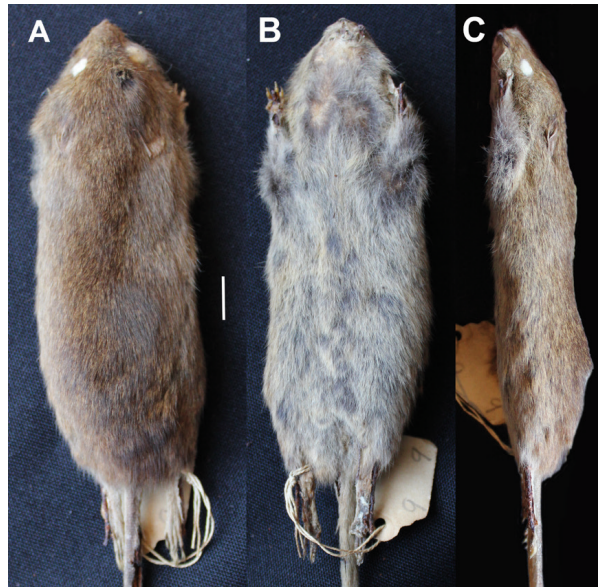


Figura 19 - *Miniakodon rumbolli* nov. sp. (CFA-MA-3339, holotipo) piel en vistas **A**, dorsal; **B**, ventral; **C**, lateral izquierda. Escala: 1 cm.

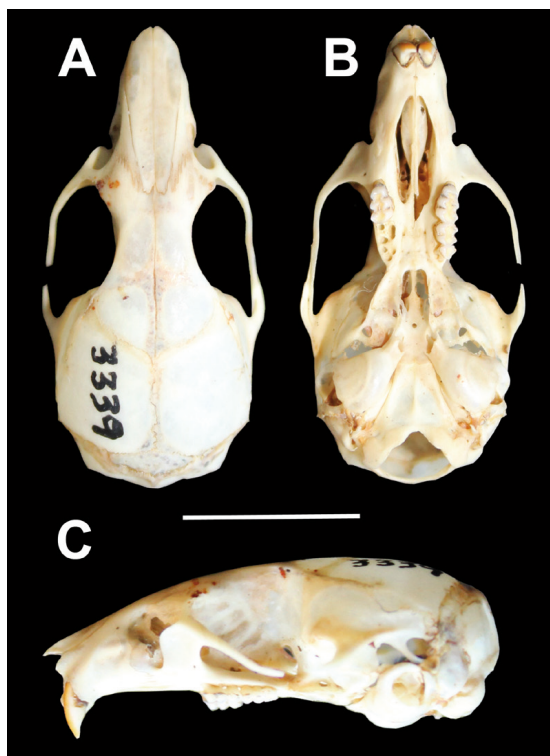


Figura 20 - *Miniakodon rumbolli* nov. sp. (CFA-MA-3339, holotipo) cráneo en vistas **A**, dorsal; **B**, ventral; **C**, lateral derecha. Escala: 1 cm.



Figura 21 - *Miniakodon rumbolli* nov. sp. (CFA-MA-3339, holotipo) vista oclusal de serie molar **A**, superior izquierda; **B** inferior derecha.

Miniakodon chebezi nov. sp.
 urn:lsid:zoobank.org:act:DDD0B6B9-AE90-4E1A-BF61-F215D60003B3

Holotipo. CFA-MA-12251. Argentina. Provincia de La Pampa. Depto. Utracán. Padre Buodo. 10 de Agosto de 1984. Col: Sergio Tiranti. LT: 155 mm; Co: 65 mm; O: 13 mm; P: 20 mm (Figuras 22-24).

Localidad tipo. Argentina. Provincia de La Pampa. Depto. Utracán. Padre Buodo.

Paratipos. CFA-MA-8306. Piel rellena. Argentina. Provincia de La Pampa. Depto. Capital. Santa Rosa, campus de la Universidad de La Pampa. 6 de Agosto de 1982. Col: Sergio Tiranti. LT: 163 mm; Co: 67 mm; O: 12 mm; P: 19 mm; Peso: 24 gr. CFA-MA-8307. Piel rellena. Argentina. Provincia de La

Pampa. Depto. Capital. Santa Rosa, campus de la Universidad de La Pampa. 6 de Agosto de 1982. Col: Sergio Tiranti. LT: 152 mm; Co: 63 mm; O: 13 mm; P: 17 mm; Peso: 17 gr. CFA-MA-8308. Piel rellena. Argentina. Provincia de La Pampa. Depto. Capital. Santa Rosa, campus de la Universidad de La Pampa. 6 de Agosto de 1982. Col: Sergio Tiranti. LT: 133 mm; Co: 55 mm; O: 11 mm; P: 16 mm; Peso: 11 gr. CFA-MA-8309. Piel rellena. Argentina. Provincia de La Pampa. Depto. Capital. Santa Rosa, campus de la Universidad de La Pampa. 30 de Julio de 1982. Col: Sergio Tiranti. LT: 157 mm; Co: 66 mm; O: 12 mm; P: 16 mm. CFA-MA-5565. Argentina. Provincia de La Pampa. Depto. Loventué. Luán Toro, Estancia "La Florida".

Diagnosis. Akodontino de pequeño tama-

ño distinguible sobre la base de la siguiente combinación única de caracteres: 1) pelaje lanoso y tupido de tonalidad anaranjada que se separa abruptamente de la coloración ventral; 2) vientre blancuzco, con un suave lavado de amarillo; 3) placa zigomática en vista dorsal poco divergente; 4) margen anterior de la placa zigomática suavemente oblícuo; y 5) proceso hamular largo y delgado.

Etimología. En honor a Juan C. Chebez (1962-2011) gran y prolífico naturalista argentino y conservador de la naturaleza. Sus obras han contribuido a la formación de numerosas generaciones de naturalistas argentinos.

Descripción. Tamaño pequeño. Cola más corta que cabeza y cuerpo. Orejas medianas y redondeadas. Pelaje largo y suave. La coloración dorsal es de un pardo castaño, entremezclado con pelos grisáceos, amarillentos y negruzcos que le dan un leve aspecto agutí. Presenta una línea media negruzca notable. Orejas muy claras, con tonalidad ocrácea. Los pelos del dorso son bi o tricolores: la base es gris y el resto amarillento o castaño o con punta negruzca. Flancos más amarillentos que el dorso. El límite entre los flancos y el vientre es muy abrupto. El vientre es de color gris ceniza con lavado de negro. Los pelos del vientre son bicolors, con base gris oscura y la punta blancuzca. El vientre siempre tiene un leve lavado amarillento. Sin mancha mentoniana blanca. Cola bicolor, oscura por arriba (formando una línea longitudinal parda), blancuzca debajo. Pelos que recubren los pies y manos blancuzcos.

Poco variables en coloración, aunque el amarillo del vientre varía y parece ser más abundante en los ejemplares jóvenes.

Cráneo relativamente ancho, con rostro alargado, arcos cigomáticos levemente expandidos y caja craneana muy globosa y abovedada. Nasaes bien desarrollados, poco divergentes anteriormente y en su extremo posterior alcanza el borde posterior de los premaxilares. Muesca cigomática

poco profunda y transversalmente estrecha. Región interorbitaria estrecha, con los márgenes cóncavos y bien divergentes hacia atrás. Crestas supraorbitarias ausentes. Sutura fronto-parietal con forma de "U" abierta con una leve proyección central en forma de cuña; interparietal bien desarrollado. Crestas temporales y mastoideas poco desarrolladas. En vista lateral el cráneo está bien curvado. Nasaes que sobrepasan el extremo anterior de premaxilares. Placa cigomática con borde anterior casi recto, y margen dorsal poco desarrollado. Fosa mesopterigoidea estrecha, con margen anterior en forma de lira, con bordes rectos y suavemente divergentes hacia atrás. Fosas parapterigoideas poco excavadas, poco divergentes posteriormente y estrechas. Bullas infladas, de tamaño grande, con tubo de Eustaquio poco saliente. Incisivos superiores bien opistodontes.

Comentarios. Se trata de una especie perteneciente a *Miniakodon* por su tamaño relativamente pequeño, y el cráneo con bóveda craneana amplia y transversalmente ancha, con crestas poco desarrolladas. Se asemeja a *M. rumbolli* nov. sp. en el pelaje lanoso y tupido, así como en la coloración general agutí. Sin embargo, se distingue por coloración general más anaranjada (grisácea en *M. rumbolli* nov.), dorso y flancos continuos bien separados con la coloración ventral (cambio más gradual en *M. rumbolli* nov.), placa zigomática en vista dorsal poco divergente (conformando una amplia muesca zigomática en *M. rumbolli* nov.), y el margen anterior de la placa zigomática suavemente oblícuo (el margen dorsal es más extenso y conforma una suerte de borde libre en *M. rumbolli* nov.). La bóveda craneana transversalmente ancha recuerda a aquella presente en *M. iniscatus*, del cual difiere sin embargo, en los restantes caracteres craneanos.

Por otro lado, *M. chebezi* nov. es muy semejante en rasgos craneanos a *M. azarae*, del que

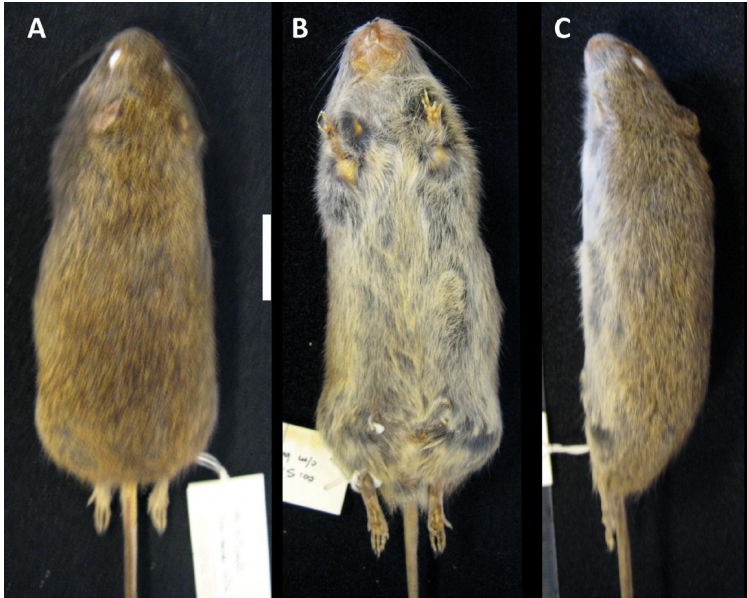


Figura 22 - *Miniakodon chebezi* nov. sp. (CFA-MA-12251, holotipo) piel en vistas **A**, dorsal; **B**, ventral; **C**, lateral izquierda. Escala: 1 cm.

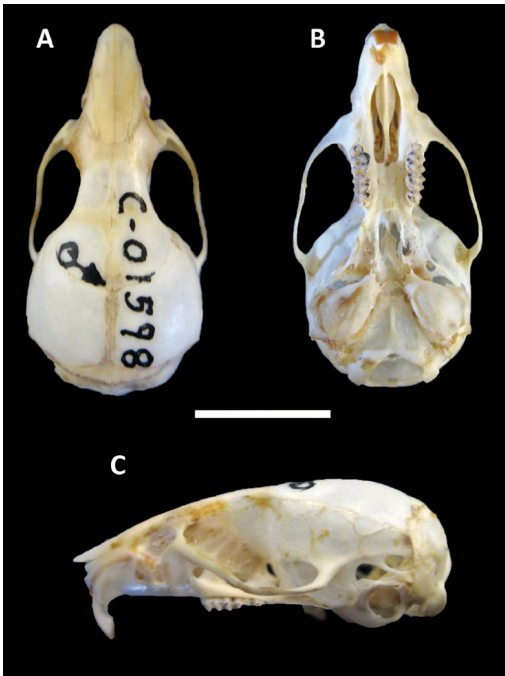


Figura 23 - *Miniakodon chebezi* nov. sp. (CFA-MA-12251, holotipo) cráneo en vistas **A**, dorsal; **B**, ventral; **C**, lateral izquierda. Escala: 1 cm.



Figura 24 - *Miniakodon chebezi* nov. sp. (CFA-MA-12251, holotipo) vista oclusal de serie molar **A**, superior derecha; **B** inferior derecha.

se distingue en algunos detalles anatómicos, como ser el proceso hamular largo y delgado (corto y robusto en *M. azarae*), el vientre muy blanzuzco, solo levemente lavado de amarillo (ocre en *M. azarae*), y el pelaje muy largo y suave.

Estos ejemplares se encontraban determinados por J.R. Contreras como *Akodon azarae* y es posible que a esta especie deban referirse los materiales que constituyen las citas de *A. azarae* en el norte de la provincia de La Pampa (Contreras, 1972; Contreras y Justo, 1974).

Miniakodon azarae pautassoi nov. spp.
urn:lsid:zoobank.org:act:DDD0B6B9-AE90-4E1A-BF61-F215D60003B3

Holotipo. CFA-MA-12261. Piel rellena y cráneo. Argentina. Provincia de Santa Fe. Depto. General Obligado. Las Palmas. 23 de Septiembre de 1984. Col: Yolanda Davies. LT: 155 mm; Co: 88 mm; O: 67 mm; P: 20,3 mm; Peso: 16 gr (Figuras 25-27).

Localidad tipo. República Argentina. Provincia de Santa Fe. Departamento General Obligado. Las Palmas. Corresponde a la Eco-región del Chaco Húmedo.

Paratipo. CFA-MA-12260. Piel rellena y cráneo. Argentina. Provincia de Santa Fe. Depto. Garay. Ruinas de Santa Fe La Vieja, Cayastá. 27 de Noviembre de 1987. Col: Yolanda Davies. LT: 167 mm; Co: 66 mm; O: 16,2 mm; P: 20 mm; Peso: 28 gr.

Diagnosis. Especie de akodontino de pequeño tamaño muy semejante a *M. a. azarae*, distinguible sobre la base de la siguiente combinación de caracteres: 1) tonalidad del pelaje marcadamente grisácea, especialmente en flancos y vientre; 2) dorso profundamente agutí; y 3) cráneo con región occipital transversalmente muy estrecha.

Etimología: En homenaje al naturalista santafecino Andrés Pautasso, quien contribuyó enormemente al conocimiento de la mastofauna provincial.

Descripción. Tamaño pequeño. Cola más corta que cabeza y cuerpo. Hocico grisáceo, algo amarillento. Orejas pálidas, con escasos pelos castaños en su interior. Pelaje corto y duro. La coloración dorsal es de un castaño oscuro con pelos ocre que le dan un aspecto agutí bien evidenciado, y que comienzan gradualmente a ser más abundantes hacia los flancos. Línea media no bien definida, excepto en la frente y hocico donde es negruzca y el agutí se diferencia mucho más. Los pelos del dorso son tricolores: la base es gris negruzca, el centro castaño y la punta ocre o amarillenta. Flancos mucho más amarillentos que el dorso, y se vuelven gris ceniza hacia abajo. El vientre es de color ceniza con un importante lavado de negruzco. Carece de la tonalidad ocre típica de *M. azarae*. La coloración entre el vientre y dorso cambia de manera gradual. Los pelos del vientre son bicolores: la base es gris negruzca y la punta blanzuzca o amarillenta. Anillo periocular oscuro. Los pelos que recubren manos y pies son gris-blanzuzcos. Cola bicolor, pardo negruzco arriba más pálida abajo.

Cráneo relativamente ancho, con rostro alargado, arcos cigomáticos levemente expandidos y caja craneana globosa y abovedada. Nasaes bien desarrollados, bien divergentes anteriormente y en su extremo posterior sobrepasan el borde posterior de los premaxilares. Muesca cigomática profunda y transversalmente amplia. Región interorbitaria estrecha, con los márgenes cóncavos y bien divergentes hacia atrás. Crestas supraorbitarias ausentes. Sutura fronto-parietal con forma de "U" abierta con una leve proyección central en forma de cuña; interparietal pequeño. Crestas temporales y mastoideas poco desarrolladas. En vista lateral el cráneo está levemente curvado. Nasaes sobrepasan el extremo anterior de premaxilares. Placa cigomática con borde anterior casi recto, y margen dorsal desarrollado. Fosa mesopterigoidea



Figura 25 - *Miniakodon azarae pautassoi* nov. ssp. (CFA-MA-12261, holotipo) piel en vistas **A**, dorsal; **B**, ventral; **C**, lateral derecha. Escala: 1 cm.

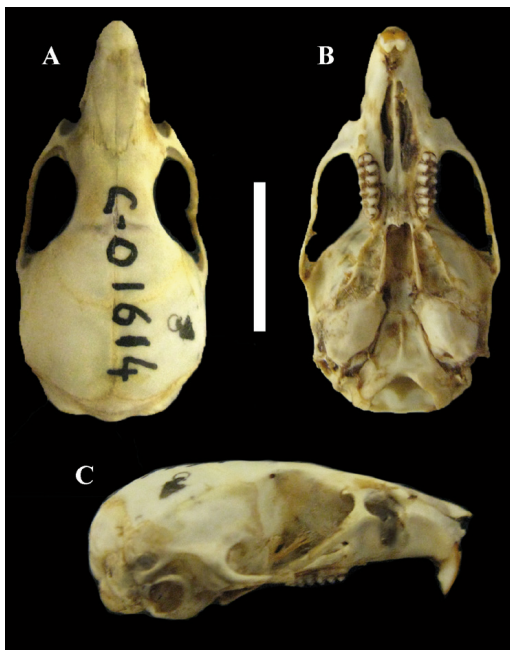


Figura 26 - *Miniakodon azarae pautassoi* nov. ssp. (CFA-MA-12261, holotipo) cráneo en vistas **A**, dorsal; **B**, ventral; **C**, lateral derecha. Escala: 1 cm.

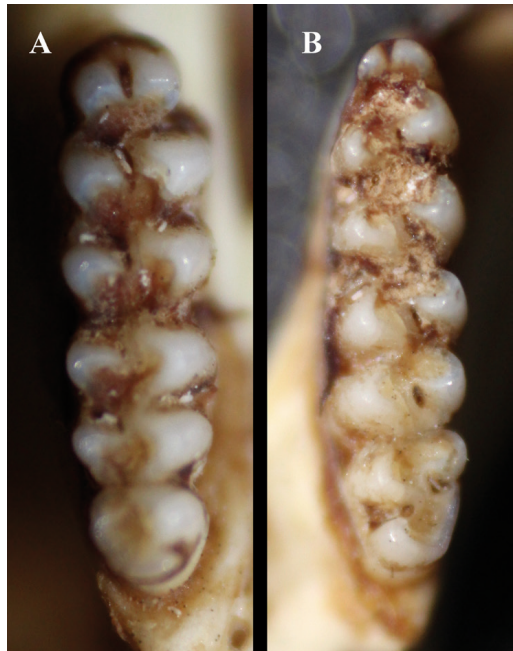


Figura 27 - *Miniakodon azarae pautassoi* nov. ssp. (CFA-MA-12261, holotipo) vista oclusal de serie molar **A**, superior derecha; **B** inferior izquierda.

estrecha, con margen anterior en forma de lira, con bordes rectos y suavemente divergentes hacia atrás. Fosas parapterigoideas poco excavadas, poco divergentes posteriormente y estrechas. Bullas infladas, de tamaño grande, con tubo de Eustaquio poco saliente. Incisivos superiores ortodontes.

Comentarios. *M. a. pautassoi* nov. presenta una combinación de rasgos anatómicos compartida con *M. a. azarae*, a la cual es muy semejante. El único rasgo craneano distintivo consiste en que *M. a. pautassoi* nov. posee una caja craneana transversalmente más estrecha e inflada, por lo que los arcos zigomáticos resultan ser más sobresalientes en sentido lateral que en la forma típica *M. a. azarae*. Por otro lado, la coloración externa distingue a *M. a. pautassoi* nov. de todas las formas del grupo. Su pelaje presenta un dorso profundamente agutí, con una tonalidad marcadamente gris en flancos y vientre. En este sentido, el color ventral gris homogéneo es distintivo de esta nueva forma y lo diferencia de otras especies emparentadas, como ser *M. bibiana*, *M. chebezi* y *M. phillipmyersi*.

Las profundas diferencias en la coloración externa sugieren que tal vez *M. a. pautassoi* nov. merezca el estatus de especie plena. Lamentablemente, debido a la escasez de material disponible, esta hipótesis podrá ser solo corroborada con el hallazgo de nuevos ejemplares y análisis anatómicos y moleculares en mayor detalle.

Sobre la base de la presente contribución, formas cercanamente relacionadas a *M. azarae* (y anteriormente identificadas con esta especie) se distribuyen en el oeste y sur de las regiones pampeana (*M. rumbolli* nov. y *M. chebezi* nov.), chaqueña (*M. a. pautassoi* nov.), litoral (*M. phillipmyersi*, *M. bibiana* nov.) y patagónica (*M. iniscatus*). Esto resulta en que la geonemia de *M. azarae* debe ser revisada en detalle, puesto que no es improbable, que la distribución geográfica real de

esta especie esté prácticamente restringida a los pastizales antropizados del este de la Región Pampeana.

Macroakodon nov.

urn:lsid:zoobank.org:act:38F775B3-3A4F-4BA1-B8CF-B03F4B18491E

Diagnosis. Grupo de especies de gran tamaño dentro de los akodontinos, diagnosticable sobre la base de las siguientes sinapomorfías: 1) longitud craneana mayor de 26 mm y dentaria maxilar mayor de 4 mm; 2) region interorbitaria de sección subrectangular, con márgenes filosos, recordando débiles crestas supraorbitarias; 3) rostro muy corto y ancho, fuertemente curvado en sentido ventral; 4) bóveda craneana no inflada, con crestas bien desarrolladas; 5) interparietal relativamente bien desarrollado y de contorno usualmente trapezoidal; 6) muescas zigomáticas amplias y profundas; 7) fosa mesopterigoidea ancha; 8) anillo amarillento rodeando los ojos; y 9) mentón con pelaje de color blanco puro (Myers, 1989; Hershkovitz, 1990; Myers *et al.*, 1990; Figura 14A).

Especie tipo. *Akodon dolores* Thomas

Etimología. *Macro*, del latín, significa grande. En alusión al gran tamaño relativo de las especies que conforman el género.

Especies incluidas. *A. glaucinus* Thomas, 1913, *A. simulator* Thomas, 1916, *A. tartareus* Thomas, 1919, *A. varius* Thomas, 1902, *A. dayi* Osgood, 1916, *A. toba* Thomas, 1921, *A. neocenus* Thomas, 1919, *A. dolores* Thomas, 1916, *M. naranja* nov., *M. calel* nov. y *M. calilegua* nov. Seguimos el criterio de Apfelbaum y Blanco (1984) en considerar *A. molinae* Contreras, 1968 como sinónimo de *A. dolores*, de acuerdo con nuestra propia revisión de los ejemplares tipo de la primera especie.

Según Braun *et al.* (2008) aquí debería ser incluido *A. iniscatus*, pero esta especie se

diferencia claramente en tamaño y morfología craneana y dentaria, lo que nos hace dudar de su inclusión en *Macroakodon* nov. En la presente contribución incluimos tentativamente *A. iniscatus* en el nuevo género *Miniakodon*.

Comentarios. *Macroakodon* nov. incluye a las mayores especies del género y se distribuye en tierras bajas y elevaciones medias de Bolivia, Paraguay y Argentina (Myers, 1989). Myers (1989) y Myers *et al.* (1990) definieron informalmente a este "grupo de especies *A. varius*", mientras que Hershkovitz (1990) ha llamado a este mismo como "*Akodon mollis* size-class". Por otro lado, Jayat *et al.* (2010), consideran al "grupo *varius*" como polifilético.

Sin embargo, aquí seguimos el criterio de Myers (1989) y Braun *et al.* (2008) en considerarlo un linaje monofilético, especialmente por los rasgos morfológicos compartidos y detallados en la diagnosis genérica.

Macroakodon naranja nov. sp.

urn:lsid:zoobank.org:act:E4243A89-A11D-47B9-894E-68949E9C3F50

Holotipo. CFA-MA-2867. Piel rellena y cráneo. Argentina. Provincia de Córdoba. Depto. Río Segundo. Laguna Larga. 8 de Septiembre de 1968. Col: Martha Piantanida. LT: 213 mm; Co: 96 mm; O: 18 mm; Peso: 66 gr (Figuras 28-30).

Localidad tipo. Argentina. Provincia de Córdoba. Depto. Río Segundo. Laguna Larga.

Paratipos. CFA-MA-2868. Piel rellena. Argentina. Provincia de Córdoba. Laguna Larga. 10 de Septiembre de 1968. Col: Martha Piantanida. LT: 184 mm; Co: 75 mm; O: 17 mm; P: 20 mm; Peso: 37 gr. CFA-MA-6828. Piel rellena. Argentina. Provincia de Córdoba. Depto. Río Segundo. Laguna Larga. CFA-MA-6987. Piel rellena. Argentina. Provincia de Córdoba. Laguna Larga.

Col: Martha Piantanida. CFA-MA-6988. Piel rellena. Argentina. Provincia de Córdoba. Laguna Larga. Col: Martha Piantanida. CFA-MA-6989. Piel rellena y cráneo. Argentina. Provincia de Córdoba. Laguna Larga. Col: Martha Piantanida. CFA-MA-6990. Piel rellena y cráneo. Argentina. Provincia de Córdoba. Laguna Larga. Col: Martha Piantanida. CFA-MA-6991. Piel rellena. Argentina. Provincia de Córdoba. Laguna Larga. Col: Martha Piantanida. CFA-MA-8215. Piel rellena. Argentina. Provincia de Córdoba. Laguna Larga. Col: Martha Piantanida. CFA-MA-7781. Piel rellena. Argentina. Provincia de Córdoba. Depto. Río Cuarto. Espinillo. CFA-MA-8165. Piel rellena y cráneo. Argentina, provincia de Córdoba, departamento Calamuchita, Río Grande. 21 de Octubre de 1981. Col: Jaime Polop y Torres. LT: 182 mm; Co: 82 mm; O: 14 mm; P: 21 mm; Peso: 30 gr.

Diagnosis. Especie de gran tamaño de *Macroakodon*, distinguible sobre la base de la siguiente combinación de caracteres (autapomorfías marcadas con un asterisco): 1) coloración dorsal del pelaje profundamente anaranjada, y vientre con tonalidad amarillenta pronunciada*; 2) incisivos superiores marcadamente opistodontes; 3) placas zigomáticas bien divergentes; y 4) nasales dirigidos dorsalmente*.

Etimología. naranja, adjetivo debido a la coloración dorsal apomórfica de la especie.

Descripción. Tamaño grande para el género. Cola más corta que cabeza y cuerpo, aunque relativamente larga. Orejas grandes y pálidas, con escasos pelos ocre en su interior. Mancha blanca en el mentón. Pelaje largo y suave. La coloración dorsal es de un ocre anaranjado, entremezclado con pelos pardos y amarillentos que le dan un leve aspecto agutí. Existe línea media parda, aunque poco definida. Los pelos del dorso son bicolores: la base es gris oscura y la punta ocre. Flancos más ocre que el dorso y una línea casi anaranjada separa de

manera abrupta la coloración dorsal de la ventral, con mayor cantidad de pelos pálidos. El vientre es de color amarillento con tonos ocráceos y un fuerte lavado de gris oscuro. Lados del hocico y anillo periocular ocre subido. Los pelos que recubren manos y pies son crema. Cola bicolor, parda arriba más pálida abajo.

Parece que la coloración naranja aumenta con la edad. Los juveniles son mucho más grises (más parecidos a *M. dolores*) y con el dorso muy pardo. Esto también ocurre en las hembras, pero el tono en estas es mucho más ocre. Aunque tanto en los juveniles como en las hembras la tonalidad naranja siempre existe, especialmente a los lados del hocico y detrás de las orejas. Juvenil con pelos de las patas más grises.

Cráneo relativamente ancho, con rostro corto y ancho, con arcos cigomáticos robustos y expandidos y caja craneana estrecha y poco globosa. Nasaes bien desarrollados, poco divergentes anteriormente y en su extremo posterior sobrepasa el borde

posterior de los premaxilares. Muesca cigomática profunda y transversalmente estrecha. Región interorbitaria ancha, con los márgenes casi rectos y suavemente divergentes hacia atrás. Crestas supraorbitarias presentes y bien desarrolladas. Sutura fronto-parietal con forma de "V"; interparietal poco desarrollado. Crestas temporales y mastoideas bien desarrolladas. En vista lateral el cráneo es casi recto. Nasaes sobrepasan el extremo anterior de premaxilares y se encuentran orientados dorsalmente, resultando en una abertura nasal relativamente amplia. Placa cigomática con borde anterior muy oblicuo, con el margen dorsal libre amplio. Fosa mesopterigoidea estrecha, con margen anterior cóncavo, con bordes rectos y suavemente divergentes hacia atrás. Fosas parapterigoideas amplias y poco excavadas, bien divergentes posteriormente. Bullas infladas, de tamaño grande, con tubo de Eustaquio saliente. Incisivos superiores fuertemente opistodontes.

Comentarios. El gran tamaño, sumado a

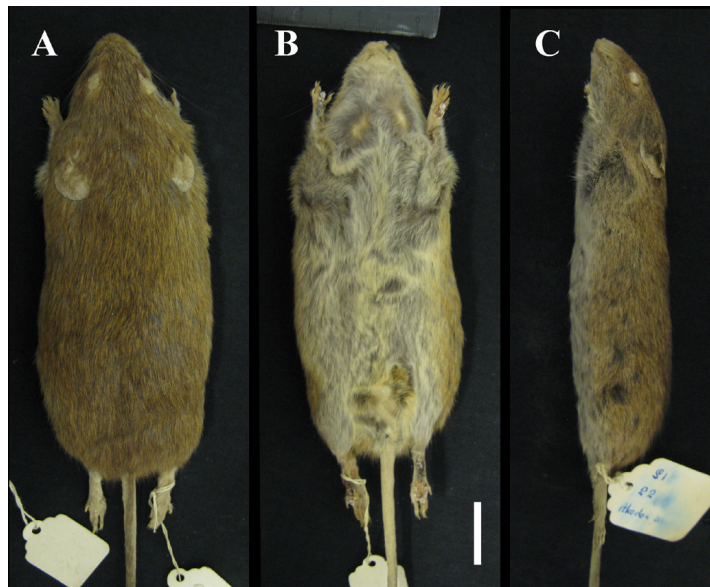


Figura 28 - *Macroakodon naranja* nov. sp. (CFA-MA-2867, holotipo) piel en vistas **A**, dorsal; **B**, ventral; **C**, lateral izquierda. Escala: 2 cm.

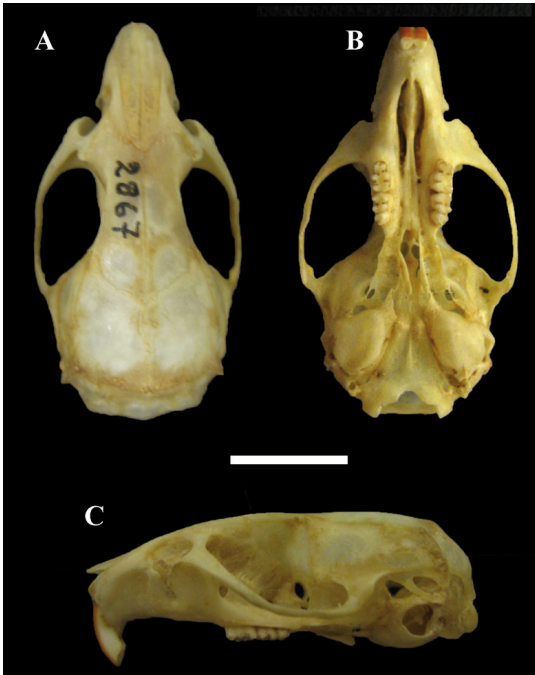


Figura 29 - *Macroakodon naranja* nov. sp. (CFA-MA-2867, holotipo) cráneo en vistas **A**, dorsal; **B**, ventral; **C**, lateral izquierda. Escala: 2 cm.



Figura 30 - *Macroakodon naranja* nov. sp. (CFA-MA-2867, holotipo) vista oclusal de serie molar **A**, superior derecha; **B** inferior izquierda.

los rasgos craneanos incluyendo el cráneo poco abovedado con crestas craneanas bien desarrolladas, indican que esta especie pertenece a *Macroakodon*. La combinación única de rasgos morfológicos permite reconocer fácilmente a esta nueva especie. *M. naranja* nov. se distingue de todas las especies conocidas por la coloración de tono anaranjado que exhibe en el dorso y el vientre de un pelaje amarillo fuerte. Asimismo, se diferencia de todas las especies del grupo por exhibir la combinación de una marcada opistodondia en los incisivos superiores y por presentar los nasales en vista lateral orientados dorsalmente, este último es un rasgo desconocido en otros miembros de Akodontina. La presencia de opistodondia en los incisivos superiores y la placa zigomática orientada lateralmente lo acercan a *M. varius* (Myers, 1989), especie con la cual posiblemente se encuentre relacionada. Sin embargo, la colo-

ración, así como los rasgos craneanos mencionados más arriba permiten diferenciar ambos taxones con relativa facilidad. Vale la pena remarcar que la especie *M. varius* se encuentra hoy restringida en su distribución a Bolivia (Myers, 1989) sin registros en Argentina (Teta *et al.*, 2018).

Los ejemplares disponibles de *Macroakodon naranja* nov. han sido clasificados originalmente por Julio Contreras y Elio Massoia como pertenecientes a la especie cercana *Akodon dolores*. Se distinguen de esta claramente no solo por la coloración, sino también por los rasgos craneanos, incluyendo los nasales dirigidos dorsalmente, incisivos superiores marcadamente opistodontes, meato auditivo pequeño y placas zigomáticas bien orientadas lateralmente, resultando en muescas zigomáticas más amplias (Myers, 1989). La misma combinación de caracteres permite distinguir a *M. naranja*

nov. de otras especies cercanas, como ser *M. simulator* y *M. glaucinus* (Myers, 1989; Myers *et al.*, 1990).

Macroakodon calel nov. sp.

urn:lsid:zoobank.org:act:E2889279-982D-4795-ACD3-C5486724BDD0

Holotipo. CFA-MA-12266. Piel rellena y cráneo. Argentina. Provincia de La Pampa. Lihuel Calel. 30 de Septiembre de 1988. Col: Osvaldo Reig. LT: 192 mm; Co: 80.24 mm; O: 17.24 mm; O: 22.09 mm; Peso: 33.5 gr (Figuras 31-33).

Localidad tipo. Argentina. Provincia de La Pampa. Lihuel Calel.

Diagnosis. Especie de akodontino de tamaño mediano-grande del género *Macroakodon* que se distingue de las restantes especies por la siguiente combinación de caracteres: 1) pelaje dorsal de color pardo agutí, sin línea media dorsal bien definida; 2) vientre gris con un fuerte lavado de negro; 3) cráneo con rostro muy elongado y agudo; 4) placa cigomática estrecha; 5) frontales posteriormente muy divergentes, resultando en un contorno subtriangular con el tercio posterior transversalmente muy ancho; y 6) incisivos superiores ortodontes.

Etimología. Calel, del araucano, el Parque Nacional Lihué Calel significa "sierra de la vida", localidad de donde procede el único ejemplar conocido de la nueva especie.

Descripción. Tamaño mediano-grande. Cola más corta que cabeza y cuerpo. Orejas medianas y redondeadas. Pelaje corto y duro. La coloración dorsal es de un pardo castaño, entremezclado con pelos grisáceos, amarillentos y negruzcos que le dan un fuerte aspecto agutí, aunque su tonalidad general es bien grisácea, a diferencia de *M. neocenus*. No presenta una línea media bien definida, aunque esta región es algo más oscura que el resto del dorso. Orejas claras, con tonalidad agutí. Los pelos del dorso son bi o tricolores:

la base es gris y el resto amarillento o con punta negruzca. Flancos más grisáceos que el dorso. El límite entre los flancos y el vientre es algo abrupto. El vientre es de color gris ceniza con un muy fuerte lavado de negro. Los pelos del vientre son bicolors, con base gris negruzca y la punta gris pálida o blanca. Cola bicolor, negruzca por arriba, blancuzca debajo. Pelos que recubren los pies y manos grises.

Cráneo relativamente estrecho y alargado, con rostro alargado, arcos cigomáticos levemente expandidos y caja craneana globosa. Nasales bien desarrollados, divergentes anteriormente y en su extremo posterior no sobrepasan el borde posterior de los premaxilares. Muesca cigomática superficial y transversalmente estrecha. Región interorbitaria ancha y divergente hacia atrás, con bordes redondeados en su porción anterior y algo más rectos en la posterior, formando márgenes filosos. Los frontales son de contorno subtriangular, muy expandidos transversalmente en su tercio posterior. Sutura fronto-parietal con forma de "U" abierta; interparietal reducido. Crestas temporales y mastoideas escasamente desarrolladas. En vista lateral el cráneo es apenas curvado. Nasales que sobrepasan el extremo anterior de premaxilares. Placa cigomática con borde anterior recto y margen dorsal reducido. Fosa mesopterigoidea de tamaño intermedio, con margen anterior recto, con bordes suavemente cóncavos. Fosas parapterigoideas relativamente excavadas, divergentes posteriormente y estrechas, casi tan anchas como la fosa mesopterigoidea. Bullas infladas, de tamaño grande, con tubos de Eustaquio cortos y amplios. Incisivos superiores ortodontes.

Comentarios. Los rasgos craneanos indican que esta nueva especie es referible al género *Macroakodon*. Por su coloración del pelaje, se acerca a la especie *Macroakodon neocenus*, ambas comparten un color pardo agutí dorsal (de reflejos azulados, según Myers,

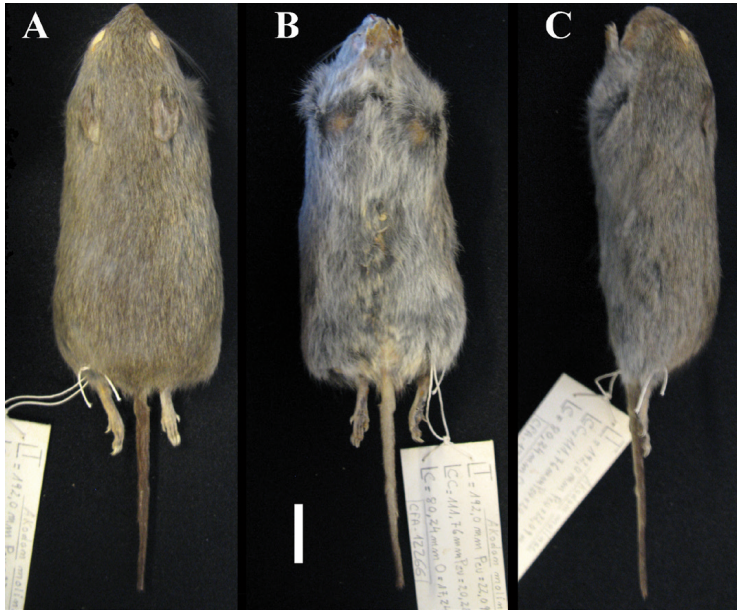


Figura 31 - *Macroakodon caelei* nov. sp. (CFA-MA-12266, holotipo) piel en vistas **A**, dorsal; **B**, ventral; **C**, lateral izquierda. Escala: 2 cm.

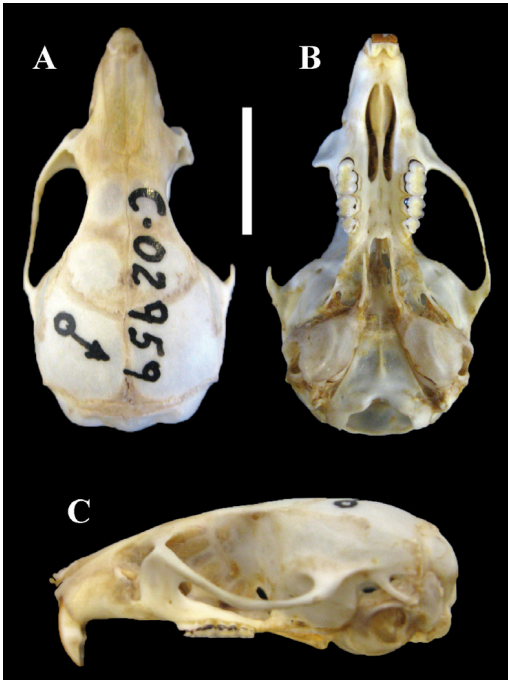


Figura 32 - *Macroakodon caelei* nov. sp. (CFA-MA-12266, holotipo) cráneo en vistas **A**, dorsal; **B**, ventral; **C**, lateral izquierda. Escala: 2 cm.

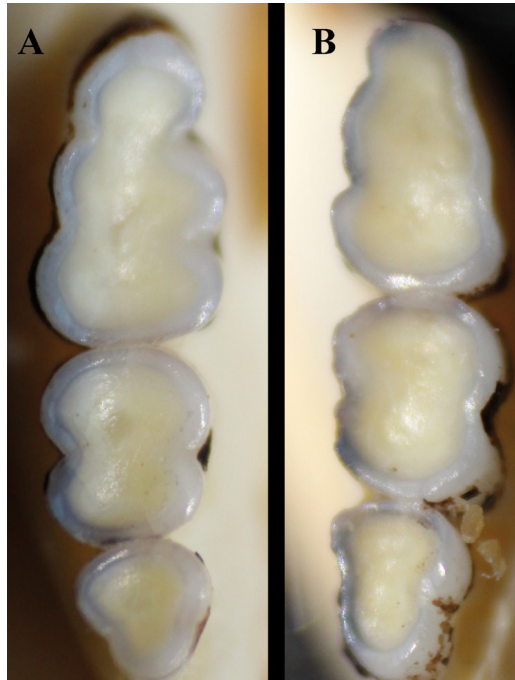


Figura 33 - *Macroakodon caelei* nov. sp. (CFA-MA-12266, holotipo) vista oclusal de serie molar **A**, superior derecha; **B**, inferior derecha.

pelos castaños en su interior. Pelaje mediano y suave. La coloración dorsal es de un castaño con algunos pelos ocre que comienzan gradualmente a ser más abundantes hacia los flancos y le dan una leve apariencia agutí. Flancos con mayor abundancia de pelos algo amarillentos e inclusive blancuzcos. Línea media oscura presente pero poco definida. Los pelos del dorso son bicolores: la base es gris negruzca, y el resto ocre. La coloración de los flancos se continúa de manera gradual con la del vientre. El vientre es grisáceo con un fuerte tono ocre (ausente en CFA-MA-4682), entremezclado con gris. Los pelos del vientre son bicolores: la base es negruzca y la punta ocre. Anillo periocular ocre. Los pelos que recubren manos y pies son amarillentos. Cola bicolor, parda arriba, blancuzca abajo.

El pelaje es más largo en algunos individuos (muda parcial en CFA-MA-4681 y CFA-MA-4682) de tonalidad más grisácea y vientre marcadamente blancuzco.

Cráneo relativamente estrecho y alargado, con rostro alargado, arcos cigomáticos levemente expandidos y caja craneana estrecha. Nasales bien desarrollados, poco divergentes anteriormente y en su extremo posterior sobrepasan el borde posterior de los premaxilares. Muesca cigomática profunda y transversalmente estrecha. Región interorbitaria ancha y divergente hacia atrás, con bordes redondeados en su porción anterior y algo más rectos en la posterior, formando márgenes filosos. Los frontales son de ancho relativamente homogéneo a lo largo de toda su longitud y están poco expandidos transversalmente en su tercio posterior. Sutura fronto-parietal con forma de "U" muy abierta; interparietal muy amplio y de contorno subrectangular, alcanzando la región mastoidea. Crestas temporales y mastoideas bien desarrolladas. En vista lateral el cráneo es casi recto, apenas curvado. Nasales no sobrepasan el extremo anterior de los premaxilares. Placa cigomática con borde

anterior recto y margen dorsal reducido. Forámenes incisivos muy extensos, posteriormente sobrepasando el nivel del hipoflexo del M1. Fosa mesopterigoidea de tamaño intermedio, con margen anterior formando una lira poco pronunciada, con bordes suavemente cóncavos. Fosas parapterigoideas relativamente bien excavadas, divergentes posteriormente y estrechas, casi tan anchas como la fosa mesopterigoidea. Bullas infladas, de tamaño grande, con tubos de Eustaquio cortos, amplios y muy salientes. Incisivos superiores opistodontes. Molares simplificados, muy hipsodontes.

Comentarios. Los caracteres craneanos de *M. calilegua* claramente lo incluyen dentro de *Macroakodon*. En este género, *M. calilegua* nov. se asemeja a las especies del "grupo *fumeus*" (*sensu* Myers y Patton, 1989), por presentar la coloración de los flancos continua con la coloración del vientre, la región interorbitaria con márgenes suavemente divergentes hacia atrás, sin crestas supraorbitarias definidas y fosa mesopterigoidea transversalmente ancha (Myers y Patton, 1989). Se trata de una especie que recuerda a *M. tartareus* y *M. fumeus*, todas ellas con coloración dorsal agutí con un fuerte tono rojizo (Myers y Patton, 1989). Vale la pena remarcar que Myers (1989) considera a *M. tartareus* como apenas una subespecie de *M. simulator*, debido a que carecía de series extensas de materiales para una comparación en detalle. La revisión de extensas colecciones de la forma *M. tartareus* permite sostener que se trata de una especie plena, perfectamente distinguible de *M. simulator* sobre la base de los caracteres citados por Myers (1989).

A pesar de las profundas similitudes con las especies antedichas, *M. calilegua* nov. exhibe una coloración general distintiva, con el dorso y flancos mucho más rojizos, y el vientre con un fuerte lavado de ocre anaranjado. Otro rasgo diferencial es la marcada hipsodoncia de los molares, una característica que no es compartida por especies cercanas



Figura 34 - *Macroakodon calilegua* nov. sp. (CFA-MA-4881, holotipo) piel en vistas **A**, dorsal; **B**, ventral; **C**, lateral izquierda. Escala: 2 cm.

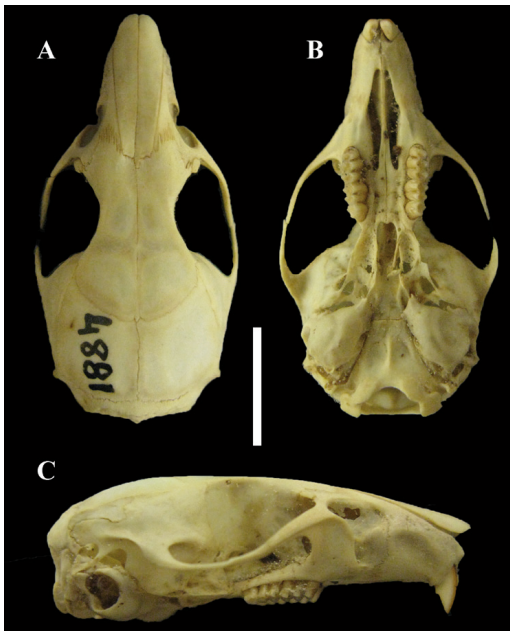


Figura 35 - *Macroakodon calilegua* nov. sp. (CFA-MA-4881, holotipo) cráneo en vistas **A**, dorsal; **B**, ventral; **C**, lateral derecha. Escala: 2 cm.



Figura 36 - *Macroakodon calilegua* nov. sp. (CFA-MA-4881, holotipo) vista oclusal de serie molar **A**, superior derecha; **B**, inferior derecha.

y que podría constituir una autapomorfía de la especie.

Específicamente se distingue de *M. tartareus*

(cuya localidad tipo es Tartagal, en la provincia de Salta), la especie a la cual más se asemeja morfológicamente, en presentar las

crestas parietales, supraorbitarias y nucales muy marcadas, los forámenes incisivos muy prolongados posteriormente, alcanzando el postcángulo del M1 y orejas muy pálidas.

Hasta el día de la fecha, *M. calilegua* nov., ha sido colectada únicamente en las selvas yungueñas del Parque Nacional Calilegua. Si bien una comparación con los ejemplares no ha sido efectuada, es posible que las citas de *M. varius*, *M. tartareus* y *M. fumeus*, realizadas por autores previos (Heinonen Fortabat y Bosso, 1983; Díaz, 2000; Jayat y Ortíz, 2010) para el Parque Nacional Calilegua deban referirse a esta nueva forma.

Subtribu Oxymycterina (Vorontzov, 1959)

nuevo rango

urn:lsid:zoobank.

org:act:207CB9D4-68D8-449C-8E0D-6A9A-418ACE4B

Diagnosis. Grupo de sigmodontinos de tamaño mediano a grande, fácilmente reconocibles y diagnosticables sobre la base de las siguientes sinapomorfías: 1) cráneo elongado y angosto; 2) nasales sobrepasan ampliamente el borde anterior de los incisivos, 3) nasales ensanchados anteriormente; 4) cola corta, con escasos anillos, siendo los mismos muy marcados; 5) incisivos delgados y débiles; 6) arcos cigomáticos no sobresalientes respecto a la caja craneal; 7) en vista lateral, la placa cigomática presenta un borde antero-superior redondeado e inclinado posteriormente; 8) molares proporcionalmente pequeños y simples (véase Massoia, 1963; Hershkovitz, 1966, 1994, 1998; Reig, 1987; Hinojosa et al., 1987).

Género tipo. *Oxymycterus* Waterhouse, 1837.

Géneros incluidos. *Oxymycterus* Waterhouse, 1837 y *Brucepattersonius* Hershkovitz, 1998. Posiblemente, los géneros *Lenoxus* Thomas, 1909 y *Juscelomys* Moojen, 1962 deban ser incluidos dentro de este linaje, tal como fuera propuesto por varios autores (Moojen, 1965; Reig, 1987).

Comentarios. Oxymycterina ha sido originalmente definida por Vorontzov (1959) y posteriormente reanalizada por Massoia (1983) como una Tribu plena. Ambos autores incluyeron dentro de los oxymycterinos a los géneros *Oxymycterus* y *Brucepattersonius* así como varias formas que hoy en día son incluidos en Abrotrichini (D'Elia et al., 2007; Teta et al., 2016).

En Argentina se reconocen hoy en día 4 especies dentro del género *Brucepattersonius* y 4 dentro de *Oxymycterus* (Teta et al., 2018). Luego de la revisión de numerosos materiales, procedentes de diversas localidades de nuestro país reconocemos dentro de *Brucepattersonius* unas tres especies para Argentina, todas ellas restringidas en su distribución a la provincia de Misiones.

En este sentido, la especie *B. iheringi* fue citada para la provincia de Misiones, Argentina, por primera vez por Massoia (1963; véase Massoia et al., 2012) quien es el único autor en citarla para nuestro país. En este sentido, Teta et al. (2018) siguiendo la redefinición de *B. iheringi* Jung y Christoff (2003), mantienen a esta especie dentro del elenco mastofaunístico de la Argentina. Por otro lado, Hershkovitz (1998) considera que esta especie debe ser excluida de la fauna argentina, lo cual es sostenido por Vilela et al. (2015; véase Pereira et al., 2005). Más recientemente, Mares y Braun (2000) describieron unas tres nuevas especies de *Brucepattersonius* para la provincia de Misiones (*B. paradisus*, *B. misionensis*, *B. guarani*, cada una de ellas basada en un solo ejemplar), y dudaron sobre la presencia de *B. iheringi* en la región. La oportunidad de revisar la totalidad de los materiales sobre los cuales Massoia estableció la presencia de esta especie en Argentina, permite concordar con la propuesta de su exclusión de la provincia de Misiones, tal como fuera adelantado por Mares y Braun (2000). De hecho, los materiales colectados por Massoia pueden referirse a las tres especies definidas por Mares

y Braun (2000; véase también Pardiñas *et al.* 2006; Massoia *et al.*, 2012).

De la especie *B. paradisus* se cuenta con un ejemplar (CEM 6101, Cuartel Río Victoria, Guaraní, Misiones, colectado el 16 de Agosto de 1978) que constituye el segundo conocido luego del holotipo. *B. paradisus* se distingue de otras especies del género por presentar en el cráneo los nasales proporcionalmente anchos, el hocico largo y robusto, la placa zigomática escasamente inclinada y las alas pterigoideas muy robustas (Figura 37). Externamente se diferencia por una tonalidad general fuertemente ocrácea, especialmente en los flancos y mentón y coloración rosácea del hocico en vista ventral (Figura 38).

Estos rasgos distinguen a *B. paradisus* de las especies semejantes *B. misionensis* y *B. guarani* (Mares y Braun, 2000). En este sentido, de acuerdo con la diagnosis original por Mares y Braun (2000) así como observaciones propias, *B. misionensis* (conocido

anteriormente solo por el individuo holotipo; CFA-MA-04979, hembra adulta de Cuartel Río Victoria, Guaraní, 21 al 29 de Julio de 1975; CFA-MA-02401, Dos de Mayo, Caingúas; CFA-MA-04571, Dos de Mayo, Caingúas; CFA-MA-02403, Dos de Mayo, Caingúas) se distingue de la cercana *B. guarani* (CFA-MA-04570, macho adulto, Dos de Mayo, Caingúas, 1974; CFA-MA-04978, hembra adulta, Cuartel Río Victoria, Guaraní, 21 al 29 de Julio de 1975; CFA-MA-07543, macho adulto, Cuartel Río Victoria, Guaraní, Junio 1980; CFA-MA-00279, macho adulto, Tobunas, San Pedro, 26 de Julio de 1959; CFA-MA-00280, hembra adulta, Tobunas, San Pedro, 6 de Agosto de 1959) en tener el tubo de eustaquio fuertemente inclinado ventralmente (subhorizontal en *B. guarani*) y en los nasales con una marcada expansión distal seguida proximalmente de una leve constricción (Figuras 39-42). De esta manera, reconocemos para Argentina las especies *B.*



Figura 37 - *Bucepattersonius paradisus* Mares y Braun, 2000 (CFA-MA-6101) piel en vistas **A**, dorsal; **B**, ventral. Escala: 2 cm.

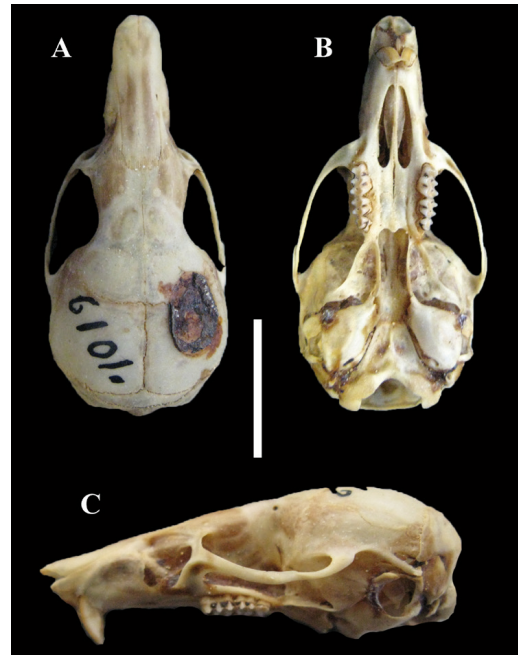


Figura 38 - *Bucepattersonius paradisus* Mares y Braun, 2000 (CFA-MA-6101) cráneo en vistas **A**, dorsal; **B**, ventral; **C**, lateral izquierda. Escala: 2 cm.

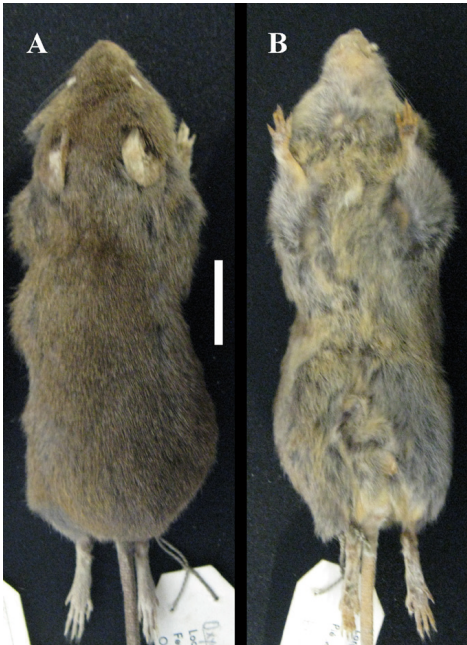


Figura 39 - *Brucepattersonius guarani* Mares y Braun, 2000 (CFA-MA-04978) piel en vistas **A**, dorsal; **B**, ventral. Escala: 2 cm.

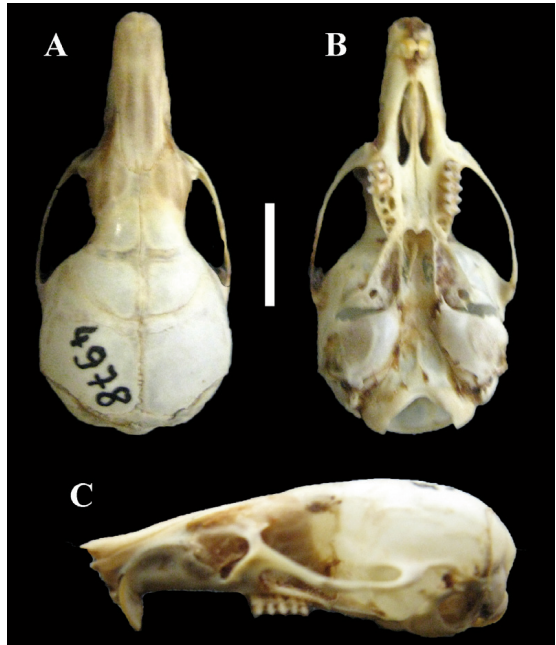


Figura 40 - *Brucepattersonius guarani* Mares y Braun, 2000 (CFA-MA-04978) cráneo en vistas **A**, dorsal; **B**, ventral; **C**, lateral izquierda. Escala: 2 cm.

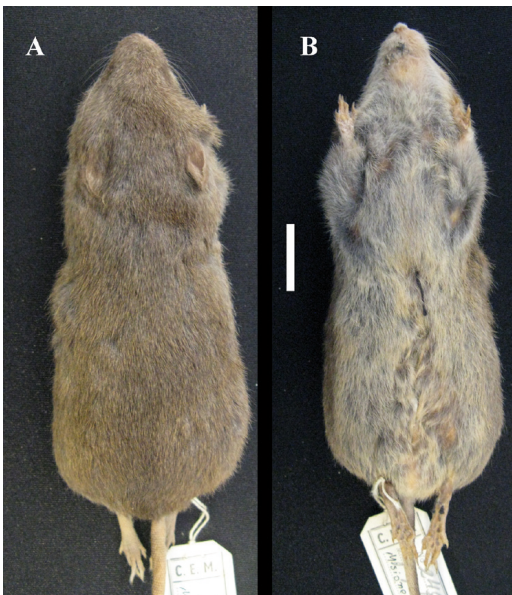


Figura 41 - *Brucepattersonius misionensis* Mares y Braun, 2000 (CFA-MA-04979) piel en vistas **A**, dorsal; **B**, ventral. Escala: 2 cm.

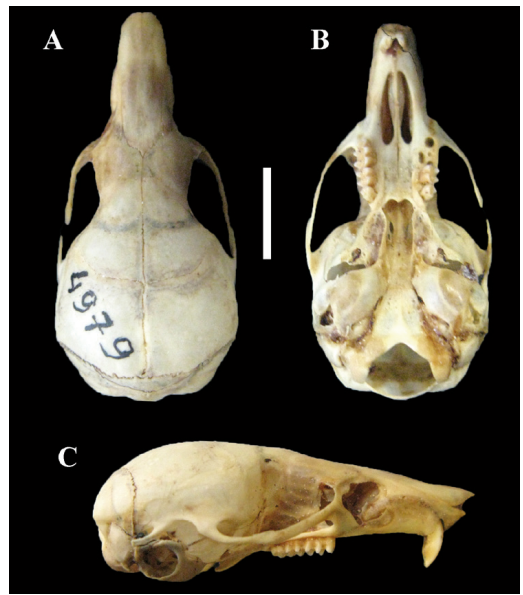


Figura 42 - *Brucepattersonius misionensis* Mares y Braun, 2000 (CFA-MA-04979) cráneo en vistas **A**, dorsal; **B**, ventral; **C**, lateral derecha. Escala: 2 cm.

guarani, *B. paradisus* y *B. misionensis*, de acuerdo a Mares y Braun (2000).

En lo que respecta al género *Oxymycterus*, Teta *et al.* (2018) registran las siguientes especies para Argentina: *O. paramensis* Thomas, 1902, *O. quaestor* Thomas, 1903, *O. rufus* (Fischer, 1814) y *O. wayku* Jayat *et al.* (2008). Trabajos en marcha por los autores de la presente contribución, sobre la base de la revisión de materiales de diversas localidades, permite proponer algunas adendas a este arreglo taxonómico (Figuras 43-44). Resultados preliminares son enumerados a continuación:

Oxymycterus platensis Thomas, 1914: Dentro de esta especie se incluyen la mayor parte de los materiales argentinos asignados con anterioridad a *O. rufus*. Asimismo, esta especie se distingue de *O. nasutus* (comparación con topotipos; véase Hoffmann *et al.*, 2002) en la placa zigomática más ancha y vertical, rama ascendente zigomática ancha, mayor tamaño craneano y crestas interorbitarias y constricción interorbitarias pobremente desarrolladas (Figura 44C).

Oxymycterus rufus Fischer, 1814: Esta especie cuenta con su localidad tipo en cercanías de San Ignacio, Paraguay (Contreras y Teta, 2003; D'Elia *et al.*, 2008). La revisión de materiales argentinos permite distinguirla de los materiales aquí referidos a *O. platensis* y *O. misionalis*. En este sentido, *O. rufus* se diferencia por su rostro muy corto y robusto y su coloración externa: dorso muy oscuro, de fondo negruzco y fuertemente agutí con abundante lavado de amarillento y poco rojizo, el vientre es entremezclado con amarillento, sin la tonalidad naranja presente en otras especies (Figuras 43 G, H; 44D). Específicamente se diferencia de *O. misionalis* por el cráneo de rostro más corto y premaxilares y nasales poco proyectados anteriormente con respecto a los incisivos, forámenes incisivos cortos y anchos y bullas timpánicas pe-

queñas y poco infladas. El dorso del cráneo en *O. rufus* forma una leve curvatura hacia abajo, en *O. misionalis* es recto.

O. rufus se distingue de *O. platensis* principalmente por la coloración del pelaje. Algunos rasgos craneanos que permiten diferenciarlos consisten en el rostro de base más ancha en *O. rufus*, el margen anterior de la placa zigomática levemente curvado (totalmente recto en *O. platensis*) y las concavidades que delimitan el proceso zigomático ascendente superficiales (más pequeñas y muy profundas en *O. platensis*).

La revisión de abundantes materiales de *Oxymycterus* permite restringir la presencia de *O. rufus* en nuestro país a la provincia de Corrientes (Materiales argentinos revisados: CFA-MA-13395 (C-04858), Estero Valenzuela, Capital, Corrientes; CFA-MA-13396 (C-04863), CFA-MA-13397 (C-04849), CFA-MA-13399 (C-04655), CFA-MA-13398 (C-04897), Laguna Pampín, Capital, Corrientes; Figuras 43 G, H; 44 D).

Oxymycterus misionalis Sanborn, 1931: La especie ha sido descrita originalmente en las cercanías de Caraguatay (Dpto. Montecarlo; Sanborn, 1931), y desde entonces citada para numerosas localidades en la provincia de Misiones. Se trata de una especie claramente distinguible de *O. rufus* y *O. platensis* por la fosa mesopterigoidea mucho más larga, muescas zigomáticas anchas (estrechas en las otras especies), placa zigomática orientada muy oblicuamente hacia atrás (subvertical en las otras especies), hocico extremadamente largo y ancho y muy expandido distalmente, orejas pardo claro (negruzcas en las otras especies), y cola de color pardo homogéneo (cola negruzca en las otras especies). Adicionalmente, es de tamaño consistentemente mayor (materiales argentinos revisados: CFA-MA-00269, CFA-MA-00270, Tobunas, San Pedro, Misiones; CFA-MA-05339, CFA-MA-06117, CFA-MA-05312, CFA-MA-06102, CFA-MA-05467,

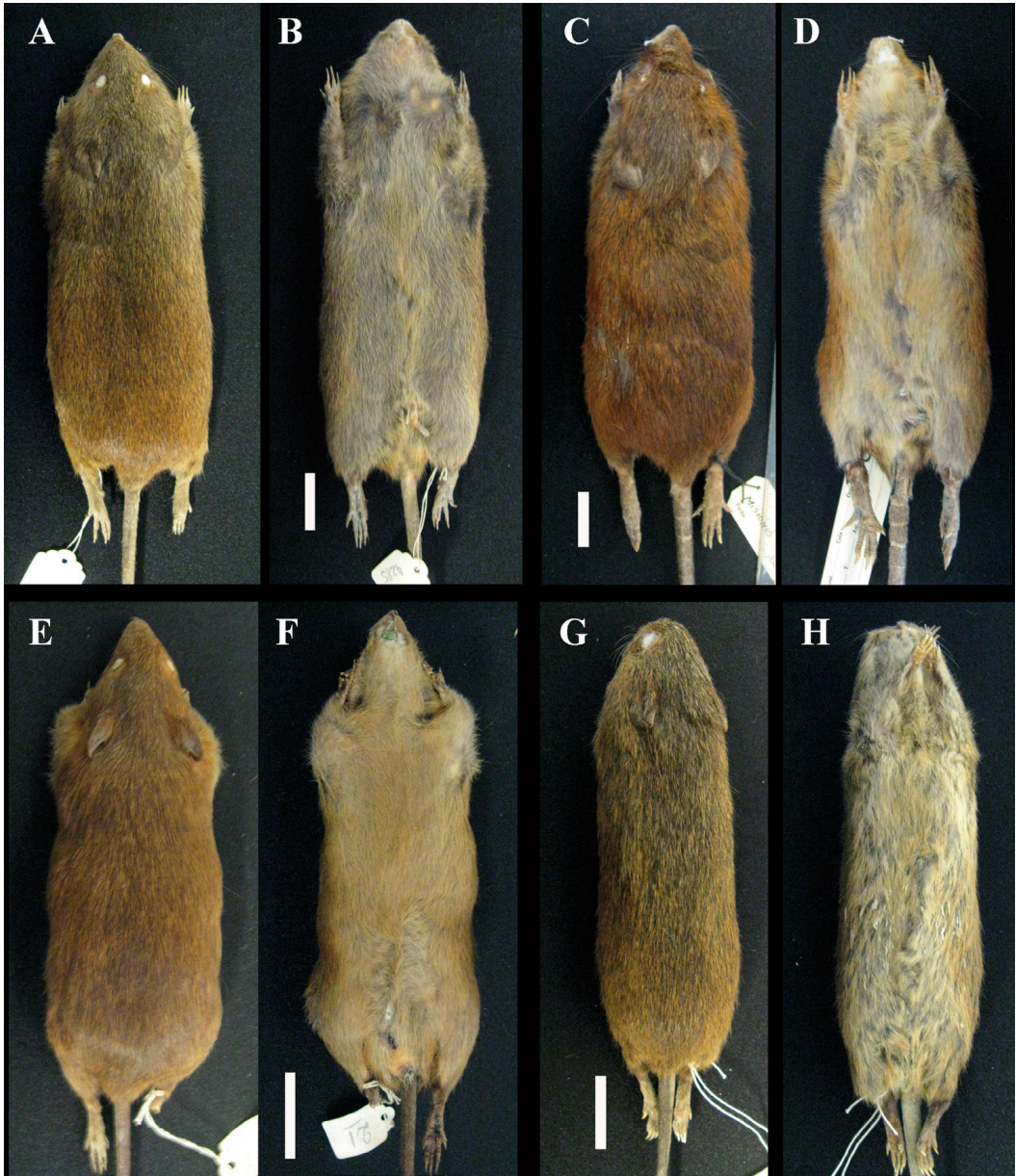


Figura 43 - Vistas dorsal (A,C,E,G) y ventral (B,D,F,H) de pieles de algunas especies del género *Oxymycterus*. **A,B**, *Oxymycterus akodontius* (CFA-MA-4285); **C,D**, *Oxymycterus misionalis* (CFA-MA-6116); **E,F**, *Oxymycterus platen-sis* (CFA-MA-5069); **G,H**, *Oxymycterus rufus* (CFA-MA-4849). Escala: 2 cm.

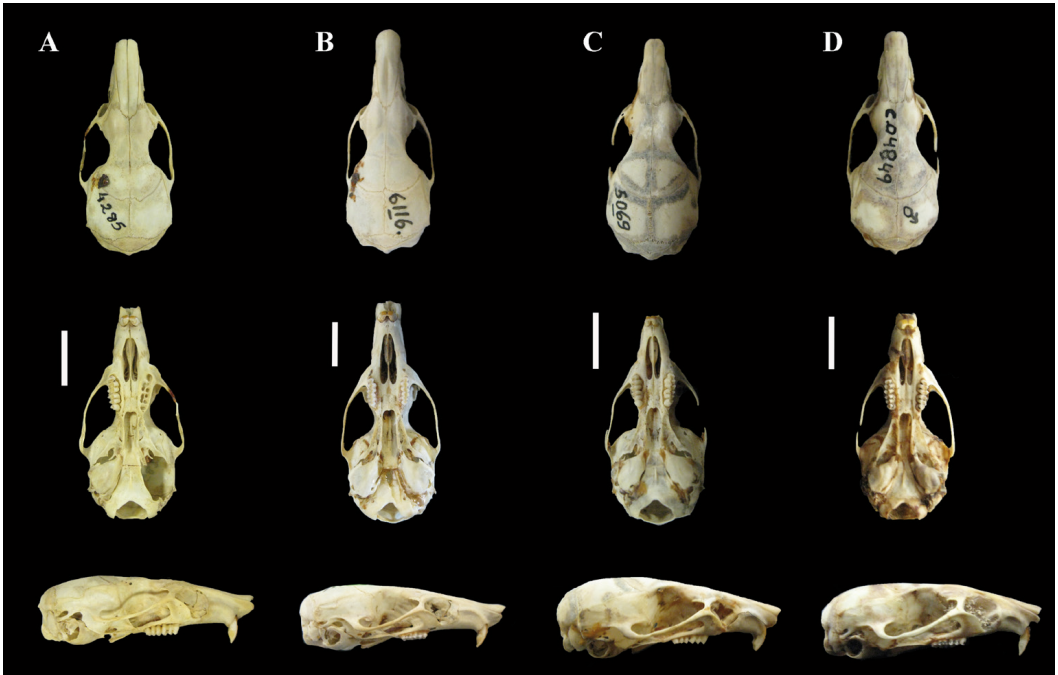


Figura 44 - Vistas dorsal (fila superior), ventral (fila media) y lateral derecha (fila inferior) de cráneos de algunas especies del género *Oxymycterus*. **A**, *Oxymycterus akodontius* (CFA-MA-4285); **B**, *Oxymycterus misionalis* (CFA-MA-6116); **C**, *Oxymycterus platensis* (CFA-MA-5069); **D**, *Oxymycterus rufus* (CFA-MA-4849). Escala: 2 cm.

CFA-MA-05803, CFA-MA-05329, CFA-MA-05450, CFA-MA-05890, CFA-MA-05311, CFA-MA-06116, CFA-MA-05825, CFA-MA-05826, CFA-MA-06074, Cuartel Río Victoria, Guaraní, Misiones; CFA-MA-02821, CFA-MA-03552, Villa Miguel Lanús (INTA), Capital, Misiones; CFA-MA-02393, CFA-MA-04574, CFA-MA-02394, Dos de Mayo, Caingúas, Misiones; CFA-MA-02755, CFA-MA-02754, Puerto Schwelm, Eldorado, Misiones; CFA-MA-09698, Campo Viera, Oberá, Misiones; CFA-MA-00725, Río Uruguay-í, Misiones; Figuras 43 C,D; 44 B).

Oxymycterus akodontius Thomas, 1921: Este taxón, junto con *O. paramensis jacentior* Thomas, 1925 y *O. wayku* Jayat *et al.*, 2008 son las únicas especies de este género citadas para el Noroeste Argentino (véase discusión en detalle en Jayat *et al.*, 2008). Tanto *O. akodontius* como *O. paramensis jacentior* son consideradas como conespecíficas y sinónimos de

O. paramensis (Cabrera, 1961; Hershkovitz, 1994; Honacki *et al.*, 1982; Reig, 1987; Vitullo *et al.*, 1986). Díaz (1999), sin embargo las considera distintas sobre la base de la coloración del pelaje.

La revisión de materiales de Argentina (ejemplares examinados: CFA-MA-03826, macho adulto, 27 kilómetros al Oeste de Agua Blanca, Orán, Salta, 16 de Julio de 1971; CFA-MA-04285, macho adulto, Orán, YPF, Orán, Salta, Julio 1973; CFA-MA-04115, macho adulto, 27 kilómetros al Noroeste de Agua Blanca, Orán, Salta, 22 de Julio de 1971; CFA-MA-03825, macho adulto, Agua Blanca, Orán, Salta, 16-Julio-1971; Figuras 43 A,B; 44 A) permite validar a *O. akodontius* Thomas, 1921 para las formas de *Oxymycterus* del norte de Argentina. Los ejemplares disponibles se distinguen claramente de *O. paramensis* (cuya localidad tipo se encuentra en el Departamento de Tarija, Bolivia; Tho-

mas, 1918) por su tamaño marcadamente mayor (ningún ejemplar disponible de *O. akodontius* es tan pequeño como aquellos de *O. paramensis*), pelaje corto y áspero, y placa zigomática anteroposteriormente expandida (estrecha en *O. paramensis*); adicionalmente, Jayat *et al.* (2008) indican marcadas diferencias a nivel molecular entre ambos taxones. De esta manera es posible que todos los ejemplares de Jujuy y Salta previamente incluidos dentro de *O. paramensis* podrían ser referidos a *O. akodontius*. De hecho, los ejemplares del Noroeste argentino referidos a *O. paramensis* deberían ser revisados en mayor detalle con la finalidad de corroborar si la especie efectivamente se encuentra presente en Argentina.

Oxymycterus Waterhouse, 1837

Oxymycterus contrerasi nov. sp.

urn:lsid:zoobank.org:act:2322C05E-0375-439A-8EB7-7E2A7652460F

Holotipo. CFA-MA-13392 (C-00793). Piel rellena y cráneo. Argentina. Provincia de Buenos Aires. Partido de General Pueyrredón, Arroyo Las Brusquitas. 8 de Noviembre de 1979. Col: O. Scaglia. LT: 262 mm; Co: 97 mm; O: 18 mm; P: 29 mm; Peso: 96 gr. Este ejemplar ha sido determinado previamente como *Oxymycterus rutilans* (sinónimo de *O. rufus*, Hershkovitz, 1994) por G. Scaglia (Figuras 45-47).

Paratipos. CFA-MA-13393 (Alby 003). Piel rellena. Argentina. Provincia de Buenos Aires. Partido de Ensenada. Camino Rivadavia, detrás de la central termoeléctrica a 1,5 km de Gases de Ensenada (camino a La Plata). 16 de Febrero del 2007. Col: Alby García López. Macho. LT: 250 mm; Co: 98 mm; O: 19; P: 20; Peso: 100 gr. CFA-MA-13394 (Alby 004). Piel rellena. Argentina. Provincia de Buenos Aires. Partido de

Ensenada. Punta Lara, camino a Villa Elisa borde de Reserva Natural "Punta Lara", cerca de la segunda entrada. 2 de Febrero del 2007. LT: 235 mm; Co: 100 mm; O: 20 mm; P: 27 mm; Peso: 70 gr.

Localidad tipo. Argentina. Provincia de Buenos Aires. Partido de General Pueyrredón. Arroyo Las Brusquitas.

Diagnosis. Especie cercanamente emparentada a *O. platensis*. Se distingue de esta y otras especies por la siguiente combinación de caracteres: 1) dorso de color negruzco, con línea media muy bien definida, 2) orejas negras, 3) cola unicolor negra, 4) margen anterior de la placa zigomática dorsoventralmente alto y poco inclinado posterior y lateralmente; 5) mandíbula con el cóndilo articular orientado externamente, y 6) cresta capsular del incisivo poco desarrollada y ubicada a la misma altura que la serie de molares.

Etimología. En honor al incansable investigador Julio R. Contreras Roqué (1933-2017). Gran parte de los ejemplares aquí descritos forman parte de las cuantiosas colectas llevadas adelante por este gran naturalista.

Descripción. Tamaño pequeño dentro del género. Cola mucho más corta que cabeza y cuerpo. Orejas pequeñas y redondeadas. Pelaje corto y duro. Muy homogénea en coloración. La coloración dorsal es de negruzca, especialmente en la línea media, entremezclada con pelos de color ocre subido, lo cual le da un llamativo aspecto agutí ausente en otras especies y semejante a *O. rufus*. Orejas oscuras, con pelos negros en su interior. Los pelos del dorso son bi o tricolores: la base es gris clara (que en muchos casos se vuelve negruzca más distalmente), el centro ocre subido, y la punta puede ser de ese mismo color o negruzca. Flancos mucho más ocre que el dorso. El límite entre los flancos y el vientre es gradual, aunque más abrupto que en especies cercanas. El vientre es de color ocre

brillante con un lavado de gris. Los pelos del vientre son bicolores, con base gris y el resto ocre. Los pelos que recubren manos y pies son ocráceos y negruzcos. Cola unicolor, negruzca.

Cráneo relativamente elongado y estrecho, de tamaño medio *sensu* Hershkovitz (1994). Nasales relativamente gruesos, redondeados distalmente y se proyectan anteriormente a los incisivos generando la forma de trompeta típica del género. Senos frontales poco desarrollados dorsalmente, más anchos que la constricción interorbitaria. Región interorbitaria con crestas supraorbitarias presentes. Muesca zigomática en vista dorsal visible. Bóveda craneana redondeada e inflada, con crestas supraoccipital y lambdaidea notorias. Placa zigomática relativamente ancha y de margen anterior muy oblícuo, divergente hacia la base. Forámenes incisivos elongados y se extienden hasta sobrepasar el procíngulo del M1. Interparietal pequeño,

de contorno subtriangular. Incisivos superiores opistodontes, con la cara anterior de color anaranjado amarillento.

Comentarios. Esta especie comparte con *O. rufus* y *O. platensis* el cráneo de rostro corto y con los nasales poco sobresalientes con respecto a los incisivos, las fosas anteorbitarias cortas y anchas y las bullas timpánicas pequeñas y poco infladas. Como fuera indicado más arriba ambas especies se diferencian entre si por detalles mínimos del cráneo, y más especialmente por la coloración externa. En este caso, *O. contrerasi* nov. se distingue claramente de ambas, y especialmente de la simpátrica *O. platensis* por rasgos generales de la coloración (Figura 48). En *O. contrerasi* nov. la cola es unicolor negra (parda en *O. platensis*), el dorso es muy oscuro, negruzco, especialmente a lo largo de la línea media (anaranjado con línea media parda en *O. platensis*), las orejas y patas son negruzcas (pardas en *O. platensis*), y el vientre exhibe

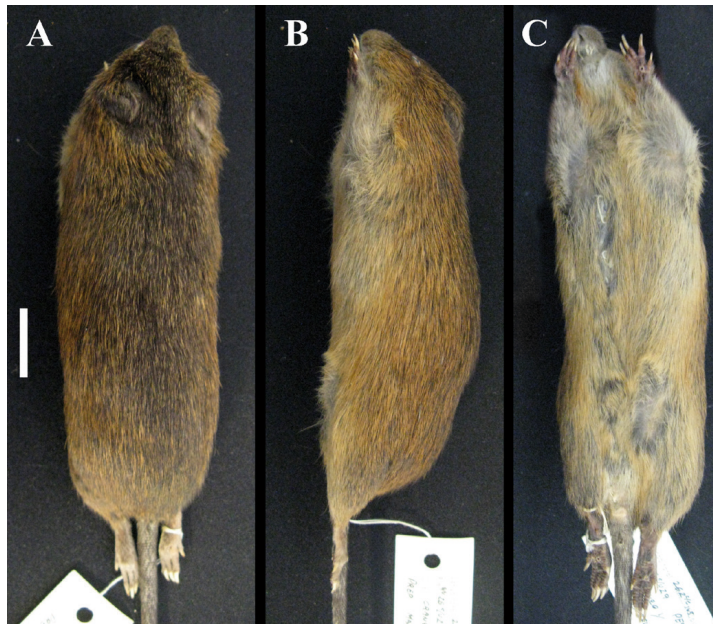


Figura 45 - *Oxymycterus contrerasi* nov. (CFA-MA-13392, holotipo) piel en vistas **A**, dorsal; **B**, lateral izquierda; **C**, ventral. Escala: 2 cm.

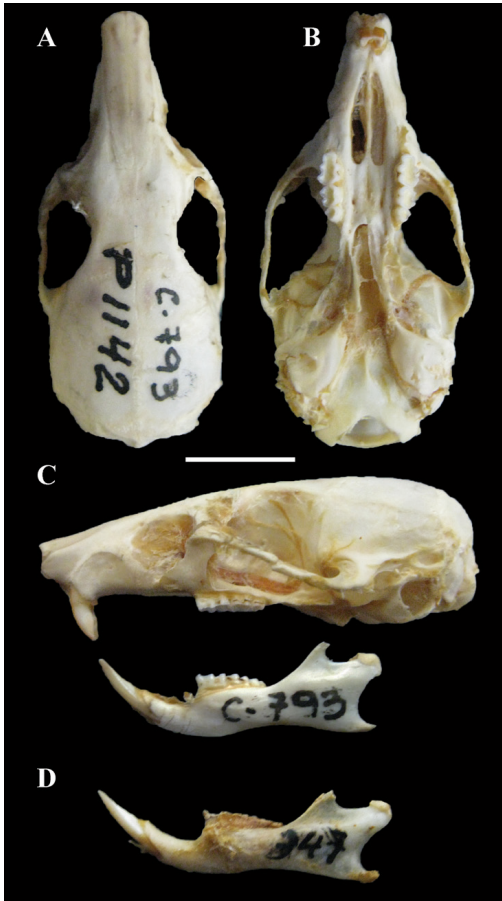


Figura 46 - *Oxymycterus contrerasi* nov. (CFA-MA-13392, holotipo) cráneo en vistas **A**, dorsal; **B**, ventral; **C**, lateral izquierda; **D**, vista lateral izquierda de mandíbula de *Oxymycterus platensis* (CFA-MA-347). Escala: 1 cm.

un lavado de pelos negruzcos (lavado de pelos pardos en *O. platensis*). Adicionalmente, rasgos craneanos permiten diferenciar ambos taxones: el margen anterior de la placa zigomática y margen posterior de la fosa preorbitaria son altos (bajos en *O. platensis*), mandíbula con el cóndilo articular orientado externamente (orientado dorsalmente en *O. platensis*) y cresta capsular del incisivo poco desarrollada y ubicada a la misma altura que la serie molar

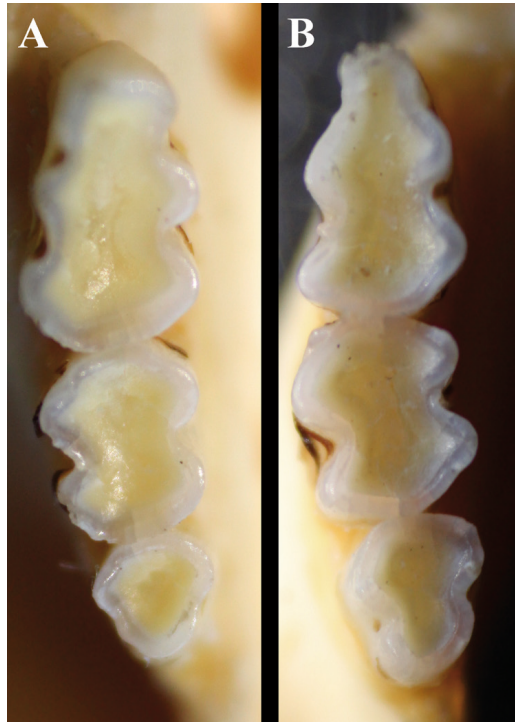


Figura 47 - *Oxymycterus contrerasi* nov. (CFA-MA-13392, holotipo) vista oclusal de serie molar **A**, superior derecha; **B**, inferior derecha.

(muy desarrollada y ubicada por debajo de la serie molar en *O. platensis*).

Por lo que se desprende de los escasos ejemplares disponibles, es posible inferir que *O. contrerasi* nov. es una especie con amplia distribución en la costa bonaerense, aunque con una demografía muy baja, puesto que entre los numerosos ejemplares bonaerenses del género *Oxymycterus* revisados, solamente tres son referibles a *O. contrerasi* nov. La coloración externa, muy diferente de la de otras especies simpátricas de *Oxymycterus* permite reconocerla fácilmente, y es posible que la revisión detallada de las extensas series de ejemplares alojados en instituciones argentinas resulte en el hallazgo de materiales adicionales de esta especie.

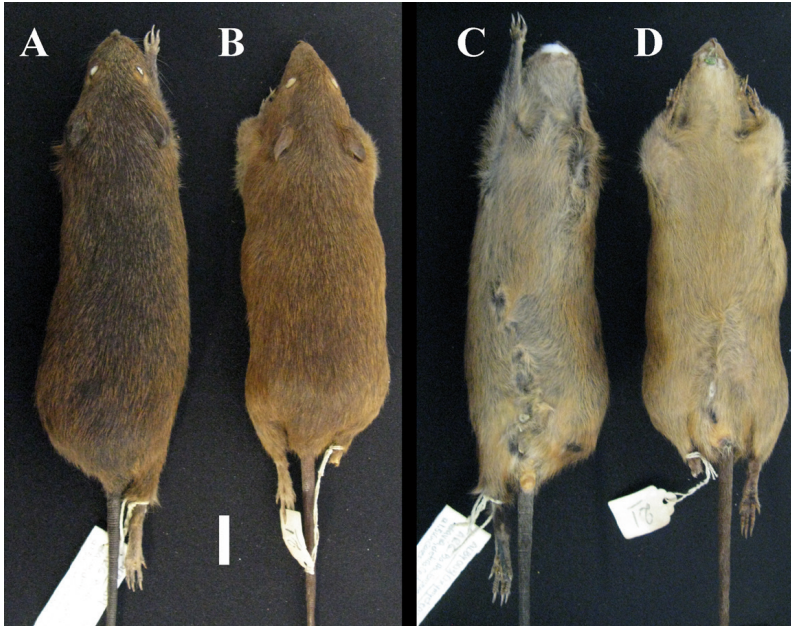


Figura 48 - *Oxymycterus contrerasi* nov. (CFA-MA-13394) piel en vistas **A**, dorsal; **B**, ventral. *Oxymycterus platensis* (CFA-MA-5069) piel en vistas **A**, dorsal; **B**, ventral. Escala: 1 cm.

Oxymycterus massoiaei nov. sp.

urn:lsid:zoobank.org:act:5FBB46F1-A428-4EB0-A990-29DA40E268ED

Holotipo. CFA-MA-3551. Piel rellena y cráneo. Argentina. Provincia de Misiones. Departamento Capital. Villa Lanús (INTA). 11 de Febrero de 1971. Col: Elio Massoia. LT: 267 mm; Co: 100; O: 18 mm; P: 28 mm; Peso: 120 gr (Figuras 49-51).

Paratipo. CFA-MA-3552. Piel rellena y cráneo. Argentina. Provincia de Misiones. Departamento Capital. Villa Lanús (INTA). 11 de Febrero de 1971. Col: Elio Massoia. LT: 225 mm; Co: 100 mm; O: 18 mm; P: 28 mm; Peso: 64 gr.

Localidad tipo. Argentina. Provincia de Misiones. Departamento Capital. Villa Lanús (INTA).

Diagnosis. Especie del género *Oxymycterus* de tamaño mediano diagnosticable sobre la base de la siguiente combinación de

caracteres (autapomorfías marcadas con un asterisco): 1) cráneo corto y robusto, de hocico ancho y con los nasales no sobrepasando el nivel anterior de los premaxilares*; 2) coloración dorsal ocre, más oscura en la línea media; y 3) vientre muy pálido, casi blanco*.

Etimología. En honor al mastozoólogo Elio Massoia (1936-2001). Gran parte de los ejemplares aquí descritos forman parte de la colección llevada adelante por este gran naturalista. Sus esfuerzos no solo consolidaron el conocimiento de roedores sigmodontinos en Argentina, sino también, sus colecciones constituyen una referencia para el conocimiento del grupo en América del Sur.

Descripción. Tamaño mediano dentro del género. Cola mucho más corta que cabeza y cuerpo. Orejas pequeñas y redondeadas. Pelaje corto y duro. Muy homogénea en coloración. La coloración dorsal es ocre, más oscura en la línea media, la cual se encuen-



Figura 49 - *Oxymycterus massoi* nov. (CFA-MA-3551, holotipo) piel en vistas **A**, dorsal; **B**, ventral. Escala: 2 cm.

tra bien marcada, entremezclada con pelos de color ocre subido. Orejas claras, con pelos pardos en su interior. Los pelos del dorso son bi o tricolores: la base es pardo clara, el centro ocre subido, y la punta puede ser algo negruzca. Flancos mucho más ocre que el dorso. El límite entre los flancos y el vientre es más abrupto que en *O. platensis*. El vientre es de color ocre amarillento, con un lavado de blancuzco. Los pelos del vientre son unicolores amarillentos o blancuzcos. Los pelos que recubren manos y pies son blancuzcos ocráceos. Cola unicolor, parda. El ejemplar 3552, que parecería ser juvenil se distingue por la cola más clara, mientras que en el adulto es negruzca.

Cráneo relativamente elongado y estrecho, de tamaño medio *sensu* Hershkovitz (1994). Nasaes relativamente gruesos, redondeados distalmente y se proyectan anteriormente a los incisivos dando la forma de trompeta típica del género. La proyección anterior de los nasaes no supera el nivel de los premaxilares y en su conformación coinciden con el “grupo *rufus*” de Gonçalves y



Figura 50 - *Oxymycterus massoi* nov. (CFA-MA-3551, holotipo) cráneo en vistas **A**, dorsal; **B**, ventral; **C**, lateral izquierda. Escala: 1 cm.

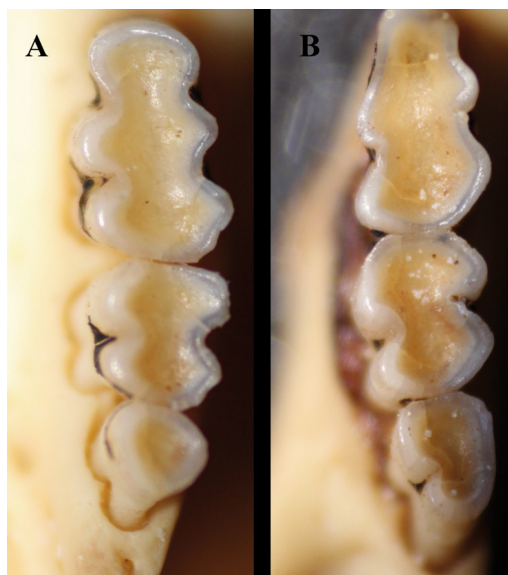


Figura 51 - *Oxymycterus massoi* nov. (CFA-MA-3551, holotipo) vista oclusal de serie molar **A**, superior izquierda; **B**, inferior izquierda.

de Oliveira 2004. Senos frontales no inflados, poco más anchos que la constricción interorbital. Región interorbital con crestas supraorbitarias presentes. Muesca zigomática en vista dorsal bien desarrollada. Bóveda craneana redondeada, con crestas supraoccipital y lambdaidea muy pronunciadas. Placa zigomática relativamente ancha y de margen anterior casi recto, convexo. Forámenes incisivos elongados y sobrepasando holgadamente el procíngulo del M1. Interparietal grande, de contorno subtriangular. Incisivos superiores ortodontes, con la cara anterior de color anaranjado amarillento.

Comentarios. *Oxymycterus massoiai* es una especie distintiva, muy diferente de las restantes especies que habitan la provincia de Misiones y zonas limítrofes. Se diferencia claramente de la simpátrica *Oxymycterus misionalis* en la coloración del vientre muy pálida, casi blanca, de hecho, carece de los pelos negruzcos que poseen la gran mayoría de las especies del género, incluyendo *O. platensis* y *O. rufus*. Asimismo, el canela del vientre es menos marcado que en las restantes especies del género. Por otro lado, los rasgos del cráneo distinguen también a *O. massoiai* nov. sp. de otros taxones del género. Su cráneo corto y robusto, lo que se observa especialmente en el hocico y en la escasa prolongación anterior de los nasales, lo que lo distingue a primera vista de todas las especies conocidas, incluyendo *O. platensis*, *O. rufus*, *O. misionalis* y *O. jacentior* (véase Hershkovitz, 1994, 1998; Gonçalves y de Oliveira 2004; Jayat *et al.*, 2008). En este sentido, *O. massoiai* nov. es una especie fácilmente diferenciable y diagnosticable sobre la base de rasgos craneanos y somáticos.

En esta especie se incluyen los registros previos de *O. rufus* para la provincia de Misiones (véase Massoia *et al.*, 2012). La especie parece encontrarse restringida a los campos del sur misionero (Massoia *et al.*, 2012) y junto con *Miniakodon phillipmyersi* (Pardiñas *et al.*, 2005) constituyen los únicos micromamí-

feros endémicos descritos para esa Ecorregión.

Tribu Phyllotini Vorontzov, 1959
Calomys Waterhouse, 1837

Comentarios. Desde la clásica obra de Hershkovitz (1962) las especies del género *Calomys* se separan en dos grupos de tamaño: las especies mayores o “grupo *callosus*” y las especies menores (Corti *et al.*, 1987; Salazar-Bravo *et al.*, 2001; Almeida *et al.*, 2007; Bonvicino *et al.*, 2010). Los nuevos taxones aquí descritos se incluyen dentro del grupo de especies de menor tamaño o “complejo *C. laucha/C. musculus*”, que se caracterizan



Figura 52 - *Calomys tener*, cráneo incompleto con los nasales y parte del basicráneo reconstruido con yeso (CFA-MA-9577) en vistas **A**, dorsal; **B**, ventral; **C**, lateral derecha. Escala: 1 cm. Este ejemplar es el único material de referencia de la especie conocido para Argentina. Procede de la localidad de Campo Ramón, en el departamento de Oberá, Misiones (véase Massoia *et al.*, 2006; Chimento y Agnolin, 2015).

por presentar la siguiente combinación de rasgos: tamaño pequeño (oreja siempre menor a 16 mm; longitud craneana siempre menor a 26 mm), cola relativamente larga, placa y muescas zigomáticas estrechas, caja craneana muy abovedada, con crestas poco diferenciadas, y crestas supraorbitarias ausentes o reducidas (Herskovitz, 1962; Stepan, 1995; Contreras *et al.*, 2003; Bonvicino *et al.*, 2010). El grupo de especies pequeñas de *Calomys* ha sido estudiado en gran detalle por Massoia y colaboradores en diversas contribuciones (Massoia y Fornes, 1965a,b; 1966; Massoia *et al.*, 1968; Massoia *et al.*, 2012) así como por Contreras y Rossi (1980) y Herskovitz (1962). Esto resultó en el reconocimiento de 3 especies pertenecientes al complejo de *Calomys* de menor tamaño: *C. laucha* (Fischer, 1914), *C. musculus* (Thomas, 1913) y *C. lepidus* Thomas, 1884

(Teta *et al.*, 2018). *C. tener* (Winge, 1887) fue citado por Massoia (1988) para Misiones y su presencia luego confirmada por González *et al.* (2014) y Chimento y Agnolin (2015) (Figura 52).

Con respecto al grupo de las especies de mayor tamaño, Teta *et al.* (2018) citan unas 4 especies, distinguiendo las formas *C. callosus* (Rengger, 1830) y *C. callidus* (Thomas, 1916), que fueran consideradas como posibles sinónimos por Contreras *et al.* (2003). La abundante colección de ejemplares alojados en las colecciones de CFA-MA-permite distinguir morfológicamente ambas especies de acuerdo a Teta *et al.* (2018). *Calomys callosus* se distingue de *C. callidus* y otras especies del grupo por su cráneo ancho y globoso y crestas parietales muy poco desarrolladas y bajas. Por otro lado, *C. callidus* se diferencia de *C. callosus* por su vientre gris blancuzco,

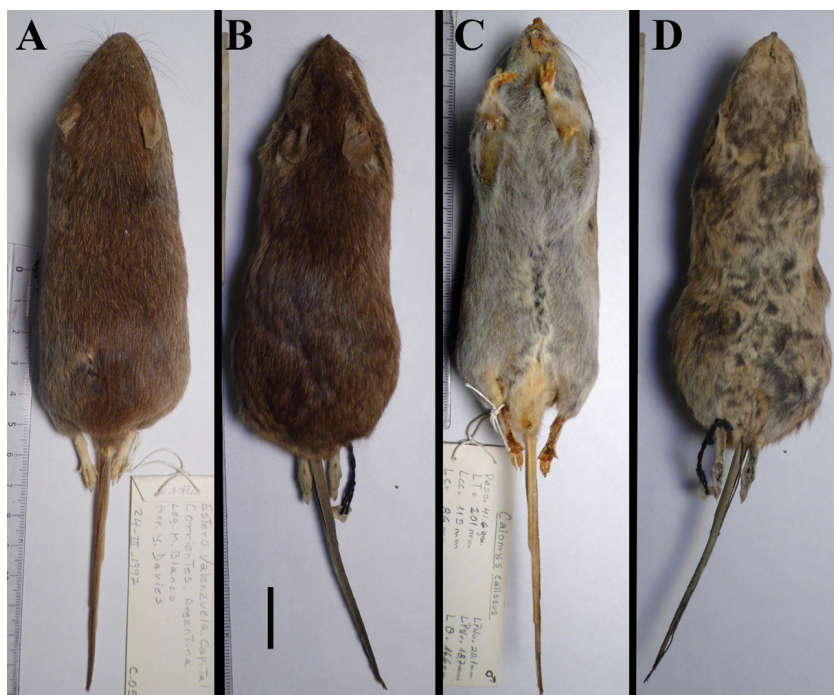


Figura 53 - Comparación entre pieles de *C. callidus* (A,C; CFA-MA-05185) y *C. callosus* (B,D; CFA-MA-448) en vistas: A,B, dorsal; C,D, ventral. Escala: 2 cm.

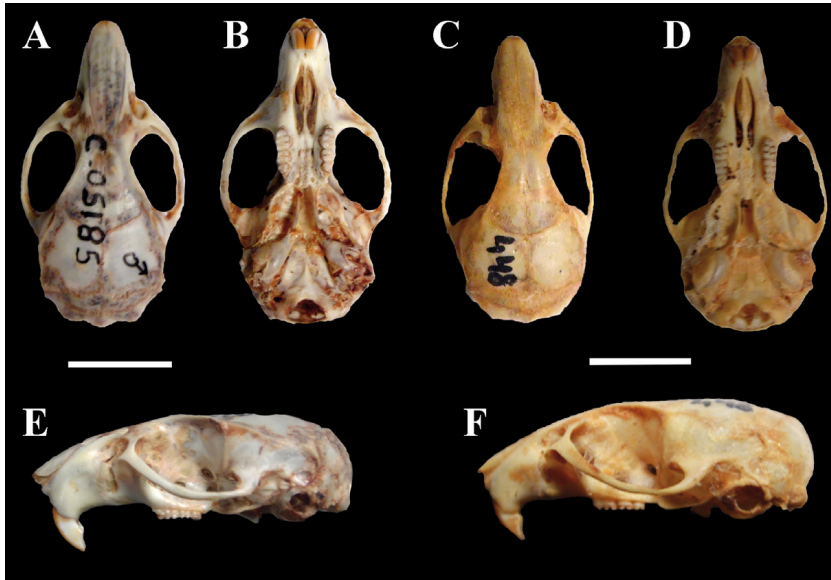


Figura 54 - Comparación entre cráneos de *C. callidus* (A,B,E; CFA-MA-05185) y *C. callosus* (C,D,F; CFA-MA-448) en vistas: **A,C**, dorsal; **B,D**, ventral; **E,F**, lateral izquierda. Escala: 1 cm.

mejillas grises y el extremo del hocico de un tono ocre fuerte (Figura 53). El cráneo se distingue de *C. callosus* y *C. venustus* en la extensión posterior de las crestas parietales de orientación subhorizontal, región temporal del cráneo es dorsoventralmente alta, bullas timpánicas muy elongadas, con una marcada concavidad en su margen anterolateral (Figura 54). Estos rasgos en conjunto permiten distinguir las especies *C. callidus* de *C. callosus*.

Calomys apostoli nov. sp.

urn:lsid:zoobank.org:act:CE338625-8B3C-49A0-BB4B-C876CE741C9E

Holotipo. CFA-MA-3509. Piel rellena y cráneo. Argentina. Provincia de Buenos Aires. Partido de Villarino. Hilario Ascasubi. Col: Elio Massoia y Antonia de Simone. LT: 178 mm; Co: 86 mm; O: 15 mm; P: 18 mm; Peso: 27 gr (Figuras 55-56). Este ejemplar ha sido mencionado por Massoia (1973) como *Calomys* sp. (en estudio). Es posible que dicho

autor haya intuido la posibilidad de una distinción taxonómica entre el presente espécimen y las especies cercanas *C. laucha* y *C. musculinus*.

Localidad tipo. Argentina. Provincia de Buenos Aires. Partido de Villarino. Hilario Ascasubi. Recolectado en una zona de pastizales y pajonales en terrenos bajos, con influencia marcada del Monte Occidental, con campos destinados al pastoreo de ganado y parches de bosques de Chañares (*Geoffroea decorticans*) (Massoia, 1973).

Diagnosis. Especie pequeña, del grupo “*C. laucha*-*C. musculinus*”, diagnosticable sobre la base de la siguiente combinación única de caracteres (autapomorfías marcadas con un asterisco*): 1) cola más corta que longitud de cabeza+cuerpo; 2) pelaje del dorso pardo pálido con una ancha franja dorsal bien definida*; 3) vientre color gris pálido; 4) cráneo robusto, de rostro notablemente corto y ancho*; 5) crestas occipitales bien desarrolladas*; 6) hileras superiores de molares subparalelas entre si; y 7) crestas supraorbitarias notables*.

Etimología. En honor al naturalista y taxidermista Ince Apostol.

Descripción. Tamaño mediano. Cola más corta que cabeza y cuerpo, pero más larga que en *C. laucha*. Orejas medianas y redondeadas. Vibrisas blancas, cortas y suaves, alcanzan ocasionalmente el margen anterior de las orejas. Hocico grisáceo al igual que las zonas rodeando las órbitas. Orejas pardo oscuras. La coloración dorsal es de un castaño oscuro entremezclado con algunos pelos más pálidos, lo que brinda un leve tono agutí. Franja vertebral oscura estrecha y notoria especialmente delante de las orejas. Los pelos del dorso son bicolors: la base es gris ceniza y la punta castaña u ocre. En algunos casos hay tricolores, con una franja blancuzca. Los flancos poseen un predominio de colores grises y son mucho más pálidos que el dorso y tiene pelos ocráceos en el fondo. La coloración entre el vientre y dorso cambia gradualmente. El vientre es de color grisáceo pálido. Los pelos del vientre son bicolors: la base es gris y el extremo es blanco. Pelos que recubren patas y manos blancuzcos. Cola levemente bicolor, pardo arriba y blancuzca por debajo.

Cráneo corto y robusto, de rostro acortado y basicráneo transversalmente expandido. Frontales con márgenes laterales convergentes anteriormente con márgenes agudos y crestas supraorbitarias bien desarrolladas. Nasaes cortos, no alcanzan el margen posterior de los premaxilares. Placa zigomática recta, solo levemente proyectada anteriormente. Muesca zigomática profunda y ancha. Forámenes incisivos elongados, sobrepasando el procíngulo del M1. Fosa mesopterigoidea divergente hacia atrás, con margen anterior fuertemente cóncavo. El margen anterior de la fosa apenas alcanza el nivel posterior del M3. Vacuidades esfenopalatinas bien desarrolladas. Fosas parapterigoideas poco profundas y notablemente amplias transversalmente. Proceso hamular delimitando un foramen postglenoideo am-

plio y una fenestra subescamosal amplia. Patrón de circulación del "tipo primitivo" (Voss 1988). Bullas timpánicas amplias y muy convexas, con tubo de eustaquio corto y amplio.

Comentarios. *Calomys apostoli* nov. es una especie del grupo *C. laucha/C. musculus* que se caracteriza por un cráneo marcadamente robusto. Se trata de una especie pequeña del género *Calomys*, semejante externamente a las especies *C. laucha* y *C. musculus*. Su coloración general es muy semejante, distinguiéndose únicamente por presentar la banda media dorsal más oscura y mejor definida y los flancos con una tonalidad marcadamente más pálida. Como fuera indicado más arriba, a diferencia de las especies cercanas, incluyendo *C. laucha* y *C. musculus* el cráneo de *C. apostoli* nov. es de proporciones más robustas, rostro más ancho y corto y las crestas occipitales bien desarrolladas. La presencia de fuertes crestas supraorbitarias acerca a *C. apostoli* nov. al grupo de especies de mayor tamaño y lo distinguen de las especies pequeñas del género.

Vale la pena remarcar, que es posible que algunas de las citas referidas a *Calomys laucha* o *C. musculus* para el sudoeste bonaerense o norte de Patagonia podrían pertenecer a *C. apostoli* nov. (véase Pardiñas *et al.*, 2003; 2004). En este sentido, Fernández *et al.* (2012) han citado para la localidad de Olavarría, una especie indeterminada de *Calomys* conocida por restos craneanos en egagrópilas de lechuzas. Estos restos craneanos, al igual que *C. apostoli* nov. poseen las crestas supraorbitarias relativamente bien desarrolladas y las hileras dentarias maxilares subparalelas (convergentes posteriormente en *C. laucha* y *C. musculus*), lo cual sugiere que los restos citados y descritos por Fernández *et al.* (2012) pueden ser referidos a la especie aquí descrita.

Lamentablemente, se conoce solo el ejemplar holotípico de *C. apostoli* nov., por



Figura 55 - *Calomys apostoli* nov. (CFA-MA-3509, holotipo) piel en vistas **A**, dorsal; **B**, ventral.

lo que la caracterización adecuada de la especie aún espera el hallazgo de nuevos individuos. Sin embargo, a pesar de la escasez de materiales, la combinación única de rasgos permite diferenciarla claramente de todos los taxones conocidos.

Calomys yunganus nov. sp.

urn:lsid:zoobank.org:act:A53001A8-B58E-42DE-8772-FEC4629683BC

Holotipo. CFA-MA-52. Piel rellena y cráneo. Argentina. Provincia de Tucumán.

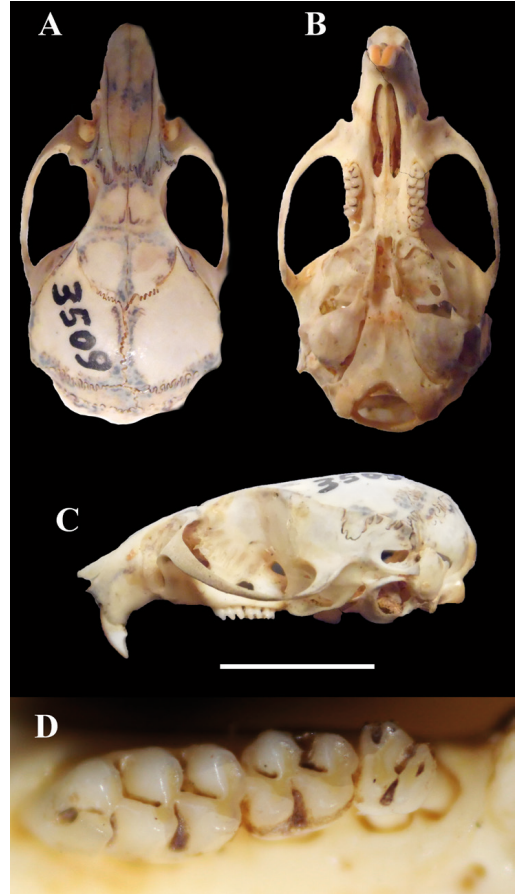


Figura 56 - *Calomys apostoli* nov. (CFA-MA-3509, holotipo) cráneo en vistas **A**, dorsal; **B**, ventral; **C**, lateral izquierda; **D**, vista oclusal de serie molar superior izquierda. Escala: 1 cm.

Depto. Leales. 15 de Febrero de 1957. Col: Abel Fornes. Macho. LT: 220 mm; Co: 96 mm; O: 17 mm; P: 19 mm; Peso: 37 gr (Figuras 57-59).

Localidad tipo. República Argentina. Provincia de Tucumán. Departamento Leales.

Paratipos. CFA-MA-106. Piel rellena. Argentina. Provincia de Tucumán. Depto. Leales. 22 de Enero de 1957. Col: Abel Fornes. LT: 162 mm; Co: 81 mm; O: 13 mm; P: 18 mm. CFA-MA-107. Piel rellena. Argentina. Provincia de Tucumán. Depto. Leales.

3 de Febrero de 1957. Col: Abel Fornes. LT: 161 mm; Co: 80 mm; O: 13 mm; P: 18 mm. CFA-MA-s/n. Piel rellena. Argentina. Provincia de Tucumán. CFA-MA-4882. Piel rellena. Argentina. Provincia de Jujuy. Depto. Ledesma. Calilegua. 24 de Marzo de 1975. Col: Elio Massoia. LT: 144 mm; Co: 70 mm; O: 15 mm; P: 19 mm; Peso: 16 gr. CFA-MA-4883. Piel rellena. Argentina. Provincia de Jujuy. Depto. Ledesma. Calilegua. 24 de Marzo de 1975. Col: Elio Massoia. LT: 154 mm; Co: 71 mm; O: 16 mm; P: 20 mm; Peso: 19 gr.

Diagnosis. Se trata de una especie de tamaño pequeño, incluíble dentro del grupo *C. musculinus-C. laucha*, de los cuales se distingue sobre la base de la combinación única de caracteres (autapomorfías marcadas con un asterisco*): 1) cola más corta que la longitud cabeza+cuerpo; 2) coloración del pelaje dorsal con marcada tonalidad rojiza*; 3) forámenes incisivos sobrepasan holga-

damente el nivel del procíngulo del M1; 4) bullas timpánicas relativamente amplias y poco infladas; 5) proceso maxilares de los arcos zigomáticos poco salientes y formando un ángulo agudo mayor con respecto al eje longitudinal del cráneo; 6) muescas zigomáticas profundas y transversalmente amplias; y 7) paladar notablemente ancho transversalmente.

Etimología. *yunganus*, debido a que el material conocido procede mayormente de las Yungas del noroeste argentino.

Descripción. Tamaño pequeño. Cola más corta que cabeza y cuerpo. Orejas relativamente pequeñas y redondeadas. Vibrisas cortas y duras, oscuras, alcanzan el margen anterior de las orejas. Hocico pardo ocre al igual que las zonas rodeando las órbitas. Orejas pálidas. Sin manchas blancas por detrás de las orejas. La coloración dorsal es de un castaño oscuro ocráceo homogéneo. Franja vertebral ausente. Los pelos del

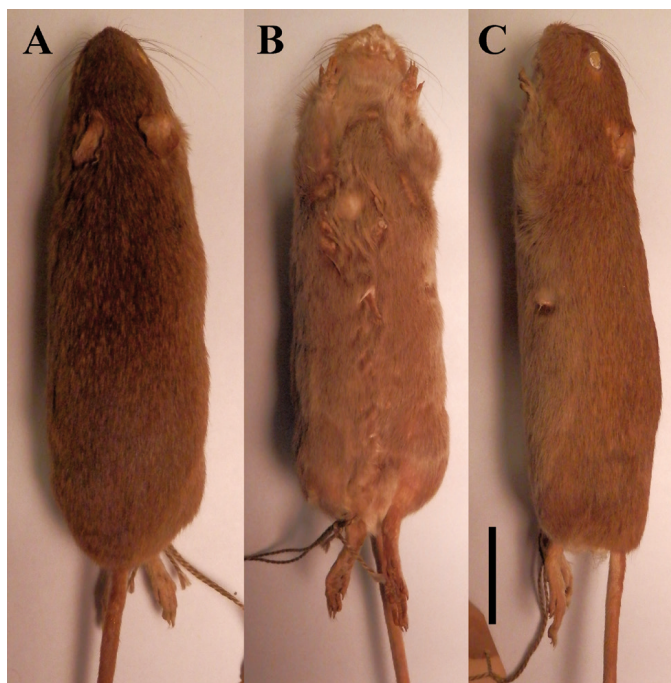


Figura 57 - *Calomys yunganus* nov. (CFA-MA-52, holotipo) piel en vistas **A**, dorsal; **B**, ventral. Escala: 1.5 cm.

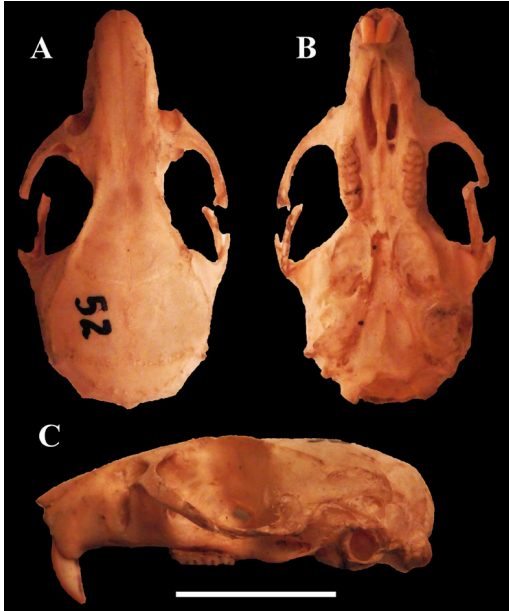


Figura 58 - *Calomys yunganus* nov. (CFA-MA-52, holotipo) cráneo en vistas **A**, dorsal; **B**, ventral; **C**, lateral izquierda. Escala: 1 cm.

dorso son bicolores: la base es gris ceniza y la punta castaña. Los flancos poseen un predominio de colores ocrés. La coloración entre el vientre y dorso cambia de manera algo abrupta. El vientre es de color ocráceo, con un lavado de blancuzco. Los pelos del vientre son bicolores: la base es pardo clara y el extremo es ocre. Pelos que recubren patas y manos grisáceos con tonalidad ocre. Cola levemente bicolor, pardo ocráceo arriba y algo más pálida por debajo.

Cráneo relativamente alargado, de hocico corto y estrecho; basicráneo transversalmente expandido. Frontales en forma de reloj de arena, con márgenes laterales rectos anteriormente que divergen rápidamente hacia atrás y crestas supraorbitarias bien desarrolladas. Nasaes cortos, sobrepasan el margen posterior de los premaxilares. Placa zigomática recta, con el margen dorsal libre reducido. Muesca zigomática profunda y ancha. Forámenes incisivos elongados, sobrepasando el procíngulo del M1. Fosa

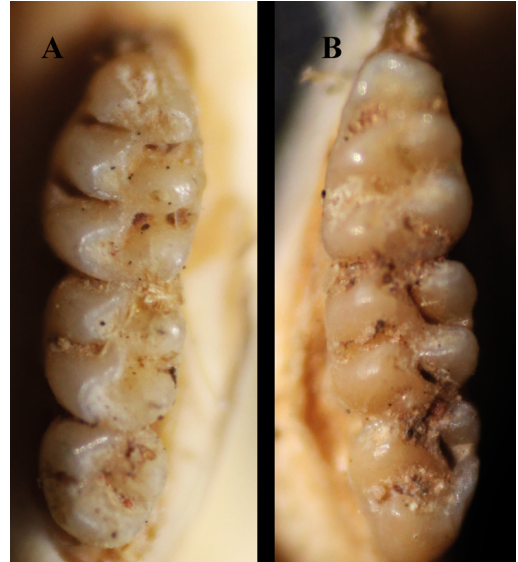


Figura 59 - *Calomys yunganus* nov. (CFA-MA-52, holotipo) vista oclusal de serie molar **A**, superior izquierda; **B**, inferior izquierda.

mesopterigoidea muy estrecha y divergente hacia atrás, con margen anterior en forma de lira, con una proyección media bien desarrollada. El margen anterior de la fosa no alcanza el nivel posterior del M3. Vacuidades esfenopalatinas poco desarrolladas. Fosae parapterigoideas profundas y notablemente amplias transversalmente. Proceso hamular delimitando un foramen postglenoideo pequeño y una fenestra subescamosal amplia. Patrón de circulación del “tipo primitivo” (Voss, 1988). Bullas timpánicas amplias y muy convexas, con tubo de eustaquio corto y amplio.

Comentarios. *Calomys yunganus* nov. sp. es una especie pequeña del género que sobre la base de la combinación de rasgos craneanos y somáticos puede ser fácilmente distinguible de todas las especies del grupo. La coloración general ocrácea, el vientre de tono gris oscuro y el paladar y molariformes proporcionalmente anchos distinguen a *C. yunganus* nov. tanto de *C. laucha* y *C. musculinus*.

Cranealmente, *C. yunganus* nov. es muy semejante a ambas especies y presenta ca-

racteres que incluyen rasgos distintivos tanto de *C. laucha* como de *C. musculinus*, pero en combinación.

En *Calomys yunganus* nov. sp., a semejanza de *C. laucha* los forámenes incisivos sobrepasan holgadamente el nivel del procingulo del M1 y las bullas timpánicas son relativamente amplias y pobremente infladas. Por otro lado, se asemeja a *C. musculinus* por presentar el margen anterior del arco zigomático y placa zigomática, en vista ventral, dispuesto en ángulo agudo mayor con respecto al eje mayor del cráneo (formando un ángulo mayor a 50°) y las muescas zigomáticas profundas y transversalmente amplias (véase Massoia *et al.*, 1968; Contreras y Rossi, 1980).

Esta combinación única de rasgos, junto la coloración del pelaje distintiva, hacen a *C. yunganus* una especie claramente distinguible de otras del género.

Posiblemente a esta forma deban ser referidos algunos de los registros de *Calomys* cf. *C. fecundus*, *Calomys laucha*, *C. musculinus* y *Calomys* sp. citados para las yungas de las provincias de Salta, Jujuy y Tucumán (Bárquez *et al.*, 1991; Díaz *et al.*, 1997; Díaz, 2000; Jayat *et al.*, 2010).

Chiroptera Blumenbach, 1779
Vespertilionidae Gray, 1821
Myotis (Kaup, 1829)

Myotis yoli nov. sp.

urn:lsid:zoobank.org:act:744D0CCC-332D-439F-8B9A-BA436B6EAA82

Holotipo. CFA-MA-5237. Piel rellena y cráneo. Argentina. Provincia de Neuquén. Dpto. Los Lagos. Puerto Radal, Isla Victoria. 12 de Febrero de 1973. Col: Julio Contreras. Hembra. LT: 96 mm; Co: 40 mm; O: 15 mm; P: 9,6 mm (Figuras 60-61). Atrapada en matorral espeso, de bosque mixto.

Localidad tipo: Argentina. Provincia de

Neuquén. Dpto. Los Lagos. Puerto Radal, Isla Victoria.

Paratipos. CFA-MA-5238. Piel rellena y cráneo. Argentina. Provincia de Río Negro. Depto. Bariloche. Bariloche, Km 12. 5 de Octubre de 1972. Col: Julio Contreras. Macho. LT: 95 mm; Co: 43 mm; O: 14,9 mm; P: 10,1 mm; Peso: 5,7 gr. Atrapado en una mata de rosa mosqueta. CFA-MA-5239. Piel rellena y cráneo. Argentina. Provincia de Neuquén. Depto. Lácar. Lago Lácar, Estancia "Fortín Chacabuco". 21 de Noviembre de 1971. Macho. LT: 85 mm; Co: 49 mm; O: 15,4 mm; P: 10,2 mm; Peso: 4,5 gr. Atrapado en un galpón. CFA-MA-5240. Piel rellena y cráneo. Argentina. Provincia de Neuquén. Depto. Lácar. Lago Lácar, Estancia "Fortín Chacabuco". 21 de Noviembre de 1971. Col: Julio Contreras. Hembra. LT: 95 mm; Co: 39; O: 15,3 mm; P: 10,6 mm; Peso: 7 gr. Hembra grávida, atrapada en un galpón.

Diagnosis. Especie de *Myotis* semejante en coloración a *M. levis* y en caracteres craneanos a *M. chiloensis*, distinguible sobre la base de la siguiente combinación de caracteres: 1) cráneo robusto, con caja craneana globosa y curvatura frontal pronunciada; 2) arco zigomático de base posterior robusta; 3) pterigoides convergen posteriormente hacia el centro; 4) pelaje tupido y largo; 5) los pelos del dorso pardo unicolores; 6) vientre más pálido que el dorso, con los pelos bicolores, de base negra y las puntas grisáceas; y 7) orejas, membranas alares y uropatagio negruzcos homogéneos.

Etimología. En honor a Yolanda Ester Davies "Yoli", naturalista argentina reconocida especialmente por sus abundantes colectas mastozoológicas y ornitológicas y su gran experiencia en la preparación de pieles y taxidermias.

Descripción. Tamaño grande para el género. El pelaje es largo y pomposo. Coloración general pardo castaño homogéneo, sin tonalidad anaranjada. Los pelos del dorso son unicolores. El vientre es más pálido

que el dorso, de tonalidad pardo grisácea. La región inguinal es blancuzca. Los pelos son bicolores, de base negra y las puntas pardas-grisáceas. Orejas y membranas alares negruzcas. La membrana uropatagial es negruzca homogénea.

El cráneo es notablemente robusto y la bóveda craneana muy globosa. El rostro es relativamente elongado, su ancho representa la mitad del ancho transverso de la bóveda craneana. Cresta sagital presente, pero apenas marcada. En vista lateral el cráneo es muy alto y abovedado, con una curvatura frontal muy pronunciada. Los arcos zigomáticos poco salientes y de base posterior muy robusta. Fosa mesopterigoidea anteriormente en forma de lira, transversalmente ancha y rodeada por barras pterigoides bien desarrolladas y robustas, que son distalmente convergentes.

Los restantes caracteres craneanos y dentarios son semejantes a los de otras especies del género.

Comentarios. En Argentina se cuenta con una gran cantidad de especies del diverso género *Myotis*, todas ellas muy semejantes morfológicamente, y por lo tanto, de diferenciación a menudo dificultosa (Moratelli *et al.*, 2011; Solari y Martínez-Arias, 2014; Lutz *et al.*, 2016). Sin embargo, la revisión de Bárquez *et al.* (1999; véase análisis previos de Cabrera, 1930; Greenhall *et al.*, 1983), ha esclarecido en gran parte el panorama taxonómico del género en Argentina. Más aún, recientemente, diversas contribuciones han adicionado especies para Argentina, y han resuelto algunas controversias taxonómicas dentro del linaje (Bárquez *et al.*, 2017; Urquiza *et al.*, 2017; Novaes *et al.*, 2018). Esto resultó en el reconocimiento de unas 12 especies del género en Argentina (Teta *et al.*, 2018).

La nueva especie aquí descrita procede de solo tres localidades emplazadas en el norte de la Patagonia de Argentina, donde es simpátrica con *M. chiloensis* (incluyendo

a su sinónimo *M. aelleni*). Vale la pena remarcar que la otra única especie de *Myotis* citada para Patagonia es *M. levis*, de distribución marginal y con escasísimos registros (Barquez *et al.*, 1999; Udrizar Sauthier *et al.*, 2015).

M. yoli nov. sp., se distingue de otras especies y se asemeja a *M. chiloensis* en el cráneo notablemente robusto y de caja craneana globosa, con arco zigomático de base posterior robusta y curvatura frontal pronunciada (Barquez *et al.*, 1999). A diferencia de *M. chiloensis* y *M. levis*, en *M. yoli* nov. los pterigoides posteriormente convergen hacia el centro, mientras que en las otras especies estos elementos son subparalelos entre si y e incluso levemente divergentes posteriormente.

A pesar de las similitudes craneanas entre *M. yoli* nov. y *M. chiloensis*, la coloración del pelaje distingue claramente a ambos taxones. En *M. yoli* nov., a diferencia de *M. chiloensis*, y a semejanza de *M. levis*, los pelos del dorso son unicolores (bicolores en *M. chiloensis*, con la base pardo oscura y las puntas castañas; punta amarillenta en *M. dinelli*; Barquez *et al.*, 1999), el vientre es algo más pálido que el dorso, con los pelos bicolores oscuros, de base negra y las puntas pardo-grisáceas (notablemente más pálidos, con puntas amarillentas en *M. chiloensis*), región inguinal blancuzca (parda en *M. chiloensis*) y uropatagio negruzco homogéneo (uropatagio más pálido y con margen amarillento en *M. chiloensis*, *M. dinelli* y *M. levis*). En este sentido, las membranas alares y las orejas muy oscuras, casi negras, distinguen *M. yoli* nov. tanto de *M. chiloensis* como de *M. levis* y *M. dinelli*. Adicionalmente, en *M. dinelli* el margen del uropatagio exhibe un mechón de pelos a lo largo del margen (Barquez *et al.*, 1999), un rasgo ausente en *M. yoli* nov.

Como fuera indicado más arriba, el cráneo muy abovedado, con caja craneana muy ancha y curvatura frontal pronunciada diferencian con facilidad a *M. yoli* nov. de



Figura 60 - *Myotis yoli* nov. (CFA-MA-5237, holotipo) piel en vista **A**, dorsal; **B**, ventral. Escala: 2 cm.

M. levis (Barquez *et al.*, 1999). La tonalidad general grisácea del pelaje la distinguen de *M. levis*, con pelaje de coloración marcadamente anaranjada.

La fauna de murciélagos de Patagonia permanece aún pobremente conocida y lo poco que se conoce reposa en colecciones accidentales u ocasionales (Udrizar Sauthier *et al.*, 2013; Barquez *et al.*, 2013; Díaz *et al.*, 2017). En este sentido, Noguera-Urbano y Escalante (2015) indicaron que, a pesar de ser un importante centro de endemismos, el conocimiento de murciélagos en Patagonia es prácticamente nulo. Es por esto, que el hallazgo de una nueva especie en los bosques australes no resulta inverosímil. En este sentido, la combinación única de rasgos exhibida por *M. yoli* nov. permite reconocerla como una especie válida. Es posible que ejemplares de esta especie permanezcan confundidos en las colecciones mastozoológicas bajo el nombre de *M. chiloensis* o *M. levis*.

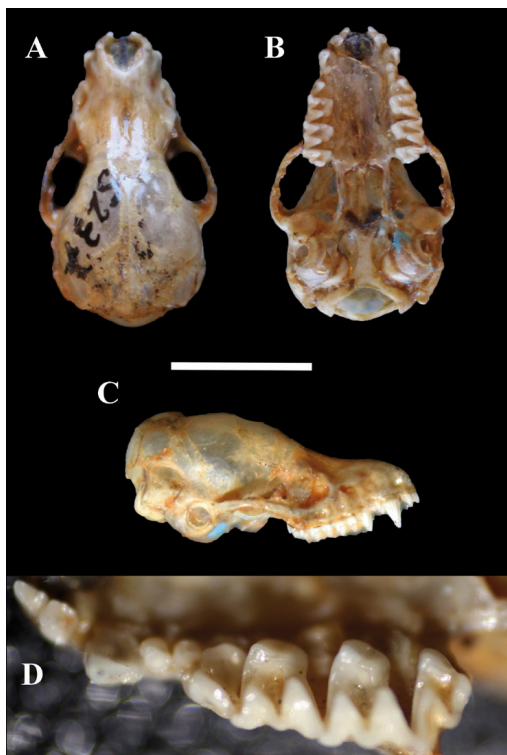


Figura 61 - *Myotis yoli* nov. (CFA-MA-5237, holotipo) cráneo en vistas **A**, dorsal; **B**, ventral; **C**, lateral derecha; **D**, detalle de la dentición superior derecha. Escala: 1 cm.

Carnivora Linnaeus, 1758
 Mephitidae Bonaparte, 1845
Conepatus Gray, 1837

Comentarios. El estatus taxonómico de las especies sudamericanas del género *Conepatus*, dista de ser satisfactorio. Oldfield Thomas, reconoció más de 10 especies en la región, lo cual resultó en una notable complicación taxonómica (Cabrera, 1957). Este número fue reducido a unas 5 para el territorio argentino por Cabrera y Yepes (1960). Más recientemente, el número de especies argentinas fue restringido solo a dos formas nominales: el zorrino común (*Conepatus chinga*) y el patagónico (*Conepatus humboldtii*), de distribución alopátrica y distin-

güibles solo por rasgos de la coloración del pelaje (Kipp, 1965; Wozencraft, 1993; Díaz y Lucherini, 2006). Recientemente, Schiaffini *et al.* (2013) en un detallado análisis incluyendo datos moleculares, morfológicos cuantitativos y somáticos propusieron la existencia de una sola especie para todo el territorio argentino: *Conepatus chinga*.

Por otro lado, algunos autores han sostenido que *Conepatus* en Argentina sería más diverso que lo propuesto. En este sentido, sobre la base de patrones del pelaje y diferencias en tamaño, Canevari (1985; véase también Canevari y Vaccaro, 2007) reconoce las especies *C. humboldtii* y *C. chinga*, esta última con unas seis formas o subespecies, de las cuales Chebez (1994, 2009) indica como especies plenas a cinco, bajo el nombre de *C. chinga*, *C. castaneus*, *C. rex*, una forma innominada relacionada a *C. semistriatus*, y también a *C. humboldtii*. Finalmente, Fontoura-Rodríguez (2013) combinando análisis genéticos y morfológicos reconoce unas cuatro especies para Argentina: una para Patagonia (*C. humboldtii*), otra para las regiones centro y este (*C. suffocans*, aquí tratado como *C. chinga*), una nueva especie para el litoral mesopotámico (aquí tratada como *C. feuillei*) y dejó como inciertas a las poblaciones de NOA y Chaco por falta de materiales.

Sobre la base de observaciones personales de individuos del género *Conepatus* procedentes de diversas colecciones (MACN, MLP, IML) de variadas localidades de Brasil, Chile, Uruguay y Argentina, creemos que es posible separar sobre la base de criterios morfológicos a varias formas previamente consideradas como morfotipos regionales sin valor taxonómico (Figura 62).

Las especies *C. chinga* y *C. humboldtii* han sido reconocidas como diferentes por numerosos autores, sobre la base principal de características externas del pelaje (Parera, 2002). En el caso del zorrino patagónico, *C. humboldtii* las bandas dorsales claras se

conectan ampliamente por sobre la frente, mientras que en *C. chinga* se encuentran bien separadas (Canevari, 1985). En adición a este rasgo, *C. humboldtii* puede ser distinguible de *C. chinga* por presentar narinas estrechas (redondeadas y amplias en *C. chinga*), arco zigomático más abierto y de base posterior perpendicular al eje mayor del cráneo (oblicuo en *C. chinga*), bulla auditiva bien extendida medialmente, cíngulo lingual del M1 amplio (reducido en *C. chinga*), P4 con "talónido" extenso (reducido en *C. chinga*), y P4 con "talónido" a la misma altura que el "trigónido" en vista lateral (el "talónido" se ubica muy por debajo en *C. chinga*) (Figura 63). Estos rasgos, sumados a la distribución casi alopátrica de ambas formas sugieren mantenerlas como especies plenas.

Por otro lado, de acuerdo con Osgood (1943), Cabrera (1958) y Chebez (2009) consideramos una especie plena a *Conepatus rex* Thomas 1898 sobre la base de su coloración externa distintiva (dos grandes bandas blancas que forman un manto continuo desde la frente hasta la base de la cola) y gran tamaño, así como por sus características ecológicas (se trata de un habitante exclusivo de puna y prepuna de las provincias de Jujuy, Salta y Tucumán; véase Chebez, 2009; Figura 62).

Del mismo modo, consideramos a *Conepatus feuillei* Eydoux y Souleyet (1841), largamente propuesta como un sinónimo de *C. chinga* (Sanborn, 1929; Cabrera, 1958) y cuyo ejemplar tipo fue colectado en las cercanías de Montevideo, como una especie plena. Aplin (1894) la describe en gran detalle bajo el nombre de *Conepatus mapurito monzoni* y remarca que es una forma de color predominantemente negruzco, incluyendo la totalidad de la cola. Adicionalmente, Canevari (1985; Canevari y Vaccaro, 2007) puntualiza que esta especie tiene el pelaje de la cola poco frondoso (Figura 62). La revisión de ejemplares procedentes



Figura 62 - Pieles en vista dorsal de distintas especies del género *Conepatus* en Argentina. **A**, *Conepatus carloschebezi* nov. (MACN-Ma 47.119, holotipo); **B**, *Conepatus carloschebezi* nov. (MACN-Ma 43.58, paratipo); **C**, *Conepatus rex* (MACN-Ma 26.182; Humahuaca, provincia de Jujuy); **D**, *Conepatus humboldti* (MACN-Ma 28.72; Rawson, provincia de Chubut); **E**, *Conepatus feuillei* (MACN-Ma 13.714; Manantiales, provincia de Corrientes); **F**, *Conepatus chinga* (MACN-Ma 29.912; Gándara, provincia de Buenos Aires).

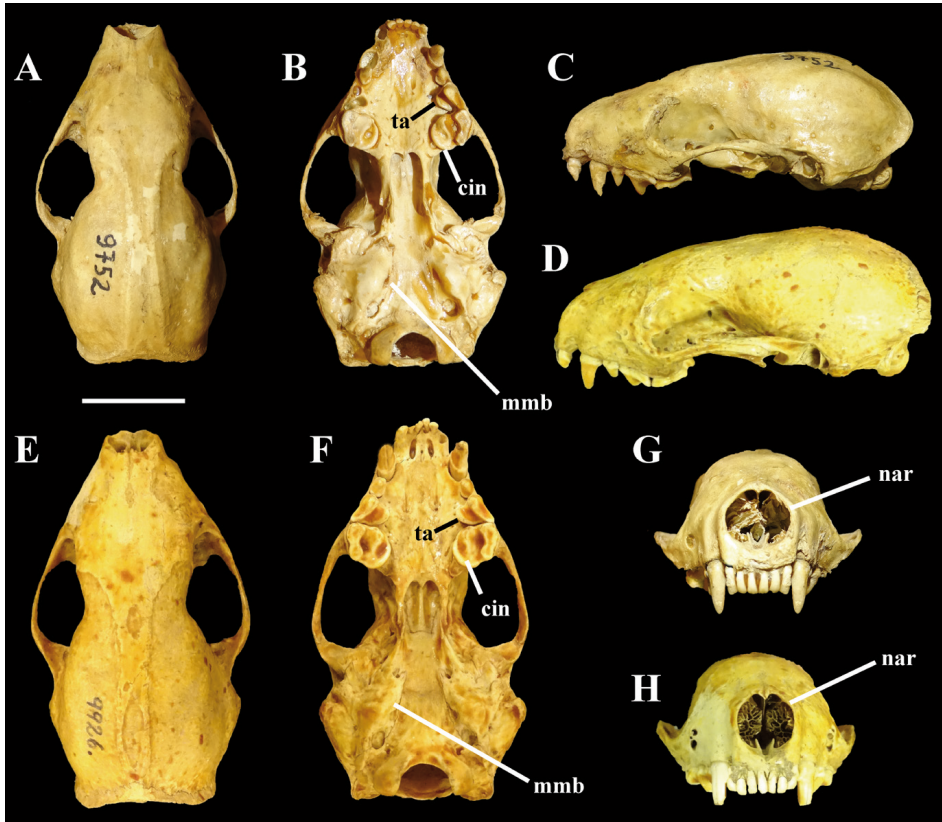


Figura 63 - Comparación entre el cráneo de *C. chinga* y *C. humboldtii*, remarcando los principales rasgos diferenciales enumerados en el texto. Cráneo en vistas **A,E**, dorsal; **B,F**, ventral; **C,D**, lateral izquierda; **G,H**, anterior. **A,B,C,G**, *C. chinga* (CFA-MA-9752; 25 de Mayo, provincia de Buenos Aires); **D,E,F,H**, *C. humboldtii* (CFA-MA-9926; Puerto Santa Cruz, provincia de Santa Cruz). Referencias: cin, cingulo lingual del M1; mmb, margen medial de la bulla timpánica; nar, "narinas"; ta, "talónido" del P4. Escala: 2 cm.

de Uruguay y el litoral argentino muestran la constancia de la coloración dorsal así como la cola con pelaje notablemente corto y áspero, muy diferente de la de cualquier especie del género. Ambos rasgos, sumado al gran tamaño de los individuos, sugieren la validez plena de la especie. Allen (1916) reportó una piel procedente de Paraná, Entre Ríos.

En suma, se visualiza un panorama de gran complejidad para el género en Argentina, coincidente con las observaciones de Cabrera (1958), Canevari (1985), Chebez (2009) y Fontoura-Rodríguez (2013), don-

de reconocemos de manera provisoria las especies *C. chinga*, *C. humboldtii*, *C. rex*, *C. feuillei*, y una nueva especie que se describe a continuación.

Conepatus carloschebezi nov. sp.

urn:lsid:zoobank.org:act:8FFE5669-68E5-4B65-BE6D-08D90EB0444C

Holotipo. MACN Ma 47.119, hembra adulta, piel y cráneo dañado en la caja craneana. Col. S. Pierotti en Comisión junto a Universidad de Tucumán. América del

Sur, Argentina, Formosa, Paso de las Niñas, Río Teuco. 8 de agosto de 1947 (Figura 64).

Localidad Tipo: Argentina. Provincia de Formosa. Paso de las niñas, Río Teuco.

Paratipos. MACN Ma 43.58, piel y cráneo. Canje con Facultad de Ciencias Exactas y Naturales. Col. J. Cranwell. América del Sur, Argentina, Formosa, Fortín Nuevo, Pilcomayo. MACN Ma 43.59, piel y cráneo. Canje con Facultad de Ciencias Exactas y Naturales. Col. J. Cranwell. América del Sur, Argentina, Formosa, Fortín Nuevo, Pilcomayo. CFA-MA-7731. Argentina. Provincia de Santiago del Estero. Depto. Capital. Cercanías Capital. Febrero 1981. Col: O. Donadio. Cráneo roto. CFA-MA-8891. Argentina. Provincia de Santiago del Estero. Breitas, Estancia "Guampacha". Col: Jorge Latorraca. Mandíbulas. CFA-MA-8900. Argentina. Provincia de Santiago del Estero. Breitas, Estancia "Guampacha", Departamento Guasayán. Col: Jorge Latorraca. Mandíbulas. CFA-MA-9459. Cráneo y hemimandíbula izquierda. Argentina. Provincia de Santiago del Estero. Dpto. Banda. Colonia Gamara, Clodomira. Col: Gómez-Murales. CFA-MA-10364. Cráneo sin mandíbulas. Argentina. Provincia de Santiago del Estero. Dpto. Guasayán. Tres Cerros. Col: Jorge Latorraca. CFA-MA-10426. Mandíbulas. Argentina. Provincia de Santiago del Estero. Dpto. Ojo de Agua. Santa Rosa. Julio 1992. Col: Jorge Latorraca. CFA-MA-10443. Cráneo sin mandíbulas. Argentina. Provincia de Santiago del Estero. Dpto. Choya. "Monte Pampa" de Villa La Punta. Col: Jorge Latorraca. CFA-MA-10528. Argentina. Provincia de Santiago del Estero. Dpto. Choya. El Retiro. 8 al 11 de Enero de 1993. Col: Jorge Latorraca. Cráneo sin mandíbulas. CFA-MA-10529. Argentina. Provincia de Santiago del Estero. Dpto Choya. El Retiro. 8 al 11 de Enero de 1993. Col: Jorge Latorraca. Cráneo sin mandíbulas. CFA-MA-10530. Argentina. Provincia de Santia-

go del Estero. Dpto. Choya. El Retiro. 8 al 11 de Enero de 1993. Col: Jorge Latorraca. Cráneo sin mandíbulas. CFA-MA-10531. Argentina. Provincia de Santiago del Estero. Dpto. Choya. El Retiro. Col: Jorge Latorraca. Cráneo sin mandíbulas. CFA-MA-10532. Argentina. Provincia de Santiago del Estero. Dpto. Choya. El Retiro. Col: Jorge Latorraca. Cráneo sin mandíbulas. CFA-MA-10803. Argentina. Provincia de Santiago del Estero. Dpto. Choya. Villa La Punta. 8 al 11 de Enero de 1993. Col: Jorge Latorraca. Cráneo sin mandíbulas. CFA-MA-11409. Argentina. Provincia de Santiago del Estero. Dpto. Choya. Villa La Punta. 20 de Diciembre de 1995. Col: Jorge Latorraca. Cráneo sin mandíbulas.

Diagnosis. Especie relativamente pequeña del género *Conepatus* diagnosticable sobre la base de la siguiente combinación de caracteres (autapomorfías marcadas con un asterisco*): 1) pelaje relativamente largo formando dos bandas dorsales blancas muy anchas y unidas a lo largo de casi toda su longitud, separadas posteriormente por una delgada línea negruzca; 2) cola casi enteramente blanca*; 3) ausencia de cresta separando meato auditivo del arco zigomático, 4) ausencia de cresta sagital, 5) margen anterior de la bulla timpánica fuertemente cóncavo, 6) porción del esca-moso dorsal a la bulla timpánica globosa*, 7) cresta supraglenoidea ausente*; 8) meato auditivo externo muy estrecho, y 9) molares estrechos y con cúngulos reducidos.

Etimología. En honor a Juan C. Chebez (1962-2011) quien reconociera la existencia de esta nueva especie de *Conepatus* (Chebez, 2009). Este naturalista instó a los autores del presente MS a buscar evidencias materiales que permitieran poner nombre a la especie, hasta ese entonces innominada.

Descripción. Tamaño pequeño dentro del género. Pelaje relativamente corto y áspero, con la usual capa interna de pelaje lanoso. Pelos de la nuca sin espirales, con

abundantes pelos orientados anteriormente. Flancos, dorso y cabeza de color negro puro. Dorso con bandas blancas dorsales notablemente anchas, unidas en gran parte de su longitud. Se separan posteriormente por una delgada banda negra de contorno ojival a la altura de las ancas. Las bandas blancas se inician al nivel de los ojos (e incluso algo más anteriormente) y se continúan a lo largo de todo el cuerpo hasta la punta de la cola. La cola presenta el tercio anterior con flancos negruzcos y los dos tercios posteriores blanco puros. La cola es relativamente delgada y con pelaje abundante pero no demasiado largo. Los pelos alcanzan en promedio unos 2,5 centímetros de longitud.

El cráneo es relativamente pequeño, con crestas débiles, pobremente desarrolladas. Hocico relativamente corto y de contorno subtriangular, con fosas nasales de contorno ovoidal, más anchas que altas.

Arcos zigomáticos débiles y poco expandidos, el ancho bicigomático, solo levemente mayor que el ancho mastoideo. Crestas frontales, mastoidea, occipital y sagital pobremente desarrolladas. Las débiles crestas frontales no se conectan posteriormente, y en consecuencia, no se reconoce una cresta sagital. Paladar largo, se extiende mucho más allá del nivel del M1. Torus palatino pequeño, en forma de lira, con una espina media. Bullas timpánicas pobremente infladas, con una profunda y amplia concavidad anterior.

Dentición semejante a la de las otras especies del género. M1 transversalmente estrecho, con cingulo reducido, apenas supera en ancho labiolingual al P4.

Comentarios. Chebez (2009) es el primer autor en reconocer las características distintivas de esta nueva forma. Este autor indica que se podría tratar de una forma relacionada a *C. semistriatus*. Hoy en día,

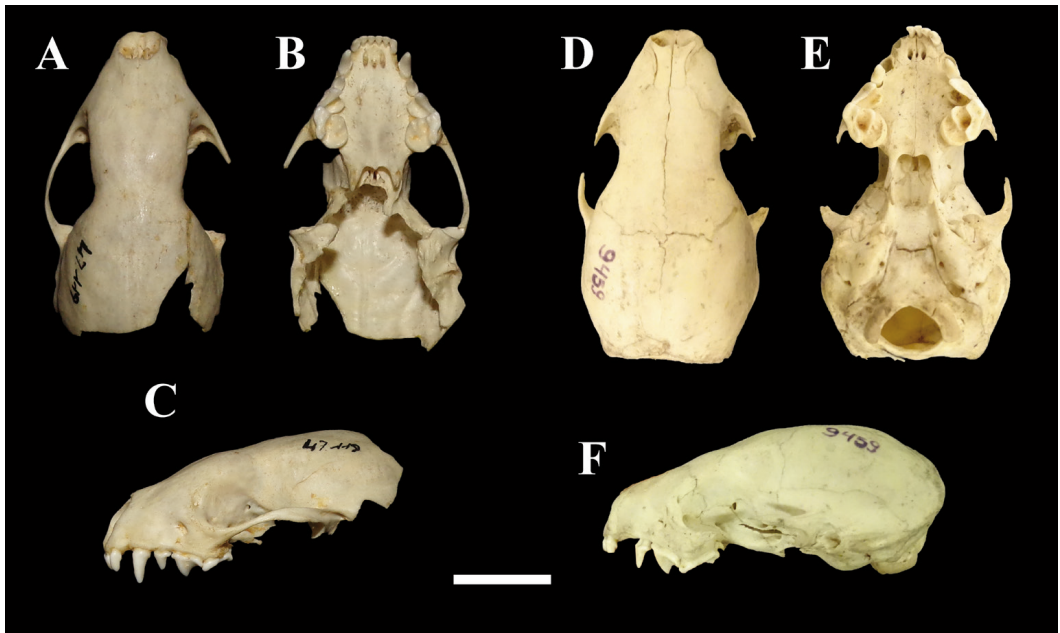


Figura 64 - *Conepatus carloschebezi* nov. A-C, MACN-Ma 47.119, holotipo, cráneo en vistas **A**, dorsal; **B**, ventral; **C**, lateral izquierda; **D-F**, CFA-MA-9459, paratipo, cráneo de ejemplar juvenil en vistas **D**, dorsal; **E**, ventral; **F**, lateral izquierda. Escala: 2 cm.

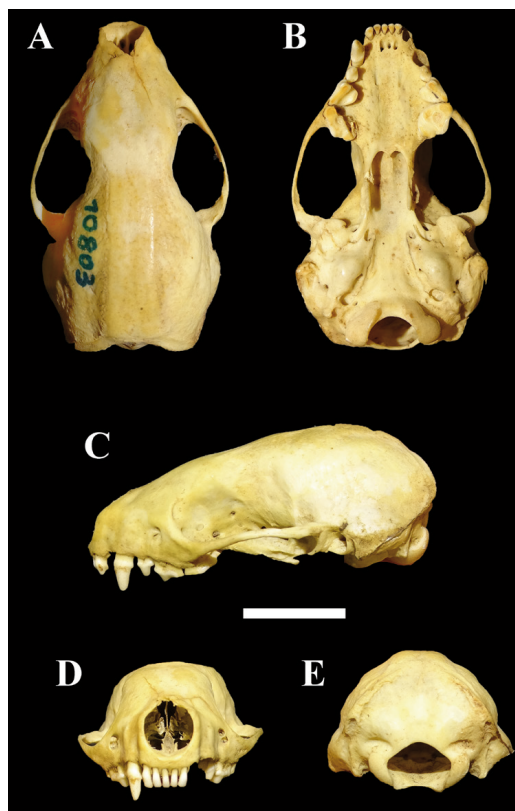


Figura 65 - *Conepatus carloschebezi* nov. (CFA-MA-10803, paratipo), cráneo en vistas **A**, dorsal; **B**, ventral; **C**, lateral izquierda; **D**, anterior; **E**, posterior. Escala: 2 cm

Conepatus semistriatus se encuentra restringida en su distribución a Centroamérica, hasta alcanzar el norte de América del Sur en Colombia y Venezuela (Kasper *et al.*, 2009; Fontoura-Rodríguez, 2013). *C. semistriatus* es claramente diferenciable de *C. carloschebezi* por su tamaño notablemente mayor, y por carecer de los rasgos craneanos distintivos de la nueva especie.

Para Chebez (2009), *C. carloschebezi* parece una versión en miniatura de *C. rex*, pero con pelaje más corto y áspero (Chebez, 2009). En este sentido, Massoia y Latorraca (1992) listan a *C. rex* para la provincia de Santiago del Estero, posiblemente sobre la base de los ejemplares paratipo

de la nueva especie. En efecto, sus rasgos craneanos, así como su tamaño mucho menor y las características del pelaje las distinguen fácilmente. Del mismo modo, Canevari y Vaccaro (2007) distinguen *C. carloschebezi* nov., como una variedad de *C. chinga* restringida en su distribución al Chaco Occidental.

El tamaño menor y las profundas diferencias del pelaje distinguen claramente a *C. carloschebezi* nov. de *Conepatus feuillei*.

Si bien las características del pelaje, así como el tamaño menor distingue a *C. carloschebezi* nov. de *C. humboldtii* y *C. chinga*, la variación propia del pelaje y medidas en estas especies hace que su diferenciación pueda resultar dificultosa. Sin embargo, existen varios caracteres craneanos que permiten reforzar el reconocimiento de *C. carloschebezi* nov., como una especie válida. *C. carloschebezi* nov., carece de una cresta sagital bien definida (presente de manera casi invariable en *C. chinga*) y la cresta supraglenoidea (específicamente la parte de esta cresta que separa anteriormente el meato auditivo del resto del cráneo en vista lateral) está totalmente ausente (presente y bien definida en todos los ejemplares de todas las especies revisadas). *C. carloschebezi* nov. exhibe la pared lateral del escamoso dorsal al meato auditivo externo muy convexa y globosa (totalmente recta en *C. chinga* y *C. humboldtii*). Adicionalmente, *C. carloschebezi* nov., presenta el margen anterior de la bulla timpánica fuertemente cóncavo (convexo o recto a débilmente cóncavo en *C. chinga* y *C. humboldtii*) y el M1 notablemente estrecho con el cíngulo lingual reducido (M1 de gran tamaño y con un amplio cíngulo lingual, conformando una plataforma en *C. chinga* y *C. humboldtii*).

La descripción de una especie nueva de un carnívoro de tamaño mediano del género *Conepatus* podría resultar anómala. Sin embargo, tal como fuera indicado más

arriba, la notable diversidad específica del género pareciera aún hoy estar pobremente conocida. En este sentido, el trabajo inédito de Fontoura-Rodríguez (2013) indica que quedan varias especies sudamericanas de *Conepatus* por describir o revalidar.

Hasta el día de la fecha *C. carloschebezi* se distribuye en la Ecorregión de Chaco Occidental o Chaco Seco, en las provincias de Formosa y Santiago del Estero. Chebez (2009) puntualiza que esta especie habita el chaco de las provincias de Salta y Chaco, así como posiblemente Tucumán y Jujuy. En este sentido, la revisión de colecciones en el IML, resultó en el hallazgo de un ejemplar de *Conepatus* procedente de la Angostura, Departamento de Taí, en Tucumán (IML 01185) que podría ser referido a esta especie. Chebez (2009) indica que la cita de *C. chinga* para la Reserva Natural Formosa posiblemente pertenezca a esta nueva forma (véase Heinonen de Fortabat y Chebez, 1997).

CONCLUSIONES

La presente contribución incluye la descripción de unas 15 especies nuevas de mamíferos distribuidos a lo largo del territorio argentino. Si bien la gran mayoría de las especies descritas (14) son roedores y murciélagos, en general difíciles de distinguir en el campo y de compleja situación taxonómica, esto nos indica que la fauna de mamíferos sudamericanos, y argentinos en particular, aún dista de contar con un conocimiento satisfactorio. Esto resulta de vital importancia a la hora de llevar adelante proyectos de conservación y relevamientos faunísticos, los cuales seguramente resultarán en el hallazgo de nuevas especies en zonas aún poco (e incluso muy) exploradas del país.

AGRADECIMIENTOS

Agradecemos profundamente el acceso a las colecciones bajo su cargo a D. Flores y P. Teta (MACN), Rubén Bárquez (IML) y M. Merino (MLP), quienes permitieron la consulta y revisión de numerosos materiales bajo su cargo. Extendemos especialmente este agradecimiento a S. Bogan (CFA-MA-) quien nos facilitó durante años el acceso a las colecciones bajo su cargo, así como la revisión de una enorme cantidad de ejemplares. Gran parte de este trabajo fue realizado gracias a su buena predisposición e invaluable ayuda. Agradecemos a J.C. Chebez (†) y Y. Davies (MACN) por su ayuda y diversos comentarios durante la realización de la presente contribución. S. Lucero, D. H. Campo, M. Fraccaro y A. Alvedro fueron de gran ayuda durante la revisión y clasificación de parte de las colecciones. P. Myers, G. Musser, y P. Teta brindaron información bibliográfica de acceso dificultoso. Finalmente, agradecemos a A. Giacchino, Director de la Fundación de Historia Natural “Félix de Azara”, quien no solo nos apoyó desde un comienzo en la elaboración de la presente contribución, sino también es quien frecuentemente fomenta la realización de proyectos como este. Queremos dedicar este trabajo a la memoria de Elio Massoia y Julio R. Contreras Roqué, grandes mastozoólogos y gigantes recolectores de material, que sin lugar a dudas han contribuido enormemente al conocimiento de los mamíferos argentinos, y gracias a quienes pudimos realizar la presente contribución.

BIBLIOGRAFÍA

- Abdala, F. y Díaz, M.M. (2000). Anatomía craneana de *Akodon albiventer* (Rodentia, Muridae, Sigmodontinae). *Iheringia*, 88, 33-50.
- Agnolin, F.L., Lucero, S., Chimento, N.R. y Guerrero, E.L. (2017). Mamíferos Terrestres de la Costa Atlántica de Buenos Aires. En: J. Athor y C. Celsi

- (Eds.), *Costa Atlántica de Buenos Aires. Naturaleza y Patrimonio Cultural*, (pp. 139-180). Buenos Aires, Argentina: Vázquez Mazzini Editores.
- Allen, J.A. (1916). New mammals collected on the Roosevelt Brazilian Expedition. *Bulletin of the American Museum of Natural History*, 35, 523-530.
- Almeida, F.C., Bonvicino, C.R. y Cordeiro-Estrela, P. (2007). Phylogeny and temporal diversification of *Calomys* (Rodentia, Sigmodontinae): implications for the biogeography of an endemic genus of the open/dry biomes of South America. *Molecular Phylogenetics and Evolution*, 42(2), 449-466.
- Ameghino, F. (1889). Contribución al conocimiento de los mamíferos fósiles de la República Argentina. *Actas de la Academia Nacional de Ciencias en Córdoba*, 6, 1-1027.
- Anderson, S. y Olds, N. (1989). Notes on Bolivian mammals. 5, Taxonomy and distribution of *Bolomys* (Muridae, Rodentia). *American Museum Novitates*, 2935, 1-24.
- Anthony, H.E. (1919). Mammals Collected in Eastern Cuba in 1917: With Descriptions of Two New Species. *Bulletin of the American Museum of Natural History*, 41, 625-645.
- Apfelbaum, L.I. y Blanco, A. (1984). Genetic similarity between species of *Akodon* (Rodentia, Cricetidae). *Journal of Experimental Zoology*, 229, 1-5.
- Aplin, O.V. (1894). Field-notes on the mammals of Uruguay. *Proceedings of the Zoological Society of London*, 1894, 297-315.
- Baker, R.J., Koop, B.F. y Haiduk, M.W. (1983). Resolving systematic relationships with G-bands: a study of five genera of South American cricetine rodents. *Systematic Biology*, 32(4), 403-416.
- Bangs, O. (1900). List of the mammals collected in the Santa Marta region of Colombia by W. W. Brown Jr. *Proceedings of the New England Zoological Club*, 1, 87-102.
- Barquez, R.M., Díaz, M.M. y Ojeda, R.A. (2006). *Mamíferos de Argentina: sistemática y distribución*. Tucumán, Argentina: Sociedad Argentina para el Estudio de los Mamíferos.
- Barquez, R.M., Mares, M.A. y Ojeda, R.A. (1991). *Mamíferos de Tucumán - Mammals of Tucumán*. 282 pp. Oklahoma Museum of Natural History, University of Oklahoma, Norman.
- Barquez, R.M., Mares, M.A. y Braun, J.K. (1999). The bats of Argentina. *Special Publications, Museum of Texas Tech University*, 42, 1-345.
- Barquez, R.M., Carbajal, M.N., Failla, M. y Díaz, M.M. (2013). New distributional records for bats of the Argentine Patagonia and the southernmost known record for a molossid bat in the world. *Mammalia*, 77(1), 119-126.
- Barquez, R.M., Miotti, M.D., Idoeta, F.M. y Díaz, M.M. (2017). Two new species of *Myotis* (Chiroptera: Vespertilionidae) for Argentina. *Papéis Avulsos de Zoologia*, 57, 287-294.
- Bianchini, J.J. y Delupi, H. (1994). Consideraciones sobre el estado sistemático de *Deltamys kempii* Thomas, 1917 (Cricetidae: Sigmodontinae). *Physis*, 49, 27-35.
- Bonvicino, C.R., De Oliveira, J. y Gentile, R. (2010). A new species of *Calomys* (Rodentia: Sigmodontinae) from Eastern Brazil. *Zootaxa*, 2336, 19-25.
- Braun, J.K., Coyner, B.S., Mares, M.A. y Van Den Bussche, R.A. (2008). Phylogenetic relationships of South American grass mice of the *Akodon varius* group (Rodentia, Cricetidae, Sigmodontinae) in South America. *Journal of Mammalogy*, 89, 768-777.
- Burmeister, G. (1879). *Description physique de la République Argentine d'après des observations personnelles et étrangères. Tome troisième: Animaux vertébrés. Première partie: mammifères vivants et éteints*. Buenos Aires: Paul-Emile Coni Ed.
- Cabrera, A. (1930). Breve sinopsis de los murciélagos argentinos. *Revista del Centro de Estudiantes de Agronomía y Veterinaria (Universidad de Buenos Aires)*, 23, 418-442.
- Cabrera, A. (1958). Catálogo de los mamíferos de América del Sur. *Revista del Museo Argentino de Ciencias Naturales "Bernardino Rivadavia"*, 4, 1-308.
- Cabrera, A. (1961). Catálogo de los mamíferos de América del Sur. Parte II. *Revista del Museo Argentino de Ciencias Naturales "Bernardino Rivadavia"*, 4, 309-732.
- Cabrera, A. y Yepes, J. (1960). *Mamíferos Sudamericanos. Tomos I y II*. 2da. Edición. Buenos Aires: EDIAR S.A. editores.
- Canevari, M. (1985). *Los Zorrinos*. Colección Fauna Argentina Fascículo 63. Centro Editor de América Latina.
- Canevari, M. y Vaccaro, O. (2007). *Guía de mamíferos del sur de América del Sur*. Buenos Aires: Editorial L.O.L.A.
- Carleton, M.D. (1973). A survey of gross stomach morphology in New World Cricetinae (Rodentia, Muroidea), with comments on functional interpretations. *Miscellaneous Publications of*

- the Museum of Zoology of the University of Michigan, 146, 1-43.
- Carleton, M.D. y Olson, S. (1999). Amerigo Vespucci and the rat of Fernando de Noronha: a new genus and species of Rodentia (Muridae: Sigmodontinae) from a volcanic island off Brazil's continental shelf. *American Museum Novitates*, 3256, 1-59.
- Chebez, J.C. (1994). Los que se van. Especies argentinas en peligro. Buenos Aires, Argentina: Editorial Albatros.
- Chebez, J.C. (1996). *Fauna misionera. Catálogo sistemático y zoogeográfico de los vertebrados de la provincia de Misiones (Argentina)*. Buenos Aires: Editorial LOLA.
- Chebez, J.C. (2009). *Otros que se van. Fauna argentina amenazada*. Buenos Aires: Editorial Albatros.
- Chimento, N. y Agnolin, F.L. (2015). *Mamíferos del Norte de Corrientes y Sur de Misiones*. En: V. Bauni, M. Homberg y V. Capmourteres (Eds.), *El Patrimonio Natural y Cultural en el Área de Influencia del embalse de Yacyretá, Argentina*, (pp. 75-96). Buenos Aires: Editorial Vázquez Mazzini.
- Contreras, J.R. (1968). *Akodon molinae* una nueva especie de ratón de campo del sur de la provincia de Buenos Aires. *Zoología Platense, Investigaciones zoológicas y paleontológicas*, 1(2), 9-12.
- Contreras, J.R. (1972). Nuevos datos acerca de la distribución de algunos roedores en las provincias de Buenos Aires, La Pampa, Entre Ríos, Santa Fe y Chaco. *Neotrópica*, 18(55), 27-30.
- Contreras, J.R. (1982). *Graomys griseoflavus* (Waterhouse, 1837) en la provincia del Chaco, República Argentina (Rodentia, Cricetidae). *Historia Natural*, 2, 252.
- Contreras, J.J. y Berry, L.M. (1983). Notas acerca de los roedores del género *Oligoryzomys* de la Provincia del Chaco, República Argentina (Rodentia-Cricetidae). *Historia Natural*, 3(15), 145-148.
- Contreras, J.R. y Justo, E. (1974). Aportes a la mastozoología pampeana. I. Nuevas localidades para roedores Cricetidae (Mammalia, Rodentia). *Neotrópica*, 20(62), 91-96.
- Contreras, J.R. y Rossi, M.I. (1980). Comportamiento territorial y fidelidad al hábitat en una población de roedores del centro de la provincia de Mendoza. *Ecología Argentina*, 5, 17-29.
- Contreras, J.R. y Teta, P. (2003). Acerca del estatus taxonómico y de la localidad típica de *Oxymycterus rufus* (Fisher, 1814) (Rodentia: Muridae: Sigmodontinae). *Nótulas Faunísticas*, 14, 1-5.
- Contreras, J.R., Teta, P. y Andrade, A. (2003). Comentarios sobre el estatus de *Calomys callosus* (Rengger) y nuevos datos sobre la distribución de micromamíferos en el noroeste de la provincia de Corrientes (Argentina). *Revista del Museo Argentino de Ciencias Naturales*, 5, 73-78.
- Corti, M., Merani, M.S. y de Villafane, G. (1987). Multivariate morphometrics of vesper mice (*Calomys*): preliminary assessment of species, population, and strain divergence. *Zeitschrift für Säugetierkunde*, 52(1), 236-242.
- Coyner, B.S., Braun, J.K., Mares, M.A. y Van Den Bussche, R.A. (2013). Taxonomic validity of species groups in the genus *Akodon* (Rodentia, Cricetidae). *Zoologica Scripta*, 42(4), 335-350.
- D'Elía, G. (2003). Phylogenetics of Sigmodontinae (Rodentia, Muroidea, Cricetidae), with special reference to the akodont group, and with additional comments on historical biogeography. *Cladistics*, 19, 307-323.
- D'Elía, G., González, E.M. y Pardiñas, U.F.J. (2003). Phylogenetic analysis of sigmodontine rodents (Muroidea), with special reference to the akodont genus *Deltamys*. *Mammalian Biology*, 68, 351-364.
- D'Elía, G., Luna, L., González, E. y Patterson, B. (2006). On the Sigmodontinae radiation (Rodentia, Cricetidae): An appraisal of the phylogenetic position of *Rhagomys*. *Molecular Phylogenetics and Evolution*, 38, 558-564.
- D'Elía, G., Pardiñas, U.F.J., Jayat, J.P. y Salazar-Bravo, J. (2008). Systematics of *Necromys* (Rodentia, Cricetidae, Sigmodontinae): species limits and groups, with comments on historical biogeography. *Journal of Mammalogy*, 89, 778-790.
- De Santis, L.J.M., Justo, E.R., Montalvo, C.I. y Kin, M. (1988). Mamíferos integrantes de la dieta de *Tyto alba tuidara* (Gray) en la provincia de La Pampa, Argentina. *Universidad Nacional de La Pampa, Serie Suplementos*, 4, 165-175.
- Díaz, M.M. (1999). *Mamíferos de la provincia de Jujuy: sistemática, distribución y ecología*. Tesis doctoral, Facultad de Ciencias Naturales, Universidad Nacional de Tucumán, Tucumán, Argentina.
- Díaz, M.M. (2000). Key to mammals of Jujuy Province, Argentina. *Occasional Papers, Oklahoma Museum of Natural History*, 7, 1-29.
- Díaz, M.M. y Lucherini, M. (2006). Familias Mephitidae, Mustelidae, Procyonidae. En: R.M. Barquez, M.M. Díaz y R.A. Ojeda (Eds.), *Mamíferos de Argentina: sistemática y distribución*.

- Tucumán, Argentina: Sociedad Argentina para el Estudio de los Mamíferos.
- Díaz, M.M., Braun, J.K., Mares, M.A. y Bárquez, R.M. (1997). Key of Mammals of Salta Province, Argentina. *Occasional Papers of the Oklahoma Museum of Natural History*, 2, 1-10.
- Díaz, M.M., Valenzuela, A., Sturzenbaum, S. y Barquez, R.M. (2017). New records of bats (Chiroptera) from Santa Cruz province (Argentina) and the southernmost record of *Lasiurus varius* (Poeppig, 1835) for Argentina. *Check List*, 13, 397.
- Ellerman, J.R. (1941). *The families and genera of living rodents. Vol II. Family Muridae*. London: British Museum (Natural History).
- Fernández, F.J., Idoeta F., García-Esponda, C., Carrera, J.D., Moreira, G.J., Ballejo, F. y De Santis, L.J.M. (2012). Small mammals (Didelphimorphia, Rodentia and Chiroptera) from Pampean Region, Argentina. *Check List*, 8, 130-134.
- Fontoura-Rodrigues, M.L.D. (2013). História evolutiva de *Conepatus* (Carnivora: Mephitidae): padrões biogeográficos de diversificação, investigação filogenética e revisão taxonômica do gênero. Tese de Doutorado, Pontifícia Universidade Católica do Rio Grande do Sul, Porto Alegre.
- Forasiepi, A.M. (2003). Nuevo registro de *Conepatus primaveus* (Mammalia, Carnivora, Mustelidae) del Pleistoceno de la Provincia de Buenos Aires, Argentina. *Revista del Museo Argentino de Ciencias Naturales*, 5, 21-29.
- Frank, A.G. y Martínez, E. (2014). Estudio poblacional de *Gaillardia cabreræ* Covas. Aportes para la evaluación de su estado de conservación. La Pampa, Facultad de Agronomía, Universidad Nacional de La Pampa.
- Galliari, C.A., Pardiñas, U.F.J. y Goin, F.J. (1996). Lista comentada de los mamíferos argentinos. *Mastozoología Neotropical*, 3, 39-61.
- Giacchino, A. y Bogan, S. (2012). Colecciones: ciencias naturales y antropológicas. Buenos Aires: Fundación de Historia Natural Félix de Azara.
- Gonçalves, P.R. y De Oliveira, J.A. (2004). Morphological and genetic variation between two sympatric forms of *Oxymycterus* (Rodentia: Sigmodontinae): an evaluation of hypotheses of differentiation within the genus. *Journal of Mammalogy*, 85, 148-161.
- González, E.M. y Massoia, E. (1995). Revalidación del género *Deltamys* Thomas, 1917, con la descripción de una nueva subespecie de Uruguay y sur del Brasil (Mammalia: Rodentia: Cricetidae). *Comunicaciones Zoológicas del Museo de Historia Natural de Montevideo*, 12, 1-8.
- González, E.M., Lessa, E.P., Ortega, J., Martínez, J.L. y Tirira, D.G. (2014). Historia de la mastozoología en Uruguay. Historia de la mastozoología en Latinoamérica, las Guyanas y el Caribe. Quito y México DF: Editorial Murciélagos Blanco y Asociación Ecuatoriana de Mastozoología.
- Greenhall, A.M., Lord, R.D. y Massoia, E. (1983). Clave para los murciélagos de Argentina. *Centro Panamericano de Zoonosis, Publicación Especial*, 5, 1-103.
- Heinonen Fortabat, S. y Bosso, A. (1983). Nuevos aportes para el conocimiento de la mastofauna del Parque Nacional Calilegua (Provincia de Jujuy, Argentina). *Mastozoología Neotropical*, 1(1), 51-60.
- Heinonen Fortabat, S. y Chebez, J.C. (1997). *Los mamíferos de los Parques Nacionales de la Argentina*. Literature of Latin America (L.O.L.A.), Monografía Especial 14, 1-76.
- Hershkovitz, P. (1955). South American marsh rats, genus *Holochilus*, with a summary of sigmodont rodents. *Fieldiana, Zoology*, 37, 639-673.
- Hershkovitz, P. (1962). Evolution of Neotropical Cricetine rodents (Muridae) with special reference to the phyllotine group. *Fieldiana Zoology*, 46, 1-524.
- Hershkovitz, P. (1966). South American swamp and fossorial rats of the scapteromyine group (Cricetinae, Muridae), with comments on the glans penis in murid taxonomy. *Zeitschrift für Säugetierkunde*, 31, 81-149.
- Hershkovitz, P. (1990). Mice of the *Akodon boliviensis* size class (Sigmodontinae, Cricetidae), with the description of two new species from Brazil. *Fieldiana, Zoology*, 57, 1-35.
- Hershkovitz, P. (1994). The description of a new species of South American hociucudo, or long-nose mouse, genus *Oxymycterus* (Sigmodontinae, Muroidea), with a critical review of the generic content. *Fieldiana Zoology*, 79, 1-43.
- Hershkovitz, P. (1998). Report on some sigmodontinae rodents collected in southeastern Brazil with description of a new genus and six new species. *Bonner Zoologische Beiträge*, 47, 193-256.
- Hinojosa, P., Anderson, S. y Patton, J.L. (1987). Two new species of *Oxymycterus* (Rodentia) from Peru and Bolivia. *American Museum Novitates*, 2898, 1-17.

- Hoffmann, F.G., Lessa, E.P. y Smith, M.F. (2002). Systematics of *Oxymycterus* with description of a new species from Uruguay. *Journal of Mammalogy*, 83, 408-420.
- Honacki, J. H., Kinman, K.E. y Koeppl, J.W. (1982). *Mammal species of the world*. Lawrence, Kansas: Allen Press and Association of Systematics Collections.
- Hooper, E.T. y Musser, G.G. (1964). The glans penis in Neotropical cricetines (family Muridae) with comments on classification of muroid rodents. *Miscellaneous Publications of the Museum of Zoology of the University of Michigan*, 123, 1-57.
- Jayat, J.P., y Ortiz, P.E. (2010). Mamíferos del pedemonte de Yungas de la Alta Cuenca del Río Bermejo en Argentina: una línea de base de diversidad. *Mastozoología Neotropical*, 17(1), 69-86.
- Jayat, J.P., D'Elía, G., Ortiz, P.E. y Teta, P. (2016). A new species of the rodent genus *Necromys* Ameghino (Cricetidae: Sigmodontinae: Akodontini) from the Chaco Serrano grasslands of northwestern Argentina. *Journal of Mammalogy*, 97(5), 1321-1335.
- Jayat, J.P., D'Elía, G., Pardiñas, U.F.J., Miotti, M.D. y Ortiz, P.E. (2008). A new species of the genus *Oxymycterus* (Mammalia: Rodentia: Cricetidae) from the vanishing Yungas of Argentina. *Zootaxa*, 1911, 31-51.
- Jayat, J.P., Ortiz, P.E., Salazar-Bravo, J., Pardiñas, U.F.J. y D'Elía, G. (2010). The *Akodon boliviensis* species group (Rodentia: Cricetidae: Sigmodontinae) in Argentina: species limits and distribution, with the description of a new entity. *Zootaxa*, 2409, 1-61.
- Jung, D.M.H. y Christoff, A.U. (2003). Caracterização morfológica e ocorrência de *B. iheringi* no Rio Grande do Sul. *Revista de Iniciação Científica da ULBRA*, 2, 35-44.
- Kasper, C.B., Fontoura-Rodrigues, M.L., Cavalcanti, G.N., Freitas, T.R.O., Rodrigues, F.H.G., Oliveira, T.G. y Eizirik, E. (2009). Recent advances in the knowledge of Molina's hog-nosed skunk *Conepatus chinga* and striped hog-nosed skunk *C. semistriatus* in South America. *Small Carnivore Conservation*, 41, 25-28.
- Kipp, H. (1965). Beitrag zur Kenntnis der Gattung *Conepatus* Molina, 1782. *Zeitschrift für Säugetierkunde*, 30, 193-232.
- Lutz, M.A., Díaz, M.M., Merino, M.L. y Jensen, R.F. (2016). Las especies del género *Myotis* (Chiroptera: Vespertilionidae) en el bajo Delta del Paraná y la Pampa Ondulada, Argentina. *Mastozoología Neotropical*, 23(2), 455-465.
- Mares, M. y Braun, J. (2000). *Graomys*, the genus that ate South America: a reply to Steppan and Sullivan. *Journal of Mammalogy*, 81, 271-276.
- Massoia, E. (1963). *Oxymycterus iheringi* (Rodentia:Cricetidae) nueva especie para la Argentina. *Physis*, 24, 129-136.
- Massoia, E. (1971). Descripción y rasgos bioecológicos de una nueva subespecie de Cricétido: *Akodon azarae bibiana*. *Revista Investigaciones Agropecuarias*, 8, 131-140
- Massoia, E. (1973). Descripción de *Oryzomys fornesi*, nueva especie y nuevos datos sobre especies y subespecies argentinas del subgénero *Oryzomys* (*Oligoryzomys*) (Mammalia, Rodentia, Cricetidae). *Revista de Investigaciones Agropecuarias, INTA, Serie 1, Biología y Producción Animal*, 10(1), 21-37.
- Massoia, E. (1974). Datos sobre un cricétido nuevo para la Argentina: *Oryzomys (Oryzomys) capito intermedius* y sus diferencias con *Oryzomys (Oryzomys) legatus* (Mammalia-Rodentia). *Revista Investigaciones Agropecuarias, Patología Vegetal*, 11, 1-7.
- Massoia, E. (1976). Mammalia. En R. Ringuelet (ed.) *Fauna de agua dulce de la República Argentina* (pp. 1-128). Buenos Aires: Fundación Editorial Ciencia y Cultura.
- Massoia, E. (1980). El estado sistemático de cuatro especies de cricétidos sudamericanos y comentarios sobre otras especies congénicas (Mammalia, Rodentia). *Ameghiniana*, 17, 280-287.
- Massoia, E. (1981). El estado sistemático y zoogeografía de *Mus brasiliensis* Desmarest y *Holochilus sciureus* Wagner (Mammalia, Rodentia, Cricetidae). *Physis C*, 39(97), 31-34.
- Massoia, E. (1982). Diagnósis previa de *Cabreramys temchuki*, nueva especie (Rodentia, Cricetidae). *Historia Natural*, 2, 91-92.
- Massoia, E. (1983). La alimentación de algunas aves del orden Strigiformes en la Argentina. *El Hornero, Número Extraordinario*, 125-148.
- Massoia, E. (1988). Presas de *Tyto alba* en Campo Ramón, departamento Oberá, provincia de Misiones. *Boletín Científico, APRONA*, 7, 4-16.
- Massoia E. (1990). Roedores depredados por *Tyto alba tuidara* en Mar del Tuyú, partido de General Lavalle, provincia de Buenos Aires. *Boletín Científico, APRONA*, 17, 17-20.
- Massoia E. (1993). Los roedores misioneros 1. Lista sistemática comentada y geonemia provincial

- conocida. *Boletín Científico, APRONA*, 25, 42-51.
- Massoia, E. (1998). Roedores vinculados con virosis humanas en la República Argentina. Pp. 243-246. En *Temas de Zoonosis y enfermedades emergentes* (Asociación Argentina de Zoonosis, eds.). Buenos Aires.
- Massoia, E. y Fornes, A. (1965a). Nuevos datos sobre la morfología, distribución geográfica y etoecología de *Calomys callosus callosus* (Rengger) (Rodentia, Cricetidae). *Physis*, 25, 325-331.
- Massoia, E. y Fornes, A. (1965b). Nuevos datos sistemáticos, biológicos y etoecológicos de *Oryzomys (Oligoryzomys) delticola* Thomas (Rodentia-Cricetidae). *Delta del Paraná, Investigaciones Agrícolas*, 4, 35-47.
- Massoia, E. y Fornes, A. (1966). Nuevos datos sobre la distribución geográfica y ecología del género *Calomys* (Waterhouse) (Rodentia-Cricetidae). *IDIA, Instituto de Investigaciones Agropecuarias*, 227, 55- 57.
- Massoia, E. y Fornes, A. (1967). El estado sistemático, distribución geográfica y datos etoecológicos de algunos mamíferos neotropicales (Marsupialia y Rodentia) con la descripción de *Cabreramys*, género nuevo (Cricetidae). *Acta Zoológica Lilloana*, 23, 407-430.
- Massoia, E. y Latorraca, J.A. (1992). Contribución al conocimiento de la Mastofauna reciente de la provincia de Santiago del Estero-1. *Boletín Científico, APRONA*, 23, 49-57.
- Massoia, E. y Pardiñas, U.F.J. (1993). El estado sistemático de algunos muroides estudiados por Ameghino en 1889. Revalidación del género *Necromys* (Mammalia, Rodentia, Cricetidae). *Ameghiniana*, 30, 407-418.
- Massoia, E., Chebez, J.C. y Bosso, A. (2012). *Los mamíferos silvestres de la provincia de Misiones, Argentina*. Buenos Aires: Fundación de Historia Natural "Félix de Azara".
- Massoia, E., Fornes, A., Wainberg, R. y de Fronza, T.G. (1968). Nuevos aportes al conocimiento de las especies bonaerenses del género *Calomys* (Rodentia-Cricetidae). *Revista de Investigaciones Agropecuarias, INTA, Serie 1, Biología y Producción Animal*, 5(4), 63-92.
- Meyen, F.J.F. (1833). Beitrage zur Zoologie gesammelt auf einer Reise um die Erde Säugethiere. *Nova Acta Academiae Caesareae Leopoldino-Carolinae*, 16(2), 599.
- Moojen J. (1962). *Os roedores do Brasil*. Brasil, Rio de Janeiro: Instituto Nacional do Livro, Ministério de Educação e Saúde.
- Moojen, J. (1965). Nôvo gênero de Cricetidae do Brasil Central (Glires, Mammalia). *Revista Brasileira de Biologia*, 25(3), 281-285.
- Moratelli, R., Peracchi, A.L., Dias, D. y de Oliveira, J.A. (2011). Geographic variation in South American populations of *Myotis nigricans* (Chiroptera, Vespertilionidae), with the description of two new species. *Mammalian Biology-Zeitschrift für Säugetierkunde*, 76(5), 592-607.
- Morello, J., Matteucci, S.D., Rodriguez, A.F. y Silva, M.E. (2012). *Ecorregiones y complejos Ecosistémicos de Argentina*. Buenos Aires: Orientación Gráfica Editora.
- Musser, G.G., Carleton, M.D., Brothers, E.M. y Gardner, A.L. (1998). Systematic studies of oryzomyine rodents (Muridae, Sigmodontinae): Diagnoses and distributions of species formerly assigned to *Oryzomys "capito"*. *Bulletin of the American Museum of Natural History*, 236, 1-376.
- Myers, P. (1989). A preliminary revision of the varius group of *Akodon* (*A. dayi, dolores, molinae, neocenus, simulator, toba* and *varius*). En: K.H. Redford y J.F. Eisenberg (Eds.), *Advances in Neotropical Mammalogy*, (pp. 5-54.). USA, Gainesville: Sandhill Crane Press.
- Myers, P. y Carleton, M.D. (1981). The species of *Oryzomys (Oligoryzomys)* in Paraguay and the identity of Azara's "Rat sixieme ou rat a tarse noir". *Miscellaneous Publications, Museum of Zoology, University of Michigan*, 161, 1-41.
- Myers, P. y Patton, J.L. (1989). *Akodon* of Peru and Bolivia: revision of the *fumeus* group (Rodentia: Sigmodontinae). *Occasional Papers of the Museum of Zoology, University of Michigan*, 721, 1-35.
- Myers, P., Patton, J.L. y Smith, M.F. (1990). A review of the boliviensis group of *Akodon* (Muridae: Sigmodontinae), with emphasis on Peru and Bolivia. *Miscellaneous Publications, Museum of Zoology, University of Michigan*, 177, 1-104.
- Noguera-Urbano, E.A. y Escalante, T. (2015). Áreas de endemismo de los mamíferos (Mammalia) neotropicales. *Acta Biologica Colombiana*, 20, 47-65
- Novaes, R.L.M., Garbino, S.T.G., Cláudio, V.C. y Moratelli, R. (2018). Separation of monophyletic groups into distinct genera should consider phenotypic discontinuities: The case of *Lasiurini* (Chiroptera: Vespertilionidae). *Zootaxa*, 4379, 439-440.
- Olds, N. y Anderson, S. (1987). Notes on Bolivian mammals. 2. Taxonomy and distribution of rice rats of the subgenus *Oligoryzomys*. *Fieldiana: Zoology*, 39, 261-281.

- Osgood, W.H. (1943). The mammals of Chile. *Field Museum of Natural History, Zoological Series*, 30, 1-268
- Palma, R.E., Rodríguez-Serrano, E., Rivera-Milla, E., Hernandez, C.E., Salazar-Bravo, J., Carma, M.I., Belmar-Lucero, S., Gutiérrez-Tapia, P., Zeballos, H. y Yates, T.L. (2010). Phylogenetic relationships of the pygmy rice rats of the genus *Oligoryzomys* Bangs, 1900 (Rodentia: Sigmodontinae). *Zoological Journal of the Linnean Society*, 160(3), 551-566.
- Pardiñas, U.F.J. (1995). Novedosos cricétidos (Mammalia, Rodentia) en el Holoceno de la región pampeana, Argentina. *Ameghiniana*, 32(2), 197-203.
- Pardiñas, U.F.J. (2008). A new genus of oryzomyine rodent (Cricetidae: Sigmodontinae) from the Pleistocene of Argentina. *Journal of Mammalogy*, 89(5), 1270-1278.
- Pardiñas, U.F.J. (2009). El género *Akodon* (Rodentia: Cricetidae) en Patagonia: estado actual de su conocimiento. *Mastozoología Neotropical*, 16(1), 135-151.
- Pardiñas, U.F.J. y Galliari, C.A. (1999). La presencia de *Akodon iniscatus* (Mammalia: Rodentia) en la provincia de Buenos Aires (Argentina). *Neotrópica*, 45, 115-117.
- Pardiñas, U.F.J., Abba, A. y Merino, M.L. (2004). Micromamíferos (Didelphimorphia y Rodentia) del sudoeste de la provincia de Buenos Aires (Argentina): taxonomía y distribución. *Mastozoología Neotropical*, 11, 211-232.
- Pardiñas, U.F.J., D'Elía, G. y Cirignoli, S. (2003). The genus *Akodon* (Muroidea: Sigmodontinae) in Misiones, Argentina. *Mammalian Biology*, 68, 129-143
- Pardiñas, U.F.J., Teta, P. y D'Elia, G. (2006). Reithrodontini Vorontzov, 1959. En: R.M. Barquez, M.M. Díaz y R.A. Ojeda (Eds.), *Mamíferos de Argentina: sistemática y distribución*, (pp. 189-191). Argentina, Mendoza: Sociedad Argentina para el Estudio de los Mamíferos.
- Pardiñas, U.F.J., D'Elía, G., Cirignoli, S. y Suárez, P. (2005). A new species of *Akodon* (Rodentia, Cricetidae) from the northern campos grasslands of Argentina. *Journal of Mammalogy*, 86(3), 462-474.
- Pardiñas, U.F.J., Geise, L., Ventura, K. y Lessa, G. (2016). A new genus for *Habrothrix angustidens* and *Akodon serrensis* (Rodentia, Cricetidae): again paleontology meets neontology in the legacy of Lund. *Mastozoología Neotropical*, 23(1), 93-115.
- Pardiñas, U.F.J., Teta, P., Alvarado-Serrano, D., Geise, L., Jayat, J.P., Ortiz, P.E., Gonçalves, P.R. y D'Elía, G. (2015). Genus *Akodon* Meyen, 1833. En: J. L. Patton, U.F.J. Pardiñas y G. D'Elía (Eds.), *Mammals of South America, Volume 2 – Rodents*, (pp. 144-204). Chicago: The University of Chicago Press.
- Parera, A. (2002). *Los mamíferos de la Argentina y la región austral de Sudamérica*. Buenos Aire: El Ateneo.
- Patton, J.L., Pardiñas, U.F.J. y D'Elia, G. (2015). *Mammals of South America, Volume 2 - Rodents*. Chicago: University of Chicago Press.
- Pereira, J., Teta, P., Fracassi, N., Johnson, A. y Moreyra, P. (2005). Sigmodontinos (Rodentia, Cricetidae) de la Reserva de Vida Silvestre Urugua-í (provincia de Misiones, Argentina), con la confirmación de la presencia de "*Akodon*" *serrensis* en la Argentina. *Mastozoología Neotropical*, 12(1), 83-89.
- Reig, O.A. (1964). Roedores y marsupiales del partido de General Pueyrredón y regiones adyacentes (provincia de Buenos Aires, Argentina). *Publicaciones del Museo Municipal de Ciencias Naturales de Mar del Plata*, 1, 203-224.
- Reig, O.A. (1972). *The evolutionary history of the South American cricetids rodents*. Tesis doctoral inédita, College University: Londres.
- Reig, O.A. (1977). A proposed unified nomenclature for the enamelled components of the molar teeth of the Cricetidae (Rodentia). *Journal of Zoology*, 181, 227-241.
- Reig, O.A. (1980). A new fossil genus of South American cricetid rodents allied to *Wiedomys*, with an assessment of the Sigmodontinae. *Journal of Zoology*, 192, 257-281.
- Reig, O.A. (1987). An assessment of the systematics and evolution of the Akodontini, with the description of new fossil species of *Akodon* (Cricetidae, Sigmodontinae). *Fieldiana, Zoology*, 39, 347-399.
- Rengger, J.R. (1830). *Naturgeschichte der Säugethiere von Paraguay*. Basel: Schweghauserschen, 14, 1-394.
- Salazar-Bravo, J., Dragoo, J.W., Tinnin, D.S. y Yates, T.L. (2001). Phylogeny and evolution of the Neotropical rodent genus *Calomys*: inferences from mitochondrial DNA sequence data. *Molecular Phylogenetics and Evolution*, 20(2), 173-184.
- Sanborn, C.C. (1931). A new *Oxymycterus* from Misiones, Argentina. *Proceedings of the Biological Society of Washington*, 44, 1-2.

- Schiaffini, M.I., Gabrielli, M., Prevosti, F.J., Cardoso, Y.P., Castillo, D., Bo, R., Casanave, E. y Lizarralde, M. (2013). Taxonomic status of southern South American *Conepatus* Gray 1837 (Carnivora: Mephitidae). *Zoological Journal of the Linnean Society*, 167, 327-344.
- Sierra de Soriano, B. (1969). Algunos caracteres externos de cricetinos y su relacion con el grado de adaptacion a la vida acuática (Rodentia). *Physis*, 28, 471-486.
- Solari, S. y Martínez-Arias, V. (2014). Cambios recientes en la sistemática y taxonomía de murciélagos Neotropicales (Mammalia: Chiroptera). *Therya*, 5(1), 167-196.
- Smith, M.F. y Patton, J.L. (2007). Molecular phylogenetics and diversification of South American grass mice, genus *Akodon*. *University of California Publications in Zoology*, 134, 827-858.
- Steppan, S.J. (1995). Revision of the tribe Phyllotini (Rodentia: Sigmodontinae), with a phylogenetic hypothesis for the Sigmodontinae. *Fieldiana Zoology*, 80, 1-112.
- Teta, P., Cañón, C., Patterson, B.D. y Pardiñas, U.F.J. (2016). Phylogeny of the tribe Abrotrichini (Cricetidae, Sigmodontinae): integrating morphological and molecular evidence into a new classification. *Cladistics*, 33, 153-182.
- Teta, P., Pardiñas, U.F.J., Andrade, A.A. y Cirignoli, S. (2014). Distribución de los géneros *Euryoryzomys* y *Sooretamys* (Rodentia, Cricetidae) en Argentina. *Mastozoología Neotropical*, 14(2), 279-284.
- Teta, P., Jayat, J.P., Ortiz, P.E. y D'Elia, G. (2013). The taxonomic status of *Oligoryzomys brendae* Massoia, 1998 (Rodentia, Cricetidae), with comments on the availability of this name. *Zootaxa*, 3641(4), 433-447.
- Teta, P., Pereira, J.A., Fracassi, N.G., Bisceglia, S.B.C. y Heinonen Fortabat, S. (2009). Micromamíferos (Didelphimorphia y Rodentia) del Parque Nacional Lihué Calel, La Pampa, Argentina. *Mastozoología Neotropical*, 16(1), 183-198.
- Teta, P., Abba, A.M., Cassini, G.H., Flores, D.A., Galliari, C.A., Lucero, S.O. y Ramírez, M. (2018). Lista revisada de los mamíferos de Argentina. *Mastozoología Neotropical*, 25, 163-198.
- Thomas, O. (1884). On a collection of Muridae from Central Peru. *Proceedings of the Zoological Society of London*, 1884, 447-458.
- Thomas, O. (1897). Notes on some S.-American Muridae. *Annals and Magazine of Natural History*, 19, 494-501.
- Thomas, O. (1898). On some mammals obtained by the late Mr. Henry Durnford in Chubut, E. Patagonia. *Proceedings of the Zoological Society of London*, 1898, 210-212.
- Thomas, O. (1900). Descriptions of new Neotropical mammals. *Annals and Magazine of Natural History*, 5, 269-274.
- Thomas, O. (1902). On mammals from Cochabamba, Bolivia, and the region north of that place. *Annals and Magazine of Natural History*, 9, 125-143.
- Thomas, O. (1909). Notes on some South-American mammals, with descriptions of new species. *Annals and Magazine of Natural History*, 4(21), 230-242.
- Thomas, O. (1913). New forms of *Akodon* and *Phyllotis*, and a new genus for "*Akodon*" *teguina*. *Annals and Magazine of Natural History*, 11, 404-409.
- Thomas, O. (1914). On various South-American mammals. *Journal of Natural History*, 13(75), 345-363.
- Thomas, O. (1916). The grouping of the South-American Muridae commonly referred to *Akodon*. *Annals and Magazine of Natural History*, 8(18), 336-340.
- Thomas, O. (1917). Preliminary diagnoses of new mammals obtained by the Yale-National Geographic Society Peruvian Expedition. *Smithsonian Miscellaneous Collections*, 68(4), 1-3.
- Thomas, O. (1918). On small Mammals from Salta and Jujuy collected by Mr. E. Budin. *Annals and Magazine of Natural History*, (9)1, 186-193.
- Thomas, O. (1919). Two new Argentine species of *Akodon*. *Annals and Magazine of Natural History*, 9, 3, 213-215
- Thomas, O. (1921). New *Sigmodon*, *Oryzomys*, and *Echimys* from Ecuador. *Annals and Magazine of Natural History*, 9, 7, 448-450.
- Thomas, O. (1925). The Spedan Lewis South American Exploration 1. On mammals from southern Bolivia. *Annals and Magazine of Natural History*, 15, 575-582.
- Udrizar Sauthier, D.E.U., Teta, P., Formoso, A.E., Bernardis, A., Wallace, P. y Pardiñas, U.F.J. (2015). Bats at the end of the world: new distributional data and fossil records from Patagonia, Argentina. *Mammalia*, 77(3), 307-315.
- Urquiza, J.H., Díaz, M.M., y Barquez, R.M. (2017). Una nueva especie de *Myotis* (Chiroptera: Vespertilionidae) para la Argentina. *Mastozoología Neotropical*, 24, 257-261.
- Vitulo, A.D., Merani, M.S., Reig, O.A., Kajon, A.K., Scaglia, O., Espinosa, M.B. y Perex-Zapata, A.

- (1986). Cytogenetics of South American akodont rodents (Cricetidae): new karyotypes and chromosomal banding patterns of Argentinian and Uruguayan forms. *Journal of Mammalogy*, 67, 69-80.
- Vilela, J.F., Gonçalves, P.R. y Oliveira, J.A. (2015). Genus *Brucepattersonius* Hershkovitz, 1998. En: J.L. Patton, U.F.J. Pardiñas y G. D'Elia (Eds.), *Mammals of South America, Volume 2, Rodents*. Chicago: The University of Chicago Press.
- Vorontzov, N.N. (1959). [The system of hamsters (Cricetinae) in the sphere of the world fauna and their phylogenetic relations]. *Byulleten Moskovskovo Obshchestva Ispytatelei Prirody, Otdel Biologicheskii*, 64, 134-137.
- Voss, R.S. (1988). Systematics and ecology of ichthyomyine rodents (Muroidea): patterns of morphological evolution in a small adaptive radiation. *Bulletin of the American Museum of Natural History*, 188(2), 259-493.
- Voss, R.S. (1991). An introduction to the Neotropical muroid rodent genus *Zygodontomys*. *Bulletin of the American Museum of Natural History*, 210, 1-113.
- Voss, R.S. (2003). A new species of *Thomasomys* (Rodentia: Muridae) from eastern Ecuador, with remarks on mammalian diversity and biogeography in the Cordillera Oriental. *American Museum Novitates*, 3421, 1-47.
- Voss, R.S. y Carleton, M.D. (1993). A new genus for *Hesperomys molitor* Winge and *Holochilus magnus* Hershkovitz (Mammalia, Muridae) with an analysis of its phylogenetic relationships. *American Museum Novitates* 3085, 1-39.
- Waterhouse, G.R. (1837). Characters of new species of the genus *Mus*, from the collection of Mr. Darwin. *Proceedings of the Zoological Society of London*, 5, 15-27.
- Weksler, M. y Bonvicino, C.R. (2005). Taxonomy of pigmy rice rats genus *Oligoryzomys* Bangs, 1900 (Rodentia, Sigmodontinae) of the Brazilian Cerrado, with the description of two new species. *Arquivos do Museu Nacional*, 63(1), 113-130.
- Weksler, M., Percequillo, A.R. y Voss, R.S. (2006). Ten new genera of oryzomyine rodents (Cricetidae: Sigmodontinae). *American Museum Novitates*, 3537, 1-29.
- Winge, H. (1887). Jordfundne og nulevende Gnavere (Rodentia) fra Lagoa Santa, Minas Geraes, Brasilien. *E Museo Lundii*, 1(3), 1-200.
- Wozencraft, W.C. (1993). Order Carnivora. En: D.E. Wilson y D.M. Reeder (Eds.), *Mammal species of the world*, 2nd ed. (pp. 279-348). Washington, DC: Smithsonian Institution Press.
-

Recibido: 06/07/2019 - Aceptado: 02/10/2019 - Publicado: 11/11/2019